

รายงานการวิจัย
(Final Report)



เรื่อง

การศึกษาการรุกร่องน้ำเค็มในคลองอู่ตะเภาด้วยแบบจำลองทางคณิตศาสตร์
(Mathematical Model of Salinity Intrusion in U-Taphao River)

โดย

นายสมบูรณ์ พรพิเนตพงศ์
ภาควิชาชีวกรรมปิโยชา
คณะชีวกรรมศาสตร์
มหาวิทยาลัยสงขลานครินทร์
มิถุนายน 2541

| | |
|-----------|--------|
| Order Key | 22892 |
| BIB Key | 164999 |

ก.๒๗

| | |
|--------------|--------------|
| เลขที่ | TD429.51A ๖๑ |
| เลขทะเบียน | ก.๒๔ ๖.๑ |
| 25 ม.ค. 2541 | |

บทคัดย่อ

งานวิจัยนี้เป็นการนำเสนอข้อมูลปฐมภูมิ ทุคิภูมิ และการพยากรณ์ทางอุทกศาสตร์และการรักษาของน้ำเค็มในคลองอุ่ตุตะเกาด้วยแบบจำลองทางคณิตศาสตร์ การสำรวจภาคสนามในฤดูแล้งระหว่างเดือนเมษายน-สิงหาคม 2540 มีจุดประสงค์ที่สำคัญสองประการคือ เพื่อให้ทราบถึงสภาพทางอุทกศาสตร์และความคืบหน้าของคลองอุ่ตุตะเกา และเพื่อใช้ในการปรับและปรุงแก้ในคลองอุ่ตุตะเกา สำหรับการรักษาของน้ำเค็มรายเดือนในฤดูแล้ง ในคลองอุ่ตุตะเกา ระดับน้ำในทะเลสาบสงขลาและในคลองอุ่ตุตะเกา การรักษาของน้ำเค็มรายเดือนในฤดูแล้ง ในทะเลสาบสงขลาและคลองอุ่ตุตะเกา การเปลี่ยนแปลงความเค็มและความเร็วกระแสน้ำกันเวลา และการสังเคราะห์ความสัมพันธ์ระหว่างระดับน้ำและอัตราการไหลที่ X90 ในฤดูแล้ง เป็นต้น การสำรวจชี้ว่าในฤดูแล้งความเค็มในทะเลสาบมีค่าอยู่ระหว่าง 15-30 ppt ที่อัตราการไหลเฉลี่ยประมาณ 2-3 ลบ.ม ต่อวินาที ความเค็มสูงสุดคาดว่าได้ที่ปากคลองเท่ากับ 18 ppt ในเดือนสิงหาคม 2540 และน้ำเค็มรุกร้ำในคลองอุ่ตุตะเกาเป็นระยะทาง 12 กม (บ้านnarangnak) โดยมีความเค็มที่ผิวและท้องคลองเท่ากับ 0.8 และ 15.3 ppt ตามลำดับ ซึ่งแสดงการผสมผสานเป็นแบบ partially mixed จากนั้นจะเปลี่ยนเป็นน้ำจืดอย่างฉบับพลัน นอกจากนี้การสำรวจยังพบว่า การตื้นเขินอย่างฉบับพลันที่บ้านหาร (กม +15) อาจเป็นสาเหตุสำคัญที่ทำให้หยุดการรักษาของน้ำเค็ม

การศึกษาการรักษาของน้ำเค็มด้วยแบบจำลองคณิตศาสตร์แสดงให้เห็นว่า ความคืบหน้าในคลองอุ่ตุตะเกามีความซับซ้อนและไวตัวต่อการเปลี่ยนแปลงความเค็มในทะเลสาบสงขลาและอัตราการไหลของน้ำท่า จากการศึกษา Sensitivity พบว่า Horizontal diffusion มีค่าเท่ากับ $0.006 \text{ m}^2/\text{วินาที}$ ซึ่งค่อนข้างต่ำ อันแสดงให้เห็นถึงอิทธิพลของการพัดพาเป็นบุญการสำคัญในการรักษาของน้ำเค็ม และการแยกชั้นของความเค็มสามารถแสดงได้จากแทน Vertical diffusion ซึ่งพบว่ามีค่าน้อยมาก ($0.0003 \text{ m}^2/\text{วินาที}$) อย่างไรก็ตามแบบจำลองฯลังไม่สามารถคงอิษัยความแตกต่างของความเค็มอย่างฉบับพลันระหว่างผิวและท้องคลองได้ การผสมผสานเกิดจากความสมดุลย์ระหว่างการถ่ายเทโมเมนตัมในแนวตั้ง ประกอบกับการเปลี่ยนแปลงความลึกอย่างฉบับพลันบริเวณบ้านnarangnak (กม +11) ผลการคำนวณชี้ว่า ในฤดูแล้งถ้าอัตราการไหลในฤดูแล้งมีค่าประมาณ 1 ลบ.ม ต่อวินาที และให้ลดต่อเนื่องเป็นเวลา 24 วัน ความเค็ม 2 ppt อาจรุกถึงอำเภอหาดใหญ่ได้ และที่อัตราการไหล 10 ลบ.ม ต่อวินาที จะทำให้คลองอุ่ตุตะเกาเป็นน้ำจืดตลอดสาย นอกจากนี้ยังพบว่าการรุกถูกจำกัดน้ำท่าให้ความเค็มในคลองอุ่ตุตะเกาเพิ่มขึ้นเล็กน้อย ขณะที่ถ้ามีการตื้นเขินจะลดการรักษาของน้ำเค็มได้อย่างมาก

สารบัญ

| ลำดับที่ | หัวข้อ | หน้า |
|----------|---|------|
| | บทคัดย่อ | 4 |
| 1 | ที่มาและความสำคัญของงานวิจัย | 5 |
| 2 | วัตถุประสงค์ | 5 |
| 3 | วิธีการศึกษา | 5 |
| 4 | บทหวานเอกสาร | 6 |
| 5 | ข้อมูลทฤษฎีภูมิสpatial ทางศาสตร์และความคื้น | 8 |
| | 5.1. การสำรวจความลึก | 9 |
| | 5.2. ระดับน้ำ | 9 |
| | 5.3. ความสัมพันธ์ระหว่างระดับน้ำและอัตราการไหลที่ X90 ในฤดูแล้ง | 10 |
| | 5.4. ความเร็วกระแสน้ำ | 10 |
| | 5.5. ความเค็ม | 11 |
| 6 | หาดยกและสมมติฐานการเคลื่อนที่ของความเค็ม | 12 |
| 7 | แบบจำลองคณิตศาสตร์ | 15 |
| | 7.1. สมการอุทางศาสตร์แบบ 3 มิติ | 15 |
| | 7.2. สมการการเคลื่อนที่ของความเค็มแบบ 3 มิติ | 17 |
| | 7.3. การหาคำตอนเชิงตัวเลขของแบบจำลองคณิตศาสตร์ | 17 |
| 8 | การประยุกต์แบบจำลองฯ กับระบบทะเลstanan ทางทะเลและคลองอู่ตะเภา | 18 |
| | 8.1. ขอเสนอแบบจำลองฯ | 18 |
| | 8.2. การทดสอบแบบจำลองฯ | 19 |
| 9 | การพยากรณ์การรุกรุกของน้ำเค็มในคลองอู่ตะเภา | 21 |
| | 9.1. อิทธิพลของการเปลี่ยนแปลงน้ำท่า | 21 |
| | 9.2. อิทธิพลของการเปลี่ยนแปลงความลึก | 21 |
| | 9.3. กลไกการรุกรุกของน้ำเค็มในคลองอู่ตะเภา | 22 |
| 10 | สรุปผลการศึกษา | 22 |
| 11 | ขอเสนอแนะสำหรับการวิจัยต่อเนื่อง | 24 |
| | เอกสารอ้างอิง | 25 |
| | ภาคผนวก ก-๗ | 27 |

จันทร์ พาก

การศึกษาการรุกของน้ำเค็มในคลองอู่ตะเภาด้วยแบบจำลองทางคณิตศาสตร์ (Mathematical Model of Salinity Intrusion in U-Taphao River)

1. ที่มาและความสำคัญของงานวิจัย

ล้ำน้ำคลองอู่ตะเภาเป็นล้ำน้ำสายหลัก ไหลผ่านชุมชนต่าง ๆ ของอำเภอสะเดา จังหวัดกาฬไหญ์ และไหลลงสู่ทะเลสาบสงขลาที่บ้านแหลมโพธิ์ ล้ำน้ำ มีความยาวประมาณ 51 กม. ในปี 2531 เกิดการรุกของน้ำเค็มถึงตัวเมืองหาดใหญ่ จนก่อให้เกิดปัญหาน้ำเค็มน้ำอ่อนย่างรุนแรง (เสรี, 2533) แม้ว่า ปัญหาน้ำเค็มในคลองอู่ตะเภาจะเป็นที่สนใจของประชาชนและผู้เกี่ยวข้องโดยทั่วไป แต่ การศึกษาในรายละเอียดที่แสดงถึงปัจจัยที่อาจส่งเสริมหรือบรรเทาการรุกตัวของน้ำเค็มในแม่น้ำนี้ไม่ได้มีการศึกษาอย่างเป็นระบบและจริงจัง ปัจจัยสำคัญที่มีผลต่อการรุกตัวของน้ำเค็มในคลองอู่ตะเภาอย่างหนึ่ง คือสภาพน้ำในคลองอู่ตะเภาที่มีความเค็มในทะเลสาบสงขลาซึ่งเป็นแหล่งน้ำที่สำคัญในอ่าวไทยแล้ว การบุคลอกและการเปลี่ยนแปลงลักษณะจากการกระทำของมนุษย์ ที่เป็นสาเหตุสำคัญของการรุกตัวของน้ำเค็ม เช่น กิจกรรมทางธุรกิจทาง Estuary ที่จะบังประโภชน์ต่อการป้องกันการรุกตัวของน้ำเค็มในคลองอู่ตะเภา เพื่อรับรองการพัฒนาชุมชนเมืองหาดใหญ่ต่อไป

2. วัตถุประสงค์ของการวิจัย

- เพื่อหาคุณสมบัติทางอุทศาสตร์และความเค็มของคลองอู่ตะเภา
- เพื่อหาความสัมพันธ์ระหว่างการรุกตัวของน้ำเค็มกับอัตราการไหลของน้ำจืดที่สภาพทางอุทกวิทยาต่าง ๆ กัน
- เพื่อหาความสัมพันธ์ระหว่างการรุกตัวของน้ำเค็มกับการเปลี่ยนแปลงความลึกของล้ำน้ำ

3. วิธีการศึกษา

การศึกษาแบ่งเป็น 3 ขั้นตอน ดังนี้

- การวัดข้อมูลในสถานะ มีจุดอยู่หลาย 2 ประการคือ เพื่อความเข้าใจธรรมชาติของคลองอู่ตะเภาต่อการรุกของน้ำเค็ม และเพื่อใช้เป็นข้อมูลพื้นฐานและปรับแบบจำลองคณิตศาสตร์ ข้อมูลที่ต้องการมีดังนี้

- ระดับน้ำขึ้นน้ำลง (tide) ที่บ้านแหลมโพธิ์และปากแม่น้ำ แบบต่อเนื่องเป็นเวลา 3 เดือน เพื่อ

ใช้ในการปรับแบบจำลองฯ

- อัตราการไหลที่สถานีบ้านบางปลา (X90) เพื่อใช้เป็นข้อมูลนำร่องในถอดแล้วแก้แบบจำลองฯ
- ความสัมพันธ์ระหว่างความเค็มและความเร็วกระแสน้ำรายชั่วโมงต่อเนื่องกัน 6-24 ชั่วโมง ในคลองอู่ตะเภาจำนวน 2 สถานีในถอดแล้ว

3.2. การพัฒนาและประยุกต์แบบจำลองคณิตศาสตร์ทางอุทกศาสตร์และการคาดคะเนของน้ำเค็ม (Hydrodynamic and Salt Transport Model) ซึ่งเริ่นพัฒนาโดย Swanson (1986) มีขั้นตอนดังนี้

- ประยุกต์แบบจำลองฯแบบ 2 มิติ กับทะเลสาบสงขลาและคลองอู่ตะเภา
- ศึกษาการไหลเวียนของน้ำ (Circulation) ในทะเลสาบสงขลาและคลองอู่ตะเภา
- ศึกษารุขของน้ำเค็มในคลองอู่ตะเภาแบบ 2 มิติ
- ประยุกต์แบบจำลองฯแบบ 3 มิติ กับทะเลสาบสงขลาและคลองอู่ตะเภา
- ศึกษาผลกระทบของการรักษา水量ของน้ำเค็มในคลองอู่ตะเภาแบบ 3 มิติ
- พยากรณ์สภาพทางชลศาสตร์และการรักษา水量ของน้ำเค็มในคลองอู่ตะเภาตามเงื่อนไขทางอุทกศาสตร์และอุทกวิทยาต่างๆ โดยแสดงผลในรูปของแผนภูมิความสัมพันธ์ระหว่างอัตราการไหล-ความเค็ม

3.3. สรุปผลการวิจัยและข้อเสนอแนะ

4. ทบทวนเอกสาร

4.1 คุณลักษณะของลุ่มน้ำคลองอู่ตะเภา

ลุ่มน้ำคลองอู่ตะเภา (U-Taphao River Basin) ครอบคลุมพื้นที่ 2,305 ตารางกิโลเมตร ตั้งอยู่ในคุ้มน้ำกึ่งสาบสงขลา (Songkhla Lake Basin) (ภาคผนวก ก) มีสัณฐานของภูมิประเทสเป็นเทือกเขาสูงทางทิศตะวันตก ส่วนที่น้ำที่ตอนกลางเป็นที่ราบตะกอนแม่น้ำ (Alluvium Deposit) มีการปลูกยางพาราขึ้นแทนพืชธรรมชาติ คลองอู่ตะเภาซึ่งเป็นลำน้ำสำคัญที่สุดในลุ่มน้ำ มีดินกำเนิดจากเทือกเขาสันกาดาคีรี เขตข้าวເກอະເຈາ ແລະ ໄຫດລັງສູ່ທະເສາບສັງຫາທາງທີ່ສະເໜີອ ຮະຫວ່າງ ອ. ສະເດາ-ອ. ທາດໄຫຍ່ ລຳນ້ຳມີຄວາມຄະດັບນຳກຳ ແລະ ຄ່ອຍາ ລາດລັງຮະຫວ່າງ ອ. ທາດໄຫຍ່ (ກນ. +23) ຄື່ທະເສາບ (ກນ. +0) ຂ່າວນີ້ຂອງລຳນ້ຳນັ້ນເປັນເບົດອີກທິພລອງທະເລ (Estuary) ໂດຍຮະດັບນ້ຳຕໍ່ສຸດທີ່ສະຖິກອຸທກວິຫາ (X44) ຄໍາເກອທາດໄຫຍ່ມີຄ່າຕໍ່ກວ່າຮະດັບນ້ຳເກີນປານກລາງ (MSL) ອູ້ 0.10 ເມັດ (AIT, 2537)

สถานที่ตั้งและรายละเอียดของสถานีอุทกวิทยาในลุ่มน้ำคลองอู่ตะเภาถูกแสดงไว้ในภาคผนวก ก โดยพื้นที่รับน้ำที่สถานี X44 (อ. หาดใหญ่) มีขนาดประมาณ 1,740 ตารางกิโลเมตร ให้ปริมาณน้ำเฉลี่ยต่อปีเท่ากัน 791.94 ล้าน ลบ.ม (mcm) (ข้อมูลปี 1967-1986) การไหลของน้ำในคลองอู่ตะเภา มีความผันแปรอย่างมาก (ภาคผนวก ก) โดยอัตราการไหลเฉลี่ยในคุณภาพ (เมษายน-กันยายน) มีค่าประมาณ 7.8 ลบ.เมตรต่อวินาที และในช่วงฤดูฝน (พฤษจิกายน-ธันวาคม) มีค่าประมาณ 88.6 ลบ.เมตรต่อวินาที (วินัยและสมบูรณ์ 2538)

ภูมิอากาศในลุ่มน้ำเป็นแบบร้อนชื้น ระหว่างเดือนพฤษภาคม-ตุลาคม ได้รับอิทธิพลจากลมมรสุมตะวันตกเฉียงใต้ และเดือนพฤษจิกายน-มกราคม เป็นลมมรสุมตะวันออกเฉียงเหนือ ซึ่งทำให้เกิดฝนตกหนัก ปริมาณฝนตกเฉลี่ย 1800 ㎜.ต่อปี มีคุณลักษณะของน้ำที่สำคัญคือ ค่า PH ของน้ำที่ต่ำกว่า 7.0 ค่าคงที่ตัดต่อออกซิเจนในน้ำต่ำกว่า 5 mg/l และค่าคงที่ตัดต่อออกซิเจนในน้ำต่ำกว่า 10 mg/l ค่าคงที่ตัดต่อออกซิเจนในน้ำต่ำกว่า 5 mg/l และค่าคงที่ตัดต่อออกซิเจนในน้ำต่ำกว่า 10 mg/l

4.2. คุณสมบัติทางชลศาสตร์ของคลองอู่ตะเภา

สถานี AIT ร่วมกับกรมชลประทาน เมื่อปี 2537 ทำการสำรวจข้อมูลคลองอู่ตะเภา และทำการดับมาตรฐานเทียบกับระดับน้ำศีม平原 (MSL) ตลอดความยาวลำน้ำ ตั้งแต่อ่าเภอสะเดาถึงสะเดาสูง สามารถสังเขปว่า ความกว้างของคลองอู่ตะเภาเปลี่ยนแปลงอยู่ระหว่าง 40-80 เมตร และความลึกของลำน้ำอยู่ระหว่าง 3-8 เมตร โดยมีความยาวตามแนวลำน้ำช่วงบ้านบางสาลา-อ่าเภอหาดใหญ่เท่ากับ 12 กม และช่วงหาดใหญ่-สะเดาสูงคือ 23 กม

ความสัมพันธ์ระหว่างระดับน้ำและอัตราการไหลของน้ำท่า (Stage-Discharge) ในคลองอู่ตะเภาที่สถานี X44 และ X90 ซึ่งวิเคราะห์โดย AIT (2537) แสดงในตารางที่ 1 ดังนี้

ตารางที่ 1 ความสัมพันธ์ระหว่างระดับน้ำและอัตราการไหลของน้ำท่าในคลองอู่ตะเภา

| สถานี | ตำแหน่ง | สูตร | เงื่อนไข |
|-------|------------|------------------------------------|--------------------|
| X44 | อ. หาดใหญ่ | $Q_{x44} = 26.77(H + 0.33)^{1.32}$ | $-0.33 < H < 4.23$ |
| | | $Q_{x44} = 35.58(H - 0.31)^{1.31}$ | $H > 4.23$ |
| X90 | บ.บางสาลา | $Q_{x90} = 0.66(H - 0.09)^{3.29}$ | $0.09 < H < 1.90$ |
| | | $Q_{x90} = 1.69(H + 0.09)^{2.11}$ | $1.90 < H < 8.00$ |

$$\text{เมื่อ } Q_{x44}, Q_{x90} \text{ คืออัตราการไหล (ลบ.ม/วินาที)} \\ H \text{ คือระดับน้ำ (ม MSL)}$$

อย่างไรก็ตามพบว่าความสัมพันธ์ข้างต้นยังให้ค่าที่ไม่ลงทะเบียดเพียงพอสำหรับการให้ผลน้อยๆในฤดูเด้งซึ่งมีผลอย่างมากต่อการรุกรองน้ำเค็ม

สภาพอุทกศาสตร์ของคลองอู่ตะเภาในช่วงปากแม่น้ำ (Estuary) ได้รับอิทธิพลจากน้ำขึ้นน้ำลงในอ่าวไทยซึ่งมีค่าพิสัยประมาณ 40 ซม และ 60 ซม ในช่วงน้ำด้วยและน้ำเกิดความลำดับจากการวิเคราะห์ระดับน้ำขึ้นน้ำลงที่เกาะหมู (ภาคผนวก ข) ซึ่งพยากรณ์โดยกรมอุทกศาสตร์ท่าหารือระหว่างเดือนพฤษภาคม-สิงหาคม 2540 โดยวิธี Harmonic analysis พบว่ามี 5 องค์ประกอบหลักของน้ำขึ้นน้ำลง (Predominant tidal constituents) คือ M2 ($H=19.4$ cm) S2 ($H=6.4$ cm) N2 ($H=5.3$ cm) K1 ($H=5.6$ cm) และ O1 ($H=4.3$ cm) คลื่นน้ำขึ้นน้ำลงในอ่าวไทยเคลื่อนเข้าสู่ระบบทะเลสาบสงขลา สภาพภูมิประเทศของทะเลสาบทามให้เกิดการเปลี่ยนแปลงคุณลักษณะ (amplitude และ phase) จากรายงานการวัดระดับน้ำจำนวน 3 สถานีในเดือน มีนาคม-สิงหาคม 2538 โดยวินัยและสมบูรณ์ (2538) ที่บ้านเกาเนก (กม+2 จากปากคลองอู่ตะเภา) บ้านหาร (กม+15) และอำเภอหาดใหญ่ (กม+23) พบว่ามีค่าพิสัย (Tidal range) ประมาณ 8 ซม 15 ซม และ 11 ซม ตามลำดับ

วินัยและสมบูรณ์ (2538) วัดกระแสน้ำในรอบ 24 ชั่วโมง (Tidal cycle) ที่ทุกๆ ความถี่ 1 m ที่บ้านเกาเนก เมื่อวันที่ 21-22 เมษายน 2538 พบว่ากระแสน้ำขึ้นและน้ำลงมีความเร็วสูงสุดเท่ากับ 0.18 m ต่อวินาที และ 0.15 m ต่อวินาที (ภาคผนวก ข)

4.3. การรุกรองน้ำเค็มในคลองอู่ตะเภา

ณรงค์ (2535) รายงานว่า ในเดือนพฤษภาคม 2534 น้ำเค็มรุกเข้าในคลองอู่ตะเภาไปไกลถึง 15 กม. โดยมีการผสมผสานของความเค็มเป็นแบบ partially mixed โดยความเค็มสูงสุดที่ปากคลองอู่ตะเภา มีค่า 18 ppt และที่ กม+11 มีค่า 12 ppt วินัยและสมบูรณ์ (2538) วัดความเค็มในวันที่ 9 พฤษภาคม 2538 พบว่าความเค็มที่ปากคลองอู่ตะเภามีค่า 22 ppt และรุกเข้าไปเป็น ระยะทาง 11 กม (โดยความเค็มที่ห้องคลองเท่ากับ 10 ppt)

5. ข้อมูลทุติยภูมิของสภาพอุทกศาสตร์และความเค็มในทะเลสาบสงขลาและคลองอู่ตะเภา

การสำรวจภาคสนามของงานวิจัยนี้มีจุดประสงค์ที่สำคัญสามประการคือ

- เพื่อให้ทราบถึงสภาพปัจจุบันทางสมุทรศาสตร์และความเค็มของทะเลสาบสงขลาและคลองอู่ตะเภา
- เพื่อใช้เป็นข้อมูลพื้นฐานแก่แบบจำลองคณิตศาสตร์

- เพื่อใช้ในการเปรียบเทียบและปรับตัวแปรในแบบจำลองทางภูมิศาสตร์

การวิจัยนี้ทำการเก็บข้อมูลภูมิศาสตร์ระหว่างเดือน เมษายน-ตุลาคม 2540 ดังนี้รายละเอียดต่อไปนี้

5.1. การสำรวจความลึก

เนื่องจากความลึกมีผลกระทบโดยตรงต่อสภาพชลศาสตร์และการรุกของน้ำเค็มในคลองอุ่ตະເກາ ดังนั้นเพื่อความละเอียดและถูกต้องในการศึกษาและพยากรณ์ สภาพชลศาสตร์และการรุกของน้ำเค็มด้วยแบบจำลองฯ จึงทำการสำรวจความลึกของทะเลสาบสงขลาและคลองอุ่ตະເກาอย่างละเอียดด้วยเครื่องหัชความลึกแบบกลืนเสียงซึ่งมีความละเอียด ± 5 ซม โดยทำการสำรวจความลึกของทะเลสาบสงขลา ดังเดิมทางเข้าทะเลสาบ-เกาะยอ-แหลมโพธิ์-ปากรอ (ภาคพนวก ค) และวัดของความลึกของหน้าตันสำนักคลองอุ่ตະເກาตั้งแต่บ้านเก่าอก (กม+2) ถึง บ้านบางศาลา (กม+35) จำนวนทั้งสิ้น 17 หน้าตัน และพบว่าความลึกมากที่สุดอยู่ที่ กม+11 ภาคพนวก ค แสดงความลึกตามแนวร่องน้ำของสำนักน้ำดังนี้

5.2. ระดับน้ำ

การเปลี่ยนแปลงของระดับน้ำในทะเลสาบสงขลาและคลองอุ่ตະເກาได้รับการบันทึกไว้โดยในทะเลสาบสงขลาทำการสำรวจจำนวน 2 สถานี กือที่บ้านแหลมโพธิ์ และที่บ้านปากรอ โดยคณะวิจัยได้ติดตั้งเครื่องวัดระดับน้ำอัตโนมัติขึ้นชั่วคราวที่ช่องแคบปากรอ ระหว่างเดือนพฤษภาคม-กรกฎาคม 2540 สำหรับระดับน้ำที่บ้านแหลมโพธิ์ได้รับความอนุเคราะห์ข้อมูลจากศูนย์อุทกวิทยาที่ 8 กรมชลประทาน ซึ่งเป็น ระดับน้ำแบบต่อเนื่องจากเครื่องวัดระดับน้ำอัตโนมัติที่ทำการติดตั้งอย่างถาวร ระดับน้ำของสถานีทั้งสอง ถูกแสดงไว้ในภาคพนวก ง และความสัมพันธ์ของระดับน้ำในทะเลสาบถูกแสดงไว้ในตารางที่ 2

เพื่อศึกษาการเปลี่ยนแปลงอัตราการไหลในคลองอุ่ตະເກา คณะวิจัยได้ทำการติดตั้งเครื่องวัดระดับน้ำอัตโนมัติ ที่สถานี X90 (บ้านบางศาลา) ซึ่งห่างจากปากแม่น้ำเป็นระยะทางประมาณ 35 กม เพื่อวัดอัตราการไหลตลอดช่วงที่ทำการศึกษา ภาคพนวก ง แสดงอัตราการไหลระหว่างเดือนเมษายน-ตุลาคม 2540

ตารางที่ 2 คุณลักษณะของน้ำขึ้นน้ำลง (มิถุนายน 2540) ในระบบทะเลสาบสงขลา

| | เกาะหมู | แหลมโพธิ์ | ปากรอ |
|-----------------------|---------|-----------|-------|
| Max. tidal range (cm) | 60 | 21 | 11 |
| Phase lag** (hrs) | 0 | 3.5 | 4.5 |

** ความลากก่อตัวระหว่างน้ำขึ้นน้ำลง (มิถุนายน 2540) ในระบบทะเลสาบสงขลา

5.3. ความสัมพันธ์ระหว่างระดับน้ำและอัตราการไหลที่ X90 ในฤดูแล้ง

อัตราการไหลของน้ำท่าในฤดูแล้งมีความสำคัญอย่างมากต่อการรักษาของน้ำเดิม การวิจัยนี้ได้วิเคราะห์ความสัมพันธ์ระหว่างระดับน้ำและอัตราการไหล (Rating Curve) ที่สถานี X90 สำหรับฤดูแล้งอย่างละเอียด โดยทำการวัดความเร็วน้ำต่ำลดลงตามกวางของคลองจำนวน 8 ครั้ง ที่ทุกๆ ความลึก 0.5 m ทุกระยะ 1 m. เพื่อนำไปคำนวณหาอัตราการไหลและรูปแบบการกระจายความเร็วคลองหน้าตัด (ภาคผนวก ๑) ความสัมพันธ์ระหว่างระดับน้ำและอัตราการไหลที่วิเคราะห์ได้คือ

$$Q = 0.0949e^{2.5139H} \quad R^2 = 0.9354$$

$$Q = 0.5243e^{2.5139h} \quad R^2 = 0.9354$$

เมื่อ Q คืออัตราการไหล (ลบ.ม./วินาที)

h คือระดับน้ำ (m A.D.)

H คือระดับน้ำ (m MSL)

จากการเปรียบเทียบความสัมพันธ์ที่ได้กับที่ใช้อยู่ (AIT, 2537) พบว่าที่ระดับน้ำระหว่าง 1.0-1.7 m MSL อัตราการไหลที่รัดได้มีค่าอยู่ระหว่าง 1-6.4 ลบ.ม/วินาที ซึ่งเฉลี่ยค่ากว่าที่คำนวณจากสูตรของ AIT อยู่ประมาณ 2.2 เท่า

5.4. ความเร็วกระแสน้ำ

คณะวิจัยได้ทำการวัดความเร็วกระแสน้ำทั้งในทะเลสาบสงขลาและคลองอู่ตะเภา โดยในทะเลสาบสงขลา ทำการวัดความเร็วที่ความลึก 2 m จำนวน 2 สถานีคือที่ ร่องน้ำเกาะขอยทางทิศเหนือ และใต้ โดยใช้เครื่องวัดความเร็วกระแสน้ำแบบอัตโนมัติ ทำการบันทึกข้อมูลราย 20 นาทีระหว่างวันที่ 27 มิถุนายน-1 กรกฎาคม 2540 รูปภาคผนวก ๙ แสดงความเร็วกระแสน้ำของทั้ง 2 สถานี และสรุปไว้ในตารางที่ 3

ตารางที่ 3 คุณลักษณะของความเร็วกระแสน้ำในทะเลสาบสงขลา

| | เกาะขอยเหนือ | | เกาะขอยใต้ | |
|--------------------|--------------|------------------|------------|------------------|
| | V (m/s) | Direction (°) | V (m/s) | Direction (°) |
| Max. flood current | 0.42 | 260 | 0.42 | 55 |
| Max. ebb current | 0.67 | 80 | 0.43 | 240 |

สำหรับในคลองอู่ตะเภาทำการสำรวจความเร็วกระแสน้ำ 3 ครั้ง โดยครั้งแรกในวันที่ 11 พฤษภาคม 2540 วัดความเร็วรายชั่วโมงที่ทุกๆ ความลึก 1 m ต่อเนื่องกัน 5 ชั่วโมง ณ สองสถานีคือที่

บ้านคูเต่า (กม+6) และบ้านนารังนก (กม+11) ครั้งที่สองในวันที่ 31 พฤษภาคม 2540 ทำการวัดความเร็ว รายชั่วโมงที่ทุกๆ ความลึก 1 m ต่อเนื่องกัน 9 ชั่วโมง ที่บ้านนารังนก และครั้งที่สามในวันที่ 17-18 สิงหาคม 2540 วัดครบรอบ 24 ชั่วโมงที่บ้านนารังนก คุณลักษณะของความเร็วกระแสน้ำของทั้ง 2 สถานีถูกแสดงไว้ในภาคผนวก ๙ และสรุปไว้ในตารางที่ 4

ตารางที่ 4 ความสัมพันธ์ระหว่างความเร็วกระแสน้ำและระดับน้ำในคลองอู่ตะเภา

| | เกาะนก (กม 2) | | คูค่า (กม 6) | | นารังนก (กม 11) | |
|--------------|--------------------|-----------------|--------------------|-----------------|--------------------|-----------------|
| | V_{avg} (m/s) | ϕ (hrs) | V_{avg} (m/s) | ϕ (hrs) | V_{avg} (m/s) | ϕ (hrs) |
| Max. current | 0.18 | 0 * | 0.10 | -- | 0.21 | 2.5 |

$\phi = \text{phase lag}$ ระหว่าง V_{avg} และ ระดับน้ำ high tide

* = ข้อมูลวันที่ 21-22 มกราคม 2533

5.5. ความเค็ม

เพื่อความเข้าใจธรรมชาติของการรุกของน้ำเค็มในคลองอู่ตะเภาในสภาวะปัจจุบัน และเพื่อใช้เป็นข้อมูลเริ่มต้นสำหรับการคำนวณด้วยแบบจำลองคณิตศาสตร์ การสำรวจความเค็มระหว่างเดือนเมษายน-คุณภาพ 2540 ได้ถูกกระทำขึ้นใน 4 ลักษณะ (ภาคผนวก ๙) คือ

- การวัดความเค็มในทะเลสาบสูงภารายเดือน (Horizontal distribution) ระหว่างเดือนเมษายน-คุณภาพ 2540 เพื่อศึกษาการเปลี่ยนแปลงความเค็มในถูกเลี้ยง ที่เป็นสาเหตุของการรุกของน้ำเค็มในคลองอู่ตะเภา ผลการสำรวจชี้ว่า ความเค็มที่กึ่งกลางทะเลสาบสูงภารามีค่าเปลี่ยนอยู่ระหว่าง 15-29 ppt โดยการทดสอบของความเค็มเป็นแบบ Completely mixed ยกเว้นในบริเวณที่มีความลึกมากกว่า 2.5 m จะเป็นแบบ Partially mixed
- การรุกของน้ำเค็มในคลองอู่ตะเภา (Longitudinal dispersion) ถูกสำรวจในเดือนเมษายน-สิงหาคม 2540 ซึ่งมีอัตราการไหลเฉลี่ยประมาณ 2-3 ลบ.ม./วินาที การสำรวจชี้ว่า น้ำเค็มสามารถรุกเข้าไปถึงบ้านนารังนก (กม+11) โดยที่มีความเค็มสูงสุดอยู่ที่ห้องคลองท่ากัน 15.3 ppt และความเค็มลดลงอย่างชัดเจน จนเป็นน้ำจืดที่บ้านหาร (กม+15) ดังสรุปไว้ในตารางที่ 5
- การผันแปรของความเค็มกับเวลา (Time-series Distribution) ในคลองอู่ตะเภา อันเนื่องมาจากอิทธิพลของน้ำท่าและกระแสน้ำขึ้นน้ำลง ได้รับการตรวจวัดที่บ้านนารังนก โดยทำการวัดความเค็มรายชั่วโมงที่ทุกๆ ความลึก 1 m ในวันที่ 17-18 สิงหาคม 2540 ดังแสดงในภาคผนวก ๙ ผลการวัดชี้ว่าที่กึ่งกลางความลึก (~3 m) น้ำขึ้นน้ำลงมีอิทธิพลอย่างมากต่อการ

เปลี่ยนแปลงของความเค็ม โดยผลต่างของความเค็มในรอบ 24 ชั่วโมง (Tidal cycle) มีค่าประมาณ 6 ppt

- การผสานพื้นที่ของความเค็มในแนวตั้ง (Vertical Distribution) อิทธิพลจากผลต่างของความหนาแน่นของมวลน้ำที่เกิดจากความแตกต่างของความเค็ม ได้รับการวัดพร้อมกับการวัดการเปลี่ยนแปลงของน้ำเค็มกับเวลา ซึ่งจะเห็นการแยกชั้น (Stratification) ของความเค็ม อย่างเด่นชัด โดยเฉพาะที่บ้านนารังนก โดยมีความแตกต่างของความเค็มที่ผิวและที่ห้องน้ำถึง 14.5 ppt

ตารางที่ 5 การรุกของน้ำเค็มในคลองอู่ตะเภา

| วันที่ | บ.เคาน์ต (กม 2) | บ.สูตร (กม 6) | บ.น้ำรั่วนก (กม 11) | บ.บาง (กม 15) |
|-------------|--------------------|------------------|------------------------|------------------|
| 12 เม.ย. 40 | 3.0 | 5.0 | 1.0 | 1.5 |
| 4 พ.ค. 40 | 11.5 | 17.0 | 3.5 | 16.0 |
| 3 มิ.ย. 40 | 1.2 | 2.0 | 0.2 | 0.3 |
| 17 ส.ค. 40 | 3.5 | 16 | 2.0 | 15.9 |

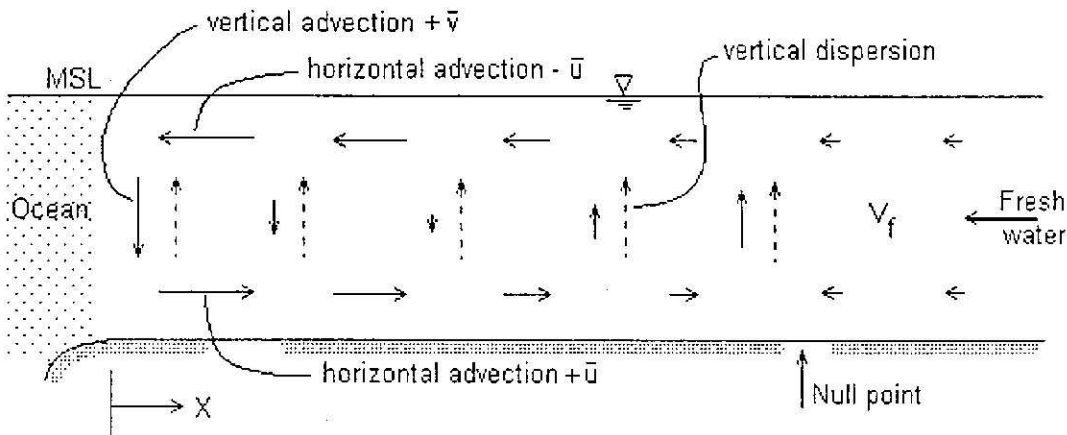
6. ทฤษฎีและสมมติฐานการเคลื่อนที่ของความเค็ม

การผสานระหว่างน้ำเค็มและน้ำจืด อันเนื่องมาจากการรุกของน้ำเค็มในลำน้ำธรรมชาติ สามารถจำแนกได้เป็น 3 กรณี คือ

- การผสานเป็นแบบ Completely mixed ในลักษณะนี้เกิดขึ้นเมื่ออิทธิพลของน้ำขึ้นน้ำลง มีค่ามากเมื่อเทียบกับน้ำท่า ซึ่งพบเห็นได้ทั่วไปในดูดเลี้ยงสำหรับแม่น้ำที่ไหลลงสู่ทะเล โดยตรง
- การผสานเป็นแบบ Partially mixed ในลักษณะนี้เกิดขึ้นเมื่ออิทธิพลของน้ำขึ้นน้ำลง อยู่กว่าน้ำท่า หรือในกรณีที่เป็นคุณสมบัติของการหลักของน้ำจืดมาก
- การผสานเป็นแบบ Wedge flow ในลักษณะนี้เกิดขึ้นเมื่ออิทธิพลของน้ำขึ้นน้ำลงมีค่าน้อยมากเมื่อเทียบกับน้ำท่า สามารถพนเห็นได้ในเขตที่เรียกว่า Fjord เมื่อปริมาณน้ำจืดจำนวนมากไหลลงสู่ทะเล

ขบวนการผสานระหว่างน้ำจืดกับน้ำเค็มในลำน้ำธรรมชาติ (Ippen and Harleman, 1961) แสดงได้ดังรูปที่ 1 โดยตั้งแต่บริเวณปากแม่น้ำถึงกีกกลางโซนของการรุกของน้ำเค็ม (Intrusion zone) จะมีความเร็วทิศทางลงในแนวตั้ง ขณะที่อีกด้านหนึ่งถังดันน้ำ จะมีความเร็วทิศทางขึ้นในแนวตั้ง ทำให้

เกิดการเคลื่อนที่สุทธิของความเค็มในแนวตั้งจากท้องน้ำสู่ผิวน้ำ ซึ่งเกิดขึ้นทั้งกรณีของ completely mixed และ partially mixed



รูปที่ 1 แสดงขบวนการผสมผสานในแนวตั้งและการรุกของน้ำเค็ม

สมการอธินายการเคลื่อนที่ของความเค็ม

ในการกรณีของการผสมผสานเป็นแบบ Completely mixed ในล้าน้ำที่แคบและยาว สามารถประมาณการรุกของความเค็มได้จากสูตรอย่างง่าย คือ

$$S/S_0 = e^{-UrX Dt}$$

| | | |
|-------|-------|----------------------------------|
| เมื่อ | Ur | คือความเร็วเฉลี่ยการไหลของน้ำท่า |
| | X | คือระยะทางจากปากแม่น้ำ |
| | Dt | คือ Dispersion coefficient |
| | S_0 | คือความเค็มที่ปากแม่น้ำ |

สำหรับกรณีของการผสมผสานเป็นแบบ Weakly partially mixed สามารถประมาณการรุกของความเค็มได้จากสูตรที่เสนอโดย Ippen and Harleman (1961) ดังนี้

| | | |
|-------|-----------|--|
| เมื่อ | Q_f | คืออัตราการไหลของน้ำท่า (ลบ.ม./วินาที) |
| | X | คือระยะทางจากปากแม่น้ำ (กม) |
| | A, C, n | คือ ค่าคงที่ของล้าน้ำนั้น |
| | S_0 | คือความเค็ม ณ จุดที่มีค่าคงที่ |

อย่างไรก็ตามความสัมพันธ์ดังกล่าวต้องบูรณาการอย่างเข้มแข็งและมีข้อจำกัดหลายประการ ขณะที่ในธรรมชาติจะมีความซับซ้อนของภูมิประเทศ และความลึกของร่องน้ำที่ไม่สม่ำเสมอ ทำให้การไฟล์ในธรรมชาติมีความซับซ้อนมาก ไม่อาจอธิบายได้ด้วยสมมติฐานอย่างง่ายข้างต้น ดังนั้นการศึกษาด้วยแบบจำลองทางคณิตศาสตร์แบบ 2 มิติ (2D mathematical model) ซึ่งมีสมมติฐานการไฟล์เป็นแบบ Vertically Averaged จึงเป็นที่นิยมใช้โดยทั่วไป ปัจจุบันคอมพิวเตอร์มีประสิทธิภาพสูง ทำให้การศึกษาด้านนี้ได้รับการพัฒนาจนให้ผลการคำนวนแม่นยำและรวดเร็ว การพัฒนาแบบจำลองทางคณิตศาสตร์แบบ 3 มิติ จึงได้รับความนิยมอย่างมาก ผู้ที่เชี่ยวชาญในด้านนี้และได้พัฒนาโปรแกรมประเภทนี้จนเป็นที่ยอมรับและใช้กัน แพร่หลายในสหรัฐอเมริกาได้แก่ Swanson (1986), Sheng, et al. (1989)

สมการที่ใช้อธิบายการเคลื่อนที่ของความเค็ม คือสมการของการพาและการแพร่ของสาร (Convective-Diffusion Equation) ดังนี้

$$\frac{\partial c}{\partial t} + u \frac{\partial c}{\partial x} + v \frac{\partial c}{\partial y} - w \frac{\partial c}{\partial z} = D_x \frac{\partial^2 c}{\partial x^2} + D_y \frac{\partial^2 c}{\partial y^2} + D_z \frac{\partial^2 c}{\partial z^2}$$

| | | |
|----------------|---|--|
| ตัวอักษร | c | คือความเข้มข้นของความเค็ม |
| u | | คือความเร็วในแนวแกน x |
| v | | คือความเร็วในแนวแกน y |
| w | | คือความเร็วในแนวแกน z |
| D _x | | คือสัมประสิทธิ์การแพร่ของสารในแนวแกน x |
| D _y | | คือสัมประสิทธิ์การแพร่ของสารในแนวแกน y |
| D _z | | คือสัมประสิทธิ์การแพร่ของสารในแนวแกน z |

ค่าสัมประสิทธิ์การแพร่ของสารในแนวราบ (horizontal diffusion coefficient) ของ Estuary บางแห่งถูกแสดงไว้ในตารางภาคผนวก ๘

การเคลื่อนที่ของความเค็มเข้าสู่ล้ำน้ำในธรรมชาติมีความซับซ้อน โดยมีขั้นตอนการที่เกี่ยวข้อง ได้แก่

- การพัดพา (Convection) กระแสน้ำจะเป็นตัวพาความเค็มให้เคลื่อนที่ไปย่างรวดเร็ว ขบวนการนี้มีค่าน้ำหนาตื้นที่สำคัญสองประการคือ จากน้ำขึ้นน้ำลง และจากน้ำท่า อิทธิพลของกระแสน้ำทั้งสอง ก่อให้เกิดการเปลี่ยนแปลงความเค็มไปตามเวลาที่แตกต่างกัน

- การแพร่ในแนวราบ (Horizontal diffusion) ความเค็มเฉือนในแนวราบ (Shear stress) ทำให้เกิดการแลกเปลี่ยนกันอย่างช้าๆ ของอนุภาคความเค็มกับอนุภาคน้ำ ก่อให้เกิดการเคลื่อนที่สูบทิข่อง

ความเค็มในแนวราบ ความสามารถในการแพร่ระเหยที่ยังเป็นขบวนการที่ซับซ้อนและต้องการการศึกษาค่อไป

- การแพร่ในแนวตั้ง (Vertical diffusion) ความปั่นป่วนในแนวตั้ง (Entrainment) ที่เกิดจาก การแยกตัวของการไหลด (Stratification) ทำให้เกิดการถ่ายเทของความเค็มระหว่างด้านบนและด้านล่าง (รูปที่ 1) ในขบวนการผสมผสานแบบ Partially mixed ที่สภาวะสมดุลการแลกเปลี่ยนโน้ม-men ตั้งระหว่าง Turbulence และ แรงโน้มถ่วงจะมีค่าคงที่ ขบวนการนี้นับเป็นสาเหตุสำคัญที่ทำให้เกิดการแพร่ของน้ำเค็ม

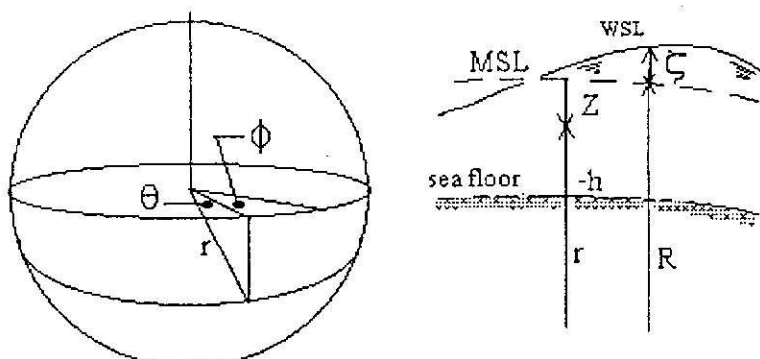
ในการศึกษานี้ไม่พิจารณาการเปลี่ยนแปลงของความเค็มนื้องจากสภาพภูมิอากาศ เนื่องจาก คลื่นอุժทะเลเป็นลำน้ำที่เคลื่อน อิทธิพลของลมมีน้อย ยกเว้นที่บริเวณของปากแม่น้ำและในทะเลสาบ ดังนั้นการศึกษาจะจำกัดอยู่ที่อิทธิพลของน้ำท่าและน้ำขึ้นน้ำลงท่ามั้น การเปลี่ยนแปลงความหนาแน่นของน้ำ อันเนื่องจากการเปลี่ยนแปลงความเค็ม ได้ถูกนำมาพิจารณาเพื่อให้เข้าใจกลไกของการผสมผสานในแนวตั้ง อันสันนิษฐานว่าจะเป็นสาเหตุหลักของการรุกรุนของน้ำเค็ม

7. แบบจำลองคณิตศาสตร์

เพื่อสามารถอธิบายการผสมผสานของมวลสารในแนวตั้ง แบบจำลองคณิตศาสตร์แบบ 3 มิติจึงถูกนำมาใช้ในที่นี้ ดังนี้รายละเอียดของสมการต่อไปนี้

7.1. สมการอุทกศาสตร์แบบ 3 มิติ (3-D model of hydrodynamics)

แบบจำลองทางคณิตศาสตร์ที่จะนำมาใช้ในการศึกษานี้เป็นการพัฒนาต่อเนื่องจากแบบจำลอง 3 มิติทางอุทกศาสตร์ที่เริ่มพัฒนาโดย Spaulding (1984) และ Swanson (1986) ใช้เพื่อจำลองการคลื่อนที่ของมวลน้ำ ภายใต้สมมุติฐานของสมการ shallow water wave สมการที่ใช้ในการคำนวณคือ กฎของมวลของสารและโน้ม-men ในพิกัดทรงกลม (Spherical Coordinate (ϕ, θ, r)) (รูปที่ 2) แสดงได้ดังนี้



รูปที่ 2 ระบบ Spherical Coordinate ที่ใช้ในสมการและแบบจำลองคณิตศาสตร์

กฎทรงมวลดของสาร

$$\frac{1}{r \cos \theta} \frac{\partial u}{\partial \phi} + \frac{1}{r} \frac{\partial v}{\partial \theta} - \frac{v \tan \theta}{r} + \frac{1}{r^2} \frac{\partial r^2 w}{\partial r} = 0 \quad (1)$$

สมการ โนเมนตัมในแนว ϕ

$$\frac{\partial u}{\partial t} + \frac{1}{r \cos \theta} \frac{\partial u}{\partial \phi} + \frac{v}{r} \frac{\partial u}{\partial \theta} - \frac{uv \tan \theta}{r} + w \frac{\partial u}{\partial r} + \frac{uw}{r} = - \frac{1}{\rho_0 r \cos \theta} \frac{\partial p}{\partial \phi} + 3 \frac{\tau_r \phi}{\rho_0 r} + \frac{1}{\rho_0 r} \frac{\partial \tau_r \phi}{\partial r} \quad (2)$$

เมื่อ $\tau_r \phi$ = shear stress in ϕ -direction

$$\tau_r \phi = \rho_0 V_t \left(-\frac{u}{r} + \frac{\partial u}{\partial r} + \frac{1}{r \cos \theta} \frac{\partial w}{\partial \phi} \right) \quad (3)$$

สมการ โนเมนตัมในแนว θ

$$\frac{\partial v}{\partial t} + \frac{u}{r \cos \theta} \frac{\partial v}{\partial \phi} + \frac{v}{r} \frac{\partial v}{\partial \theta} + \frac{uu \tan \theta}{r} + w \frac{\partial v}{\partial r} + \frac{vw}{r} = \frac{1}{\rho_0 r} \frac{\partial p}{\partial \theta} + \frac{3 \tau_r \theta}{\rho_0 r} + \frac{1}{\rho_0 r} \frac{\partial \tau_r \theta}{\partial r} \quad (4)$$

เมื่อ $\tau_r \theta$ = shear stress in θ -direction

$$\tau_r \theta = \rho_0 V_t \left(-\frac{v}{r} + \frac{\partial v}{\partial r} + \frac{1}{r} \frac{\partial w}{\partial \theta} \right) \quad (5)$$

สมการ โนเมนตัมในแนว r สามารถประมาณโดย Hydrostatic approximation และ Boussinesq's assumption ดังนี้

$$\frac{\partial p}{\partial r} = -\rho g \quad (6)$$

$$p = \rho_0 g(z + \zeta) + \int \rho' g dr \quad (7)$$

$$\rho = \rho' + \rho_0 \quad (8)$$

ตัวแปรในสมการข้างต้นมีความหมายดังต่อไปนี้

u, v, w = interior velocities in ϕ -, θ -, and r - direction respectively

p = pressure

t = time

g = gravitational acceleration

ρ = seawater density

ρ' = difference in seawater density

ρ_0 = average seawater density

V_t = vertical eddy viscosity

7.2. สมการการเคลื่อนที่ของความเค็มแบบ 3 มิติ (3-D model of salt transport)

สมการการถ่ายเทความเค็มแบบ 3 มิติ ได้รับการพัฒนามาจากสมการ Convective-diffusion of mass ซึ่งในระบบ spherical coordinates แสดงได้ดังนี้

$$\frac{\partial s}{\partial t} + \frac{1}{r \cos \theta} \frac{\partial u s}{\partial \phi} + \frac{1}{r} \frac{\partial v s}{\partial \theta} + w \frac{\partial s}{\partial r} = \frac{1}{r^2 \cos^2 \theta} \frac{\partial^2 s}{\partial \phi^2} + \frac{1}{r^2 \cos \theta} \frac{\partial^2 s}{\partial \theta^2} + \frac{1}{r} \frac{\partial}{\partial r} (r^2 D_s \frac{\partial s}{\partial r}) \quad (9)$$

สัมประสิทธิ์การแพร่กระจายของสาร D_z แปรผันโดยตรงกับสัมประสิทธิ์ความปั่นป่วน N_t

$$D_z = N_t \sigma_t$$

โดย σ_t คือ Prandtl's Number

ASCE (1988) รายงานความสัมพันธ์ระหว่าง N_t และ Ri (Richardson number) สำหรับกรณีที่มีการแยกตัวของชั้นการไหล

$$N_t = N_{t_0} (1 + 10 R_i)^{-0.5}$$

$$D_z = D_{z_0} (1 + 3.33 R_i)^{-1.5}$$

เมื่อ $R_i = \frac{g (\partial P / \partial z)}{\rho (\partial u / \partial z)^2}$

สมการค้างๆ ข้างต้นได้รับการแปลงให้อยู่ในรูปของ curvilinear coordinates หรือ boundary-fitted coordinates ซึ่งมีข้อดีคือสามารถใช้ได้กับขอบเขตของภูมิประเทศที่ซับซ้อน และง่ายต่อการคำนวณเชิงตัวเลข สมการที่ได้รับการแปลงแล้วถูกแสดงไว้ในภาคผนวก ๙ รายละเอียดในเรื่องนี้ สามารถศึกษาได้จาก Spaulding (1984) และ Swanson (1986)

7.3. การหาค่าตอบเชิงตัวเลขของแบบจำลองคณิตศาสตร์

สมการทางคณิตศาสตร์ทางอุทกศาสตร์แบบ 3 มิติ จะได้รับการหาค่าตอบเชิงตัวเลข โดยวิธีของแบบจำลองทางคณิตศาสตร์ ดังต่อไปนี้

1. ในการวิจัยนี้ได้นำเอาเทคนิค Curvilinear coordinate (Spaulding, 1984; Swanson, 1986) มาใช้ในการแก้ปัญหาสภาพที่ซับซ้อนของภูมิประเทศในแบบจำลอง ซึ่งกระทำโดยการเปลี่ยนรูปของสมการควบคุมการไหลทางสมุทรศาสตร์จากรูปทรงตามธรรมชาติให้อยู่ในรูปของ rectangular computational grid ซึ่งสามารถทำการคำนวณได้สะดวก
2. แบบจำลองฯ หาค่าตอบของสมการควบคุมการไหลทางอุทกศาสตร์ (สมการคงมูลของน้ำ และสมการโมเมนตัม) โดยการประมาณค่าทางคณิตศาสตร์ด้วยวิธี staggered grid, finite difference approximation

3. เพื่อเพิ่มขีดความสามารถในการได้มาซึ่งค่าตอบ การคำนวณจะถูกแบ่งเป็น 2 ส่วนคือ external mode และ internal mode โดยใน external mode จะคำนวณค่าของ ระดับน้ำ (water surface elevation) ด้วยวิธีเชิงตัวเลขแบบ semi-implicit finite difference scheme จากสมการความคุณการไหลทางสมุทรศาสตร์แบบ 2 มิติ จากนั้นค่าระดับน้ำจะถูกแทนในสมการโน้มถ่วงเพื่อหาค่าความเร็วเฉลี่ย (depth-averaged velocity) การคำนวณใน mode นี้สมมติให้แรงเสียดทานที่ห้องแม่น้ำเป็นไปตามกฎกำลังสองของแรงเสียดทาน (Quadratic drag law) ในขณะที่ internal mode จะคำนวณค่าผลต่างของความเร็วที่ทุกๆ ความลึก (velocity deviations) จากสมการโน้มถ่วงด้วยวิธี semi-implicit finite difference scheme ซึ่งค่าสัมประสิทธิ์ความปั่นป่วน (V_s) สามารถหาโดยการแก้สมการพลังงานจลน์ (k) และ Length scale (L) (One-equation model) (1962; ASCE, 1988; White, 1992) โดยวิธี semi-implicit finite difference scheme
4. ความเร็วของกระแสน้ำที่คำนวณได้จากสมการ hydrodynamics จะถูกนำไปแทนในสมการการเคลื่อนที่ของความถีน ซึ่งหาค่าตอบเชิงตัวเลขได้โดยวิธี semi-implicit finite difference scheme โดยค่าสัมประสิทธิ์การแพร่กระจาย (diffusion coefficient, D_z) หาได้จากการสัมพันธ์ระหว่าง Prandtl's number (σ_z) และสัมประสิทธิ์ความปั่นป่วน ในกรณีที่พิจารณาการแยกตัวของชั้นการไหล ค่าสัมประสิทธิ์การแพร่กระจาย จะเปลี่ยนไปตามค่าของ Richardson's number (R_z) (ASCE, 1988)
5. แบบจำลองได้พิจารณาถึงกระแสน้ำที่เกิดจากความแตกต่างของความหนาแน่น (density-induced circulation) ไว้ด้วย

8. การประยุกต์แบบจำลองคณิตศาสตร์กับระบบทะเลสาบสงขลาและคลองอู่ตะเภา

8.1. ขอบเขตของแบบจำลอง

เนื่องจากความกีดขวางในคลองอู่ตะเภาเปลี่ยนไปตามสภาพความกีดขวางในทะเลสาบสงขลา และเพื่อให้การศึกษามีความถูกต้องมากที่สุด ในการศึกษานี้ได้กำหนดขอบเขตของแบบจำลอง (model domain) ให้ครอบคลุมพื้นที่ทั่วทั้งระบบทะเลสาบสงขลา (ครอบคลุมพื้นที่ 1,182 ตารางกิโลเมตร) อันได้แก่ ทะเลหลวง ทะเลสาบ ทะเลสาบสงขลาและเกาะชุม ช่องแคบป่ากรอและร่องน้ำทางเข้าทะเลสาบสงขลา และส่วนของอ่าวไทยถึงเกาะหมู (ภาคผนวก ภู) และในส่วนของคลองอู่ตะเภาจากปากแม่น้ำลึ่งบ้านพู เป็นระยะทาง 29 กม

จำนวนกริดที่ใช้ในการคำนวณถูกเลือกให้มีความละเอียดเทียบพอดีกับความต้องการของค่าตอบและหน้างานกับเวลาที่ใช้ในการคำนวณ ในที่นี้กริดจำนวน 48×64 ถูกเลือกใช้กับส่วนของระบบ

thaléstan โดยขนาดของกริด (Δx) เป็นไปในช่วง 500-2,000 m และสำหรับในส่วนของคลองอุ่ตุะเกา ใช้กริดจำนวน 3×20 โดย Δx มีค่าประมาณ 1,500 m

ค่าความลึกที่ใช้ในแบบจำลองได้มาจากการวัดในสนาม (ภาคผนวก ก) โดยถูกนำมาปรับให้สอดคล้องกับขนาดของกริดที่ใช้ในการคำนวณ และสิ่งที่ก่อภัยทางเดินระบายน้ำ (ภาคผนวก ภ)

8.4. การทดสอบแบบจำลอง (Model Testing)

ก่อนที่จะนำแบบจำลองไปใช้ในการพยากรณ์การเคลื่อนที่ของน้ำแล้วการรุกของน้ำก็เป็นสิ่งที่ต้องทำการทดสอบแบบจำลองฯ ซึ่งการทดสอบมีจุดประสงค์สำคัญ 2 ประการ คือ

- เพื่อตรวจสอบ Computer Codes ที่เขียนขึ้น และแก้ไขให้ใช้งานได้
- ตรวจสอบน้ำที่อื้อถือและความเป็นไปได้ของคำตอบที่ได้จากแบบจำลองฯ

8.2.1. การทดสอบแบบจำลองทางอุทกศาสตร์

ความถูกต้องของคำตอบที่ได้จากแบบจำลองทางอุทกศาสตร์มีความสำคัญอย่างมาก เพราะเป็นตัวกำหนดการเคลื่อนที่ของสาร และมีการคำนวณที่ซับซ้อนที่สุด การทดสอบแบบจำลองฯ มีขั้นตอนดังนี้

- ใส่ค่าอุทกศาสตร์เริ่มต้น (Initial Condition) ของthaléstan ลงใน โดยกำหนดให้อยู่ในสภาพน้ำหนึ่ง นั่นคือความเร็ว ณ จุดต่างๆ และยัตราชาร์ ให้ลงน้ำท่าจากแม่น้ำต่างๆ มีค่าเท่ากับศูนย์
- ใส่ค่าระดับน้ำที่ทางเข้าthaléstan ที่ได้จากการพยากรณ์โดยกรมอุทกศาสตร์ ท่าเรือที่เกาะหมู
- กำหนดขนาดของเวลา (Δt) ที่ใช้ในการคำนวณ ในที่นี้ให้เท่ากับ 450 วินาที และให้แบบจำลองทำการคำนวณต่อเนื่องเป็นระยะเวลา 30 วัน
- นำผลการคำนวณระดับน้ำและความเร็วกระแสน้ำไปเปรียบเทียบกับที่วัดได้ทั้ง 4 สถานีเพื่อปรับค่าสัมประสิทธิ์แรงเสียดทานในแบบจำลองฯ
- ทำข้อ 1 ถึง 4 จนกว่าจะให้ผลการเปรียบเทียบเป็นที่ดีที่สุด

การเปรียบเทียบผลที่ได้จากการวัดและการคำนวณของระดับน้ำและกระแสน้ำ ถูกแสดงไว้ในภาคผนวก ภ โดยใช้ข้อมูลในเดือนมิถุนายน 2540 จำนวน 2 สถานีคือ ท่าเรือน้ำด้านทิศเหนือและท่าเรือน้ำด้านใต้ บนริเวอร์ไซด์ สะพานดิษฐาลันท์ และสำหรับในคลองอุ่ตุะเกาใช้ข้อมูลวันที่ 11 และ 31 พฤษภาคม 2540 และ 17-18 สิงหาคม 2540 ที่บ้านคูเต่า และบ้านนารังนก จากการทำ Sensitivity study พบว่าสัมประสิทธิ์ความเสียดทานที่ท้องน้ำ (C_s) มีค่าเท่ากับ 0.0015

และพบว่าในกล่องอู่ตะเกาความลึกมีอิทธิพลอย่างมากต่อการเปลี่ยนแปลงของความเร็วกระแสน้ำ นอกจานี้จากการศึกษาด้วยแบบจำลองฯแบบ 3 มิติสามารถแสดงอิทธิพลของความแตกต่างของความหนาแน่นได้ โดยที่ กม+11 จะพบริเวณทิศกันระหว่างผิวน้ำและห้องกล่องอย่างชัดเจน

ประโยชน์ที่สำคัญของการศึกษาด้วยแบบจำลองคณิตศาสตร์ คือสามารถแสดงรายละเอียดของกระแสน้ำที่ทุกๆจุด ได้ในเวลาเดียวกัน ซึ่งไม่สามารถกระทำได้ด้วยการวัดโดยตรง ในส่วนนี้เองจากกระแสน้ำในทะเลสาบจะประเปลี่ยนไปตลอดเวลา การไหลวนอันเป็นธรรมชาติที่ซับซ้อน รูปในภาคผนวก ๗ แสดงการไหลบริเวณปากคลองอู่ตะเกาในรูปของ vector diagram ราย ๓ ชั่วโมงจนครบ ๑ รอบของน้ำขึ้นน้ำลง

8.2.2. การทดสอบแบบจำลองการเคลื่อนที่ของความเค็ม

เมื่อแบบจำลองฯอุทกศาสตร์ได้รับการทดสอบแล้วว่า ความเร็วกระแสน้ำที่คำนวณได้มีความน่าเชื่อถือและสามารถใช้พยากรณ์การเคลื่อนที่ของมวลน้ำในทะเลสาบสงขลาและคลองอู่ตะเกา ต่อไป นำผลนี้ไปใช้ร่วมกับแบบจำลองการเคลื่อนที่ของความเค็ม โดยมีดำเนินการทดสอบแบบจำลองฯ ดังต่อไปนี้

- ค่าความเค็มเริ่มต้น (Initial Condition) ของระบบทะเลสาบและคลองอู่ตะเกา ได้มาจากการวัด (ภาคผนวก ๙)
- ค่าความเค็มที่บ้านพรุภูก้าหานดใหม่ค่าเป็นศูนย์ตลอดการคำนวณ หรือทั้งไส้ก้าอัตราการไหลของน้ำท่าที่วัดได้จากสถานี X90
- กำหนดขนาดของเวลา (Δt) ที่ใช้ในการคำนวณ ในที่นี้ให้เท่ากับ 112.5 วินาที และให้แบบจำลองทำการคำนวณต่อเนื่องเป็นระยะเวลา 30 วัน
- นำผลการคำนวณความเค็มไปเปรียบเทียบกับค่าที่วัด ได้จากบ้านคูเต่าและบ้านนารังนก เพื่อปรับค่าสัมประสิทธิ์การแพร่ในแบบจำลองฯ
- ทำข้อ 1 ถึง 4 จนกว่าจะให้ผลการเปรียบเทียบเป็นที่ดีที่สุด

ในที่นี้ทำการเปรียบเทียบระหว่างความเค็มที่ได้จากการวัดและการคำนวณที่บ้านคูเต่า และบ้านนารังนก ในวันที่ 11 พฤษภาคม 2540 และ 17-18 สิงหาคม 2540 ดังแสดงในภาคผนวก ๙

9. การพยากรณ์การรุกรุกของน้ำเค็มในคลองอู่ตะเภา

เมื่อผลการทดสอบแบบจำลองเป็นที่น่าพอใจ และสามารถใช้พยากรณ์การเกลื่อนที่ของความเค็มได้ ขั้นตอนต่อไปเป็นการพยากรณ์การรุกรุกของน้ำเค็มในคลองอู่ตะเภา ที่สภาพทางอุทกวิทยาต่างๆ และอิทธิพลของการเปลี่ยนแปลงความลึกของล้าน้ำ ผลของการพยากรณ์มีดังนี้

9.1. อิทธิพลของการเปลี่ยนแปลงของน้ำท่า

ในการศึกษานี้ให้น้ำท่าในคลองอู่ตะเภาแปรเปลี่ยนอยู่ระหว่าง 1-10 ลบ.ม/วินาที และกำหนดให้ความเค็มของทะเลสาบสงขลาในฤดูแล้งมีค่าคงที่ที่ 25 ppt จากการคำนวณต่อเนื่องเป็นเวลา 30 วัน ผลที่ได้แสดงไว้ในภาคผนวก ๗ และสรุปไว้ในตารางที่ 6 จะเห็นได้ว่า ที่อัตราการไหลลงที่ 1 ลบ.ม ต่อวินาที ต่อเนื่องเป็นเวลา 13 วัน น้ำเค็มสามารถรุกร้ำงไปถึงจุดภายนอกหาดใหญ่ และที่อัตราการไหลมากกว่า 5 ลบ.ม ต่อวินาที คลองอู่ตะเภาจะมีสภาพเป็นน้ำจืดตลอดสาย

ตารางที่ 6 การพยากรณ์การรุกรุกของน้ำเค็มในคลองอู่ตะเภาที่อัตราการไหลลงที่ 1 ลบ.ม ต่อวินาที

| ข้ามหาร | | หาดใหญ่ | |
|-------------------|---------------------------------|-------------------|---------------------------------|
| ความเค็ม (ppt) | เวลาในการรุกรุกตัว (ชั่วโมง) | ความเค็ม (ppt) | เวลาในการรุกรุกตัว (ชั่วโมง) |
| 1 | 110 | 1 | 300 |
| 2 | 160 | 2 | 550 |
| 2.7 | 350 | 6 | 700 |

9.2. อิทธิพลของการเปลี่ยนแปลงความลึกของล้าน้ำ

จากการที่กรมศุภาระน้ำมีโครงการพัฒนาลุ่มน้ำคลองอู่ตะเภาหลายโครงการ ซึ่งย่อมอาจก่อให้เกิดผลกระทบต่อการเปลี่ยนแปลงรูปทรงและความลึกของล้าน้ำ ในที่นี้จึงทำการจำลองการเปลี่ยนแปลงความลึกของล้าน้ำตลอดสาย โดยกำหนดให้ความลึกมีการเปลี่ยนแปลงอยู่ระหว่าง $\pm 50\%$ และให้อัตราการไหลลงในฤดูแล้งคงที่ที่ 2 ลบ.ม ต่อวินาที ผลการพยากรณ์แสดงในภาคผนวก ๗ และตารางที่ 7 สามารถสรุปได้ว่าการขุดลอกกร่องน้ำให้ลึกเพิ่มขึ้นอีก 50% มีผลต่อการรุกรุกของน้ำเค็มเพียงเล็กน้อย ขณะที่ถ้ามีการตื้นเขินก็เพิ่มขึ้นอีก 50% จะลดการรุกรุกของน้ำเค็มได้อย่างมาก

ตารางที่ 7 การรุกรุกของน้ำเค็มที่อัตราการไหล 2 ลบ.ม ต่อวินาทีเมื่อมีการเปลี่ยนแปลงความลึก

ความเค็ม (ppt)

| การเปลี่ยนแปลงความลึก | กม+2 | กม+6 | กม+11 | กม+15 | กม+23 |
|-----------------------|------|------|-------|-------|-------|
| ขุดลอก 50% | 15 | 9.5 | 5.5 | 2.5 | 0.25 |
| สภาพปัจจุบัน | 15 | 9.5 | 5 | 2 | 0.15 |
| ตื้นเขิน 50% | 12.5 | 6 | 2 | 0.5 | 0 |

9.3. กลไกการรุกรุกของน้ำเค็มในคลองอู่ตะเภา

จากการทำ Sensitivity study ด้วยแบบจำลอง 2 มิติพบว่า ความเค็มในคลองอู่ตะเภา มีความไวต่อการเปลี่ยนแปลงค่าสัมประสิทธิ์การแพร่ในแนวราบ (D_H) และพบว่า D_H มีค่าเพียง 0.006 $\text{ม}^2/\text{วินาที}$ ทำให้การรุกรุกของน้ำเค็มเป็นไปอย่างช้าๆ ขณะที่การพัดพาความเค็มเนื่องจากกระแสน้ำซึ่งน้ำลงทำให้ความเค็มเฉพาะถี่นีการเปลี่ยนแปลงอย่างรวดเร็ว และพบว่าแบบจำลองแบบ 2 มิติให้ค่าการเปลี่ยนแปลงความเค็มที่คงกลางความลึกของค่าน้ำในรอบน้ำซึ่งน้ำลงค่อนข้างต่ำ ขณะที่แบบจำลองแบบ 3 มิติสามารถคำนวณการผสมผสานในแนวตั้งได้แม่นยำกว่า โดยพบว่าสัมประสิทธิ์การแพร่ในแนวตั้ง (D_z) มีค่าต่ำมาก ($0.0003 \text{ ม}^2/\text{วินาที}$) ซึ่งแสดงถึงสาเหตุสำคัญของการแยกชั้นของน้ำเค็ม อย่างไรก็ตามแบบจำลองฯยังไม่สามารถอธิบายความแตกต่างของความเค็มอย่างลับลับที่ผิวและห้องคลองได้

10. สรุปผลการศึกษา

จากข้อมูลเบื้องต้นชี้ว่า การพัฒนาของความเค็มในคลองอู่ตะเภา เป็นแบบ partially mixed แสดงให้เห็นถึงความปั่นปวนเนื่องจากกระแสน้ำขึ้นน้ำลงมีน้อย จากการติดตามการรุกของน้ำเค็มพบว่า น้ำเค็มน้ำในแม่น้ำรุกเข้าสู่คลองอู่ตะเภาเร่งที่สุดในเดือนพฤษภาคม โดยมีค่าความเค็มที่ปากคลองเท้ากัน 18 ppt และรุกไปไกล 11 กม อย่างไรก็ตามบนการรุกของน้ำเค็มในคลองอู่ตะเภา มีความซับซ้อนมาก อันเนื่องมาจากการพัฒนาและปรับของความเค็มในทะเลสาบสงขลา ดังนั้นจำเป็นต้องศึกษาสภาพสมุทรศาสตร์ของทะเลสาบและคลองอู่ตะเภาร่วมกัน

จากการสำรวจภาคสนามเพื่อทราบถึงสภาพปัจจุบันทางสมุทรศาสตร์ และเพื่อใช้ในแบบจำลองคณิตศาสตร์สรุปได้ดังนี้

1. พิสัยน้ำขึ้นน้ำลง (tidal range) ที่เกาะหนูในเดือนมิถุนายน 2540 มีค่า 60 ซม เมื่อ เกลื่อนเข้าสู่ทะเลสาบสงขลาพิสัยลดลงเป็น 21 ซม ที่บ้านแหลมโพธิ์โดยช้ากว่าที่เกาะ

- หนู 3.5 ชั่วโมง จากนั้นเข้าสู่คลองอู่ตะเภาโดยที่บ้านเกะนก (กม+2) บ้านหาร และ บ้านเก่าหาดใหญ่ มีค่าพิสัยประมาณ 8 ซม และ 15 ซม และ 11 ซม ตามลำดับ
2. ความเร็วกระแสน้ำสูงสุดทางคันเนื้อและใต้ของเกาะมีค่าประมาณ 0.67 m ต่อ วินาที และ 0.43 m ต่อวินาที ตามลำดับ
 3. ความเร็วกระแสน้ำสูงสุดที่บ้านนารังนกและบ้านเกะนกมีค่าประมาณ 0.18 m ต่อวินาที และ 0.15 m ต่อวินาที ตามลำดับ
 4. อัตราการไหลของน้ำในคลุ่มแม่น้ำที่สถานี X90 (บ้านบางศาลา) มีค่าอยู่ระหว่าง 1-7 ลบ.ม ต่อวินาที
 5. ในฤดูฝนทั่วทั้งระบบทะเลสาบสงขลาเป็นน้ำจืด ส่วนในคลุ่มแม่น้ำเกี้มรุกถึงเกาะใหญ่ โดยในเดือนกรกฎาคม 2540 มีความเค็มถึง 4.5 ppt การทดสอบของความเค็มเป็นแบบ Completely mixed ยกเว้นบริเวณร่องน้ำทางทิศใต้และทิศเหนือของเกาะอยู่ที่มีความลึกมากกว่า 2.5 m จะมีการทดสอบเป็นแบบ Partially mixed
 6. ข้อมูลความเค็มในคลุ่มแม่น้ำที่ก่อภัย ทะเลสาบสงขลาความเค็มน้ำเปลี่ยนแปลงอยู่ระหว่าง 15-29 ppt
 7. การรุกของน้ำเค็มรุนแรงที่สุดในปี 2540 คือในเดือนสิงหาคม โดยอัตราการไหลเฉลี่ยของน้ำที่ประมาณ 2 ลบ.ม/วินาที พบร่วมกับ กม+11 ความเค็มที่ผิวน้ำและห้องคลองมีค่าเท่ากับ 0.3 ppt และ 15.3 ppt ตามลำดับ

การศึกษาด้วยแบบจำลองคณิตศาสตร์ทางอุทกศาสตร์และการเคลื่อนที่ของความเค็ม ได้ข้อสรุปดังนี้

1. ระดับน้ำและความเร็วกระแสน้ำที่ได้จากแบบจำลองฯในทะเลสาบสงขลาและคลองอู่ตะเภา ให้คำตอบที่สอดคล้องกับข้อมูลที่บันทึกไว้ทั้งขนาดและเวลา โดยจากการทำ Sensitivity study ได้ค่าสัมประสิทธิ์ความเสียดทานห้องน้ำเท่ากับ 0.0015
2. การวิเคราะห์ด้วยแบบจำลองฯพบว่า ความลึกมีอิทธิพลอย่างมากต่อการเปลี่ยนแปลง ความเร็วกระแสน้ำที่คำนวณได้ในคลองอู่ตะเภา
3. ค่าสัมประสิทธิ์การแพร่ของความเค็มในแนวราบของคลองอู่ตะเภา มีค่าน้อย (~0.006 m²/วินาที) ทำให้การรุกตัวของน้ำเค็มเป็นไปอย่างช้าๆ ขณะที่การพัดพาความเค็ม เนื่องจากกระแสน้ำขึ้นน้ำลงทำให้ความเค็มเฉพาะถิ่นมีการเปลี่ยนแปลงอย่างรวดเร็ว

4. แบบจำลองแบบ 3 มิติสามารถให้คำตوبนของการทดสอบพื้นที่ในแนวคิ่งได้แม่นยำกว่าแบบจำลองแบบ 2 มิติ โดยพบว่าสัมประสิทธิ์การแพร่ในแนวคิ่งมีค่า $0.0003 \text{ m}^2/\text{ต่อวินาที}$ ซึ่งแสดงถึงสาเหตุของการแยกชั้นของน้ำเค็ม
5. ผลการคำนวณของแบบจำลองฯยังไม่สามารถอธิบายการแยกตัวของความเค็มอย่างชัดเจนได้ จำเป็นต้องทำการศึกษาต่อไป
6. ที่อัตราการไหลลงที่ 1 ลบ.ม ต่อวินาที ต่อเนื่องเป็นเวลา 24 วัน ความเค็ม 2 ppt สามารถรุกร้ำบลังเข้าไปถึงประมาณ 400 เมตร และที่อัตราการไหลมากกว่า 5 ลบ.ม ต่อวินาที กล่องอุตสาหกรรมมีสภาพเป็นน้ำจืดลดลง
7. การขุดลอกร่องน้ำให้ลึกเพิ่มขึ้นอีก 50% มีผลต่อการรุกร้ำของน้ำเค็มเพียงเล็กน้อย ขณะที่ถ้ามีการตื้นเบินเกิดขึ้นอีก 50% จะลดการรุกร้ำของน้ำเค็มได้อย่างมาก

10. ขอเสนอแนะสำหรับการวิจัยต่อเนื่อง

จากข้อมูลภาคสนามแสดงให้เห็นแล้วว่า การทดสอบของน้ำเค็มในกล่องอุตสาหกรรมมีการแยกชั้นอย่างชัดเจน (Discontinuity) หลักทรัพย์ดังกล่าวขึ้นอยู่กับการเปลี่ยนแปลงความลึกอย่างรวดเร็ว บริเวณบ้านนารังนก (กม+11) -บ้านหาร (กม+15) ซึ่งงานวิจัยนี้ยังไม่สามารถอธิบายปรากฏการณ์เช่นนี้ได้อย่างละเอียด จึงควรทำการวิจัยต่อไปเพื่อนำไปสู่การใช้ประโยชน์อย่างแม่นยำ ขอเสนอแนะสำหรับการศึกษาเพิ่มเติมมีดังต่อไปนี้

1. พัฒนาแบบจำลองแบบ 3 มิติ ให้มีประสิทธิภาพในการอธิบายปรากฏการณ์การแยกชั้นของความเค็มอย่างชัดเจน ได้อย่างแม่นยำ
2. ตรวจวัดความลึกบริเวณบ้านนารังนก (กม+11) -บ้านหาร (กม+15) โดยละเอียดเพื่อนำมาปรับปรุงให้เกิดความสมบูรณ์ในการใช้กับแบบจำลองแบบ 3 มิติต่อไป
3. ติดตามการเปลี่ยนแปลง รายวันของความเค็มในทะเลสาบสงขลาและอัตราการไหลที่ X90 เมื่อน้ำท่ามีค่า้น้อยกว่า 2 ลบ.ม ต่อวินาที
4. ศึกษารากฐานของน้ำเค็มในกรณีของการขุดคลองระบายน้ำสายใหม่เชื่อมกับกล่องอุตสาหกรรม
5. เนื่องจากความเค็มในกล่องอุตสาหกรรมขึ้นอยู่กับความเค็มในทะเลสาบสงขลา ดังนั้นจึงควรศึกษาความเป็นไปได้ของ การรุกร้ำของน้ำเค็มในกล่องอุตสาหกรรมจากอุทกศาสตร์วิทยาของทั้งระบบกลุ่มน้ำทะเลสาบสงขลา

เอกสารอ้างอิง

1. กรมชลประทาน 2534. List of Stream Guaging stations in Thailand Under Operation of Royal Irrigation Department Investigation project up to 1990, กรมชลประทาน กระทรวงเกษตรและสหกรณ์
2. ผู้ทรงคุณวุฒิ 2535 “การศึกษารูปแบบการรุกตัวของน้ำเค็มในคลองอู่ตะเภา จังหวัดสงขลา” มหาวิทยาลัยสงขลานครินทร์
3. วินัย แซ่จิ้ว และสมบูรณ์ พระพินเดพวงศ์ 2538 “การศึกษาและจำลองสภาพการดักตะกอนทางธรรมชาติในคลองอู่ตะเภาเพื่อสร้างโปรแกรมจำลองทางคอมพิวเตอร์” มหาวิทยาลัยสงขลานครินทร์
4. เสรี พานิชกุล 2533. “การวางแผนจัดสรรน้ำ เพื่อแก้ปัญหาการขาดแคลนน้ำอุปโภค-บริโภค เพื่อการประปาของอำเภอหาดใหญ่ จังหวัดสงขลา” กรมชลประทาน กระทรวงเกษตรและสหกรณ์
5. AIT 1994, Note No. 1 of Utaphao Basin on Data Check; Rating Curves & Nam Calibration, AIT Bangkok, Thailand
6. AIT 1994, Note No. 2 of Utaphao Basin on Data Check; Rating Curves & Nam Calibration. AIT Bangkok, Thailand
7. AIT 1994, Note No. 3 of Utaphao Basin on Data Check; Rating Curves & Nam Calibration, AIT Bangkok, Thailand
8. John Taylor and Sons, 1985. “Songkhla Lake Basin Planning Study”, Final report, Vol.7, Technical Appendices, Basin Water Resources, National Economic and Social Development Board, National Environmental Board, Thailand
9. TEAM Consulting Engineering and Nippon Koei, 1989 “Feasibility Study Khlong Sadao Dam Project, Royal Irrigation Department, Ministry of Agriculture and Cooperative.
10. Linsley, R.K, Kohler, M.A and Paulhus, J.L.H, 1975. Hydrology for Engineers, 2nd Ed. McGraw-Hill, New York.
11. Swanson. J. C., 1986 “A Three Dimensional Numerical Model of Coastal Circulation and Water Quality” Ph.D Dissertation, Department of Ocean Engineering, Univ. Of Rhode Island.
12. McDowell, D.M. and Connor, B.A., 1977. “Hydraulic Behavior of Estuaries”, The Macmillan Co. Press Ltd, London
13. Prasuhn, A.L, 1987. “Fundamental of Hydraulic Engineering”, Holt, Rinehart and Winston, Inc., New York.
14. Thomann, R.V and Mueller J.A, 1984. “Principles of Surface Water Quality Modeling and

Control”

15. Spaulding M.L., 1984. “A Vertically Averaged Circulation Model Using Boundary-Fitted Coordinates”, Journal of Physical Oceanography, 14. Pages 973-982.
16. เทสโก๊ก, ปัญญาค่อนชัลแทนท์ และพอลค่อนชัลแทนท์ “การศึกษาและออกแบบโครงสร้างการคันกันน้ำ กีบนทะเลสาบสงขลา จังหวัดสงขลาและจังหวัดพัทลุง” กรมชลประทาน กระทรวงเกษตร และ สหกรณ์ 2536

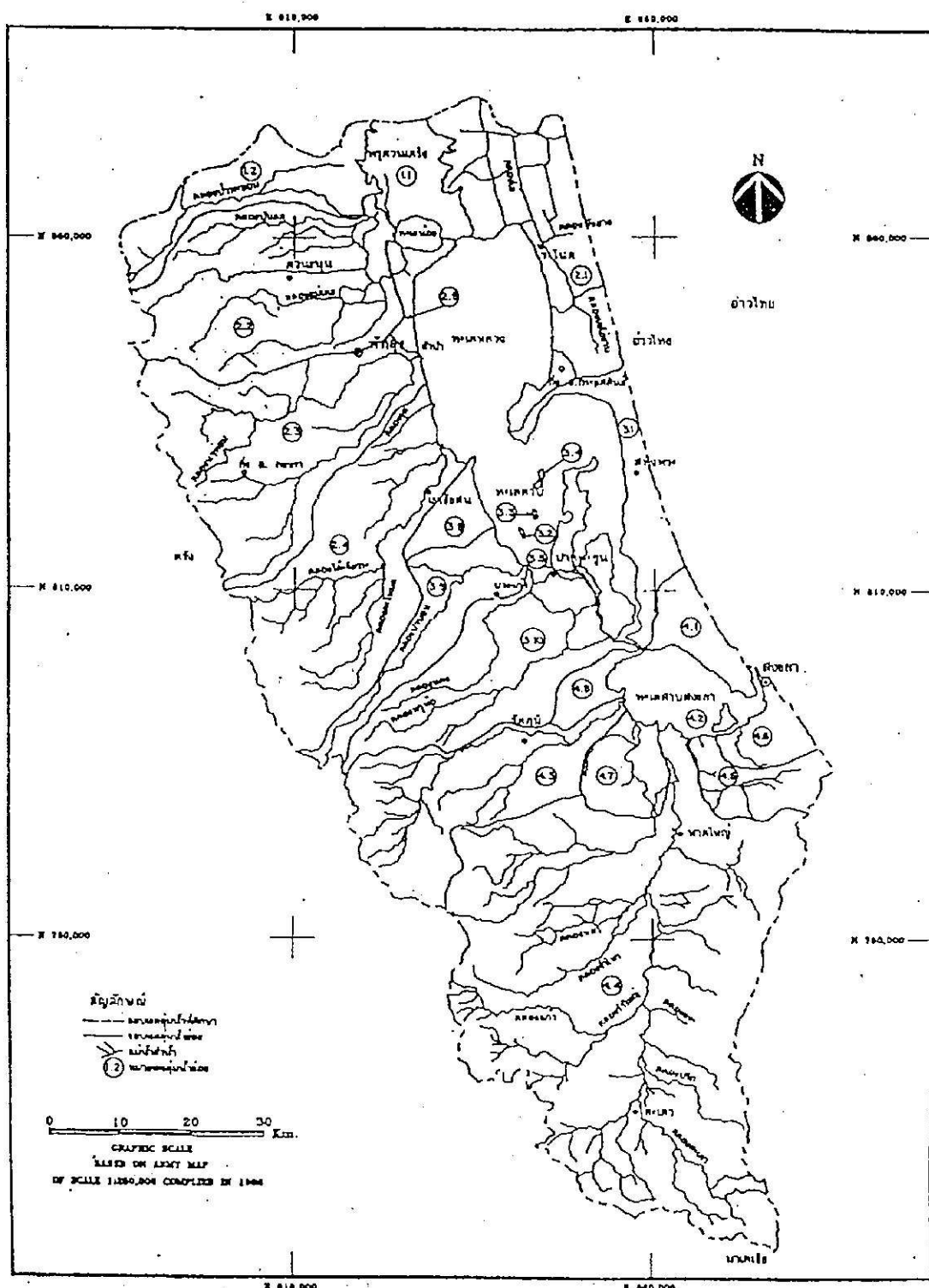
ภาคผนวก ๑

รายละเอียดของสถานีอุทกวิทยาในลุ่มน้ำකlong อู่ตะเภาที่เกี่ยวข้อง

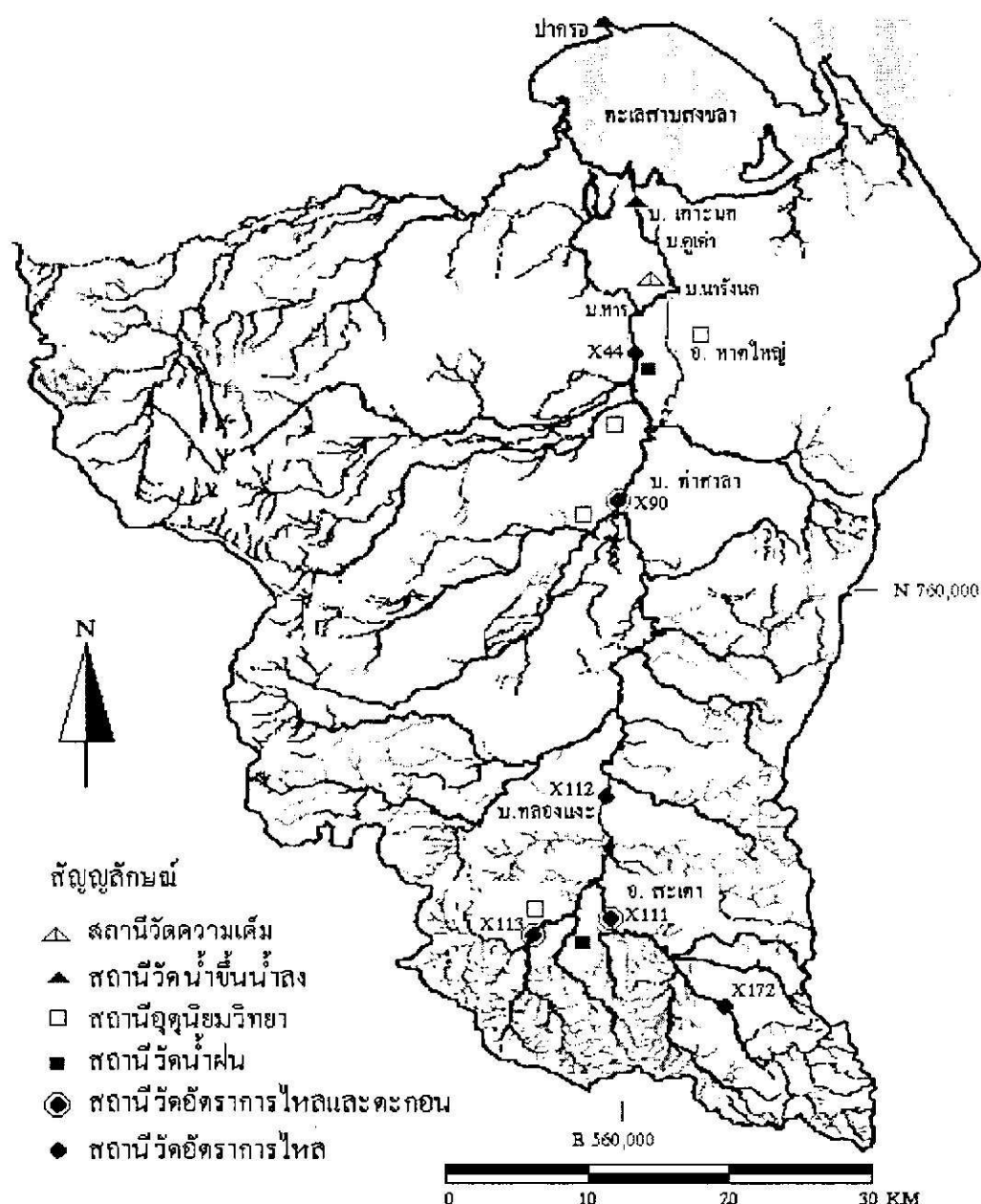
| Sta. Code | River | Location | Drainage Area (km ²) | Period of Record | Mean Annual Yield (mm) | Characteristics |
|--------------|----------------|---------------|--|---------------------|---------------------------------|---|
| X90 | Klong U-Taphao | Ban Bang Sala | 1,562 | 1971-now | 644.91 | ตั้งอยู่บริเวณบ้านบานบังสาลา บริเวณส่วนครึ่งของลุ่มน้ำ ความสูง ของลูกน้ำเท่ากับ 9 ม. ความสามารถระบายน้ำสูงสุดเท่า กับ 300 ม' วินาที น้ำหลอกลันดึรึจะเป็นครึ่งขวา มีค่า datum เท่ากับ 0.680 m MSL การวัดความเร็วและ ระดับน้ำกระทำที่สะพาน ที่อัตราการไหลสูง คำอธิบายการ ให้ค่าสูงกว่าที่คำนวณได้จาก rating curve |
| X44 | | Hat Yai | 1,740 | 1967-now | 791.94 | ตั้งอยู่บริเวณกอกหาดไก่ insensitve ที่อัตราการไหลลดลง เพราะได้รับอิทธิพลจากทางเล ความสามารถระบายน้ำสูง สุดเท่ากับ 300 ม' วินาที มีค่า datum เท่ากับ -0.980 m MSL rating curve ถูกกระทำที่ 200 เมตร ห่างจาก สะพาน ส่วนจะบนนั้นวัดที่สะพาน หน้าดักการไหลลัด ที่บันเริมสะพาน เมื่อจานมีการขุดออกก่อในปี 1989 และยังไม่มีการทำ rating curve ทำให้ค่า rating curve มีค่า ความเชื่อถือค่า คำอธิบายการไหลสูงๆ บางไม่เป็นที่น่าเชื่อ ถือนัก |

ล้าน้ำสำกัญและขอบเบคลั่มน้ำย่อยในลุ่มน้ำท่าเรสานบงขลาก

ที่มา: เกส ໄຊ และคณะ (2536) "การศึกษาและอภิปรายโครงการคันถั่นน้ำกึ่ง ระหว่างสถาบันสังฆศา จังหวัดสงขลาและจังหวัดพัทลุง"

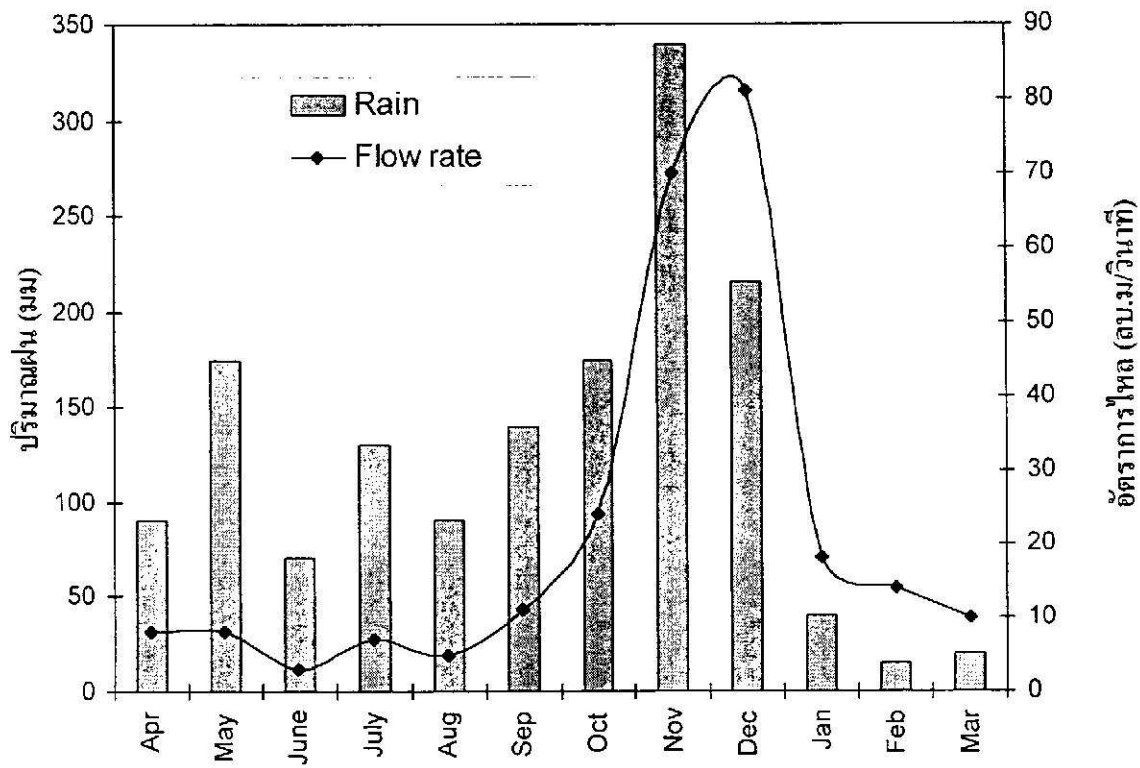


สถานีอุทกวิทยาและอุทกศาสตร์ในอุ่มน้ำคองของอุ่คะเกา



ปริมาณฝนและอัตราการไหลเฉลี่ยรายเดือนของน้ำท่าในคลองอู่ตะเภาที่อ่าวน้ำท่าใหญ่

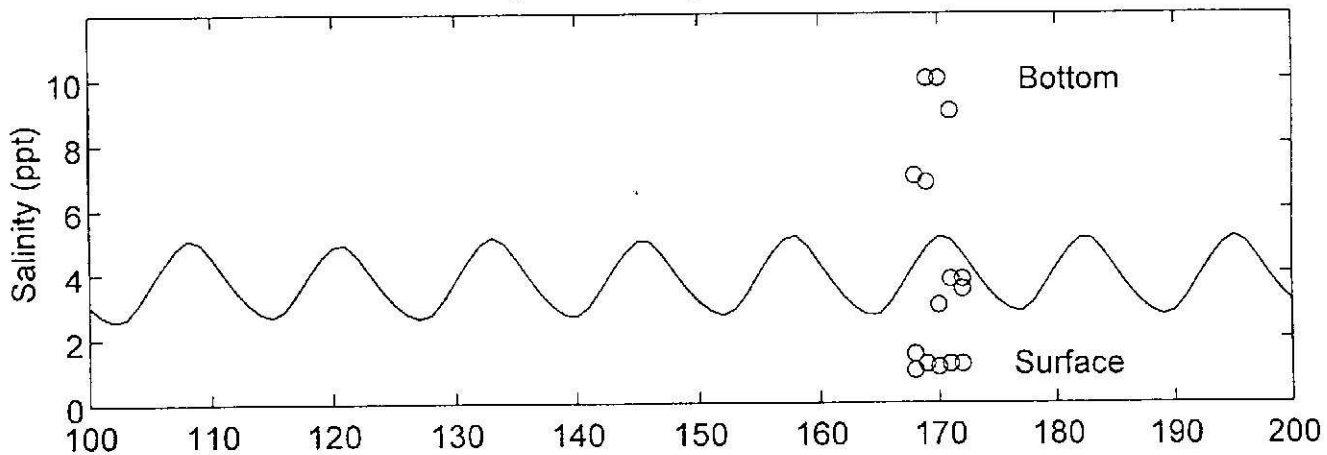
ที่มา : TEAM Consulting Engineerings and Nippon Koei, 1989



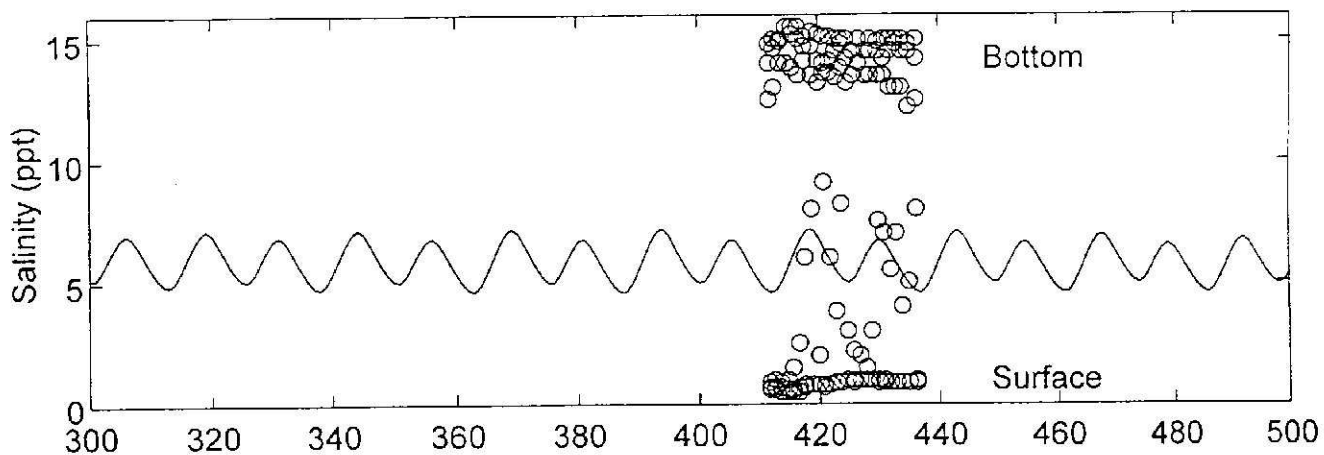
ภาคผนวก ๗

เปรียบเทียบผลการคำนวณ (-) ความเค็มแบบ 2 มิติ กับการวัด (o)

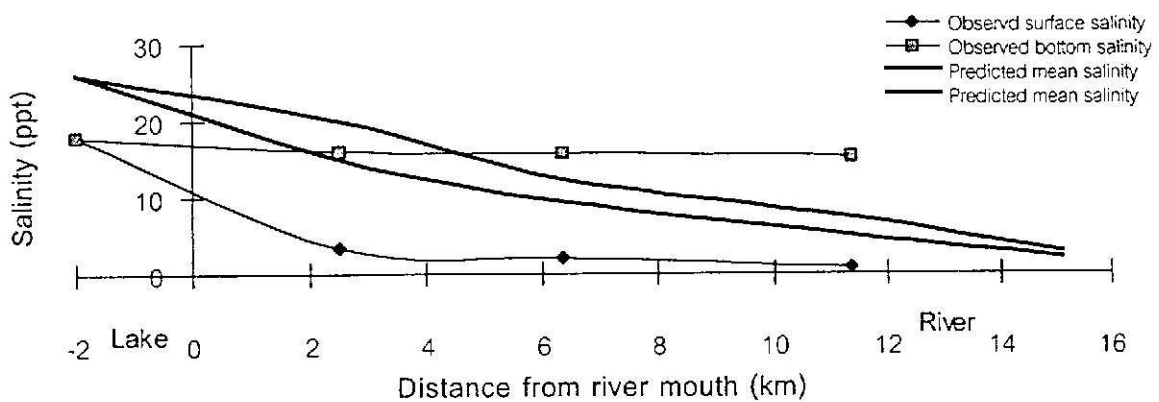
ที่บ้านคุณดาวันที่ 11 พฤษภาคม 2540



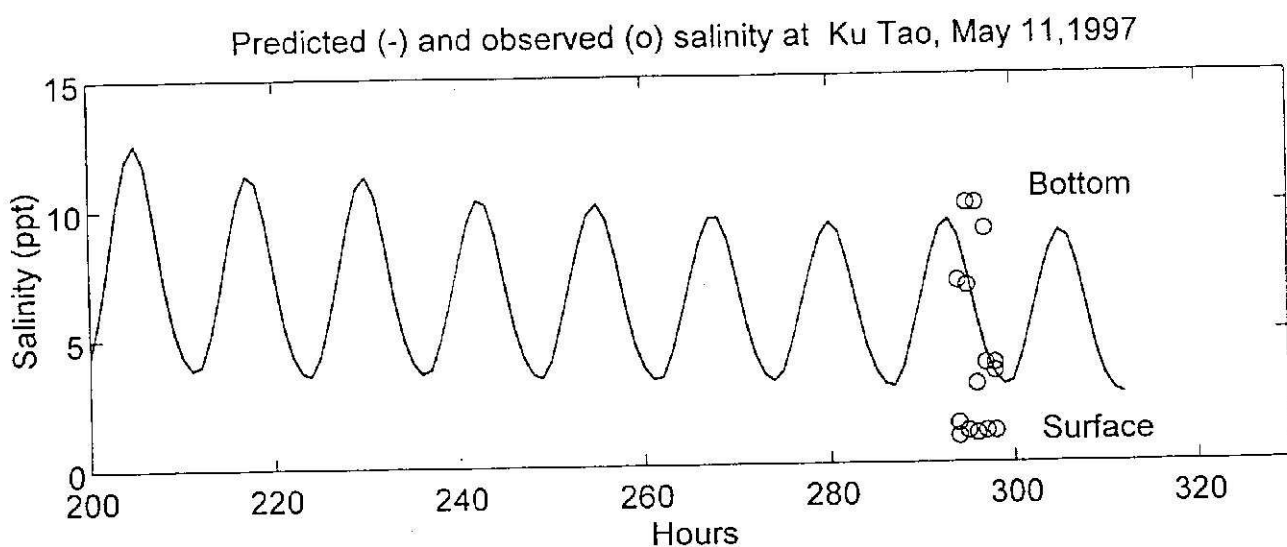
ที่บ้านนารังกวันที่ 17-18 สิงหาคม 2540



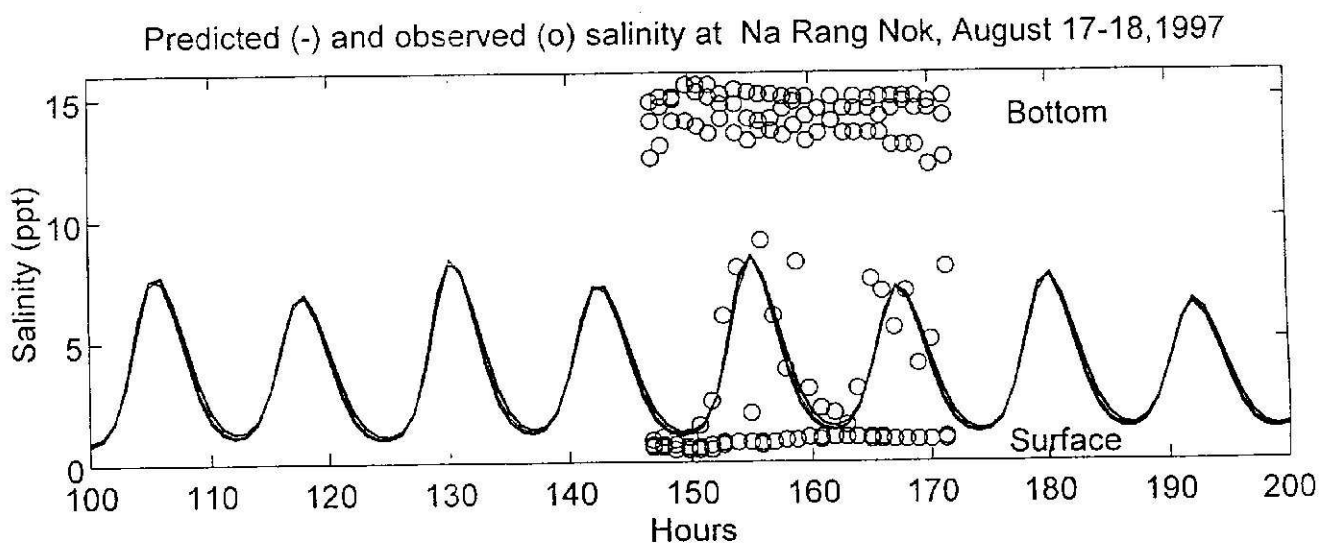
เปรียบเทียบผลการคำนวณการรุกของน้ำเค็มกับการวัดวันที่ 17 สิงหาคม 2540



เปรียบเทียบผลการคำนวณ (-) ความเค็มแบบ 3 มิติกับการวัด (o)
ที่บ้านคูเด่าวันที่ 11 พฤษภาคม 2540

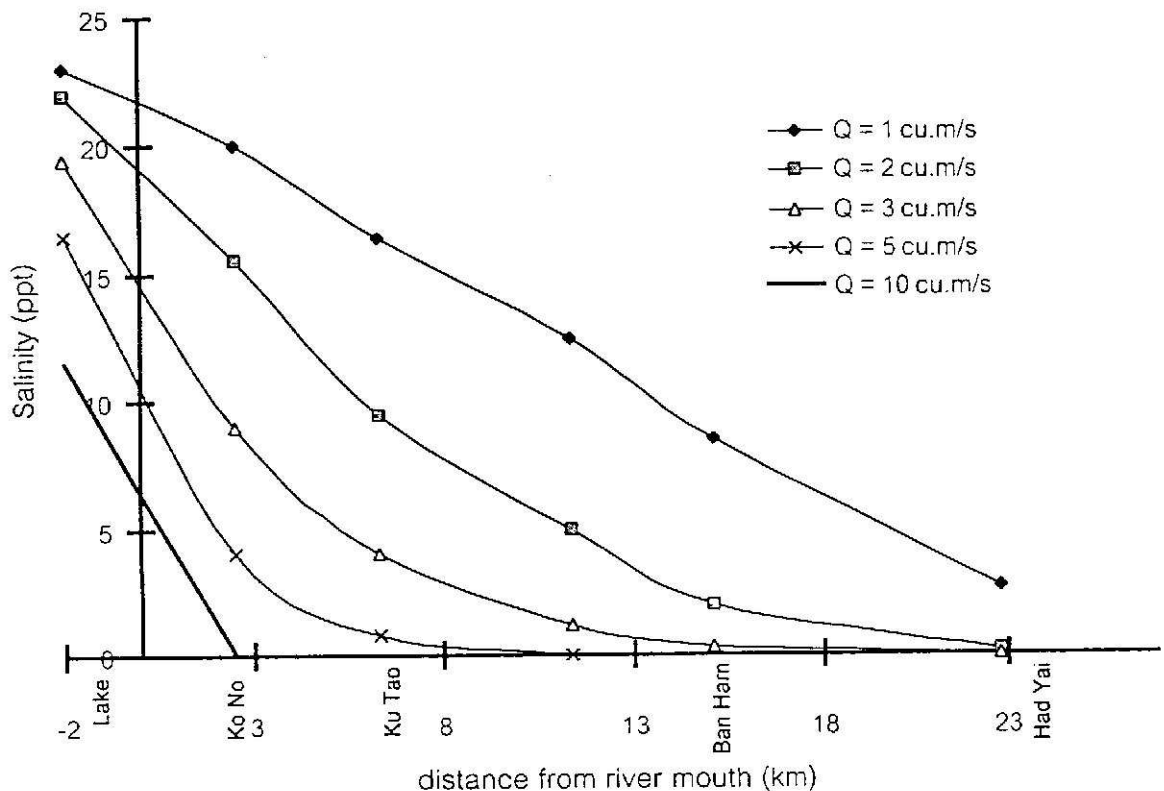


ที่บ้านนารังกวันที่ 17-18 สิงหาคม 2540



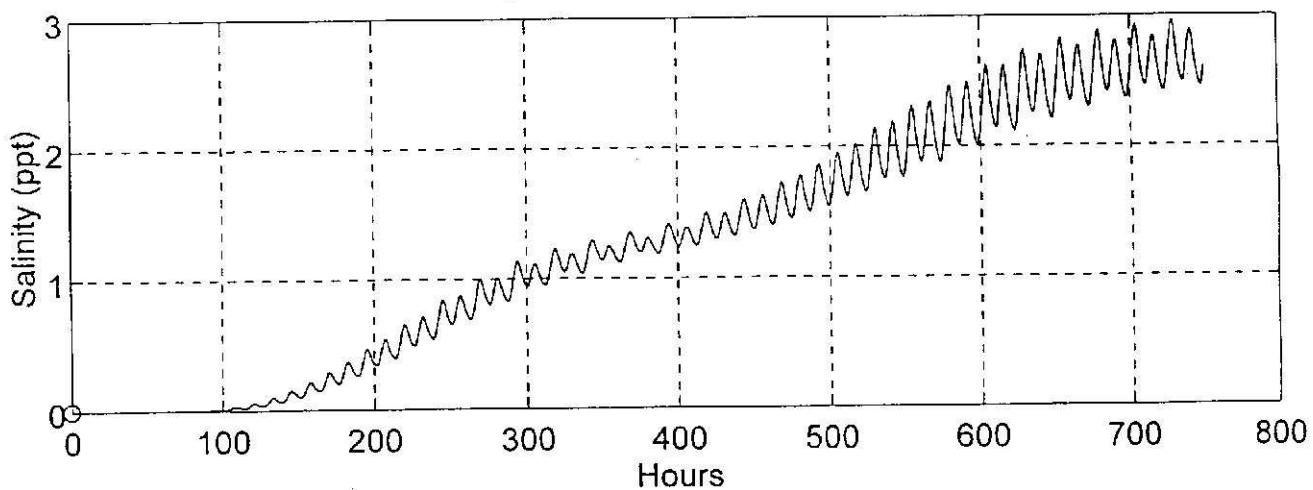
ภาคผนวก ๗

การพยากรณ์การรุกของน้ำเค็มในคลองอู่ตะเภาที่อัตราการไหล 1-10 ลบ.ม/วินาที



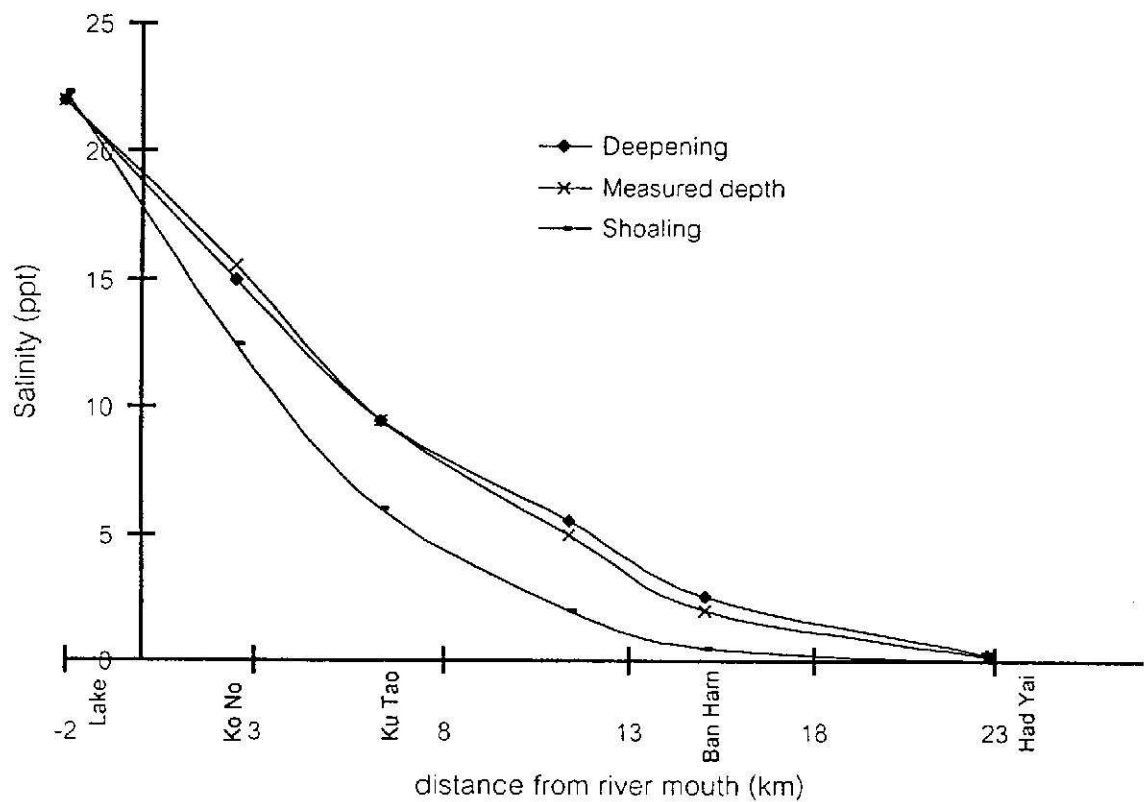
การพยากรณ์การรุกของน้ำเค็มกับเวลาสำหรับอัตราการไหลคงที่ 1 ลบ.ม/วินาที

Predicted mean salinity intrusion at Had Yai for flow rate of 1 cu.m/s



การพยากรณ์การรุกของความเค็มในคลองอู่ตะเภา

กรณีเปลี่ยนแปลงความลึกระหว่าง $\pm 50\%$ ที่อัตราการไหลคงที่ 2 ลบ.ม./วินาที



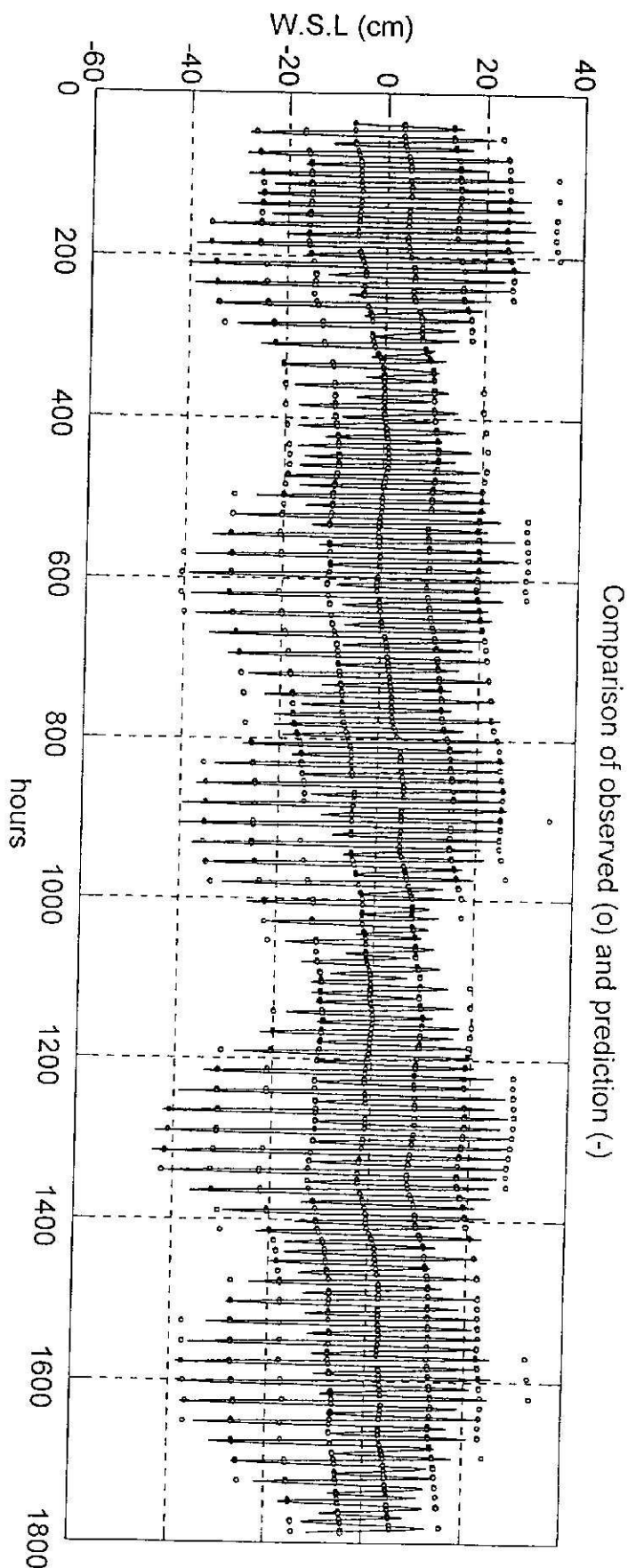
ภาคผนวก ข

องค์ประกอบของน้ำเขื่อนน้ำลงที่เกาะหมู

วิเคราะห์จากข้อมูลเดือนมกราคม-กรกฎาคม 2540

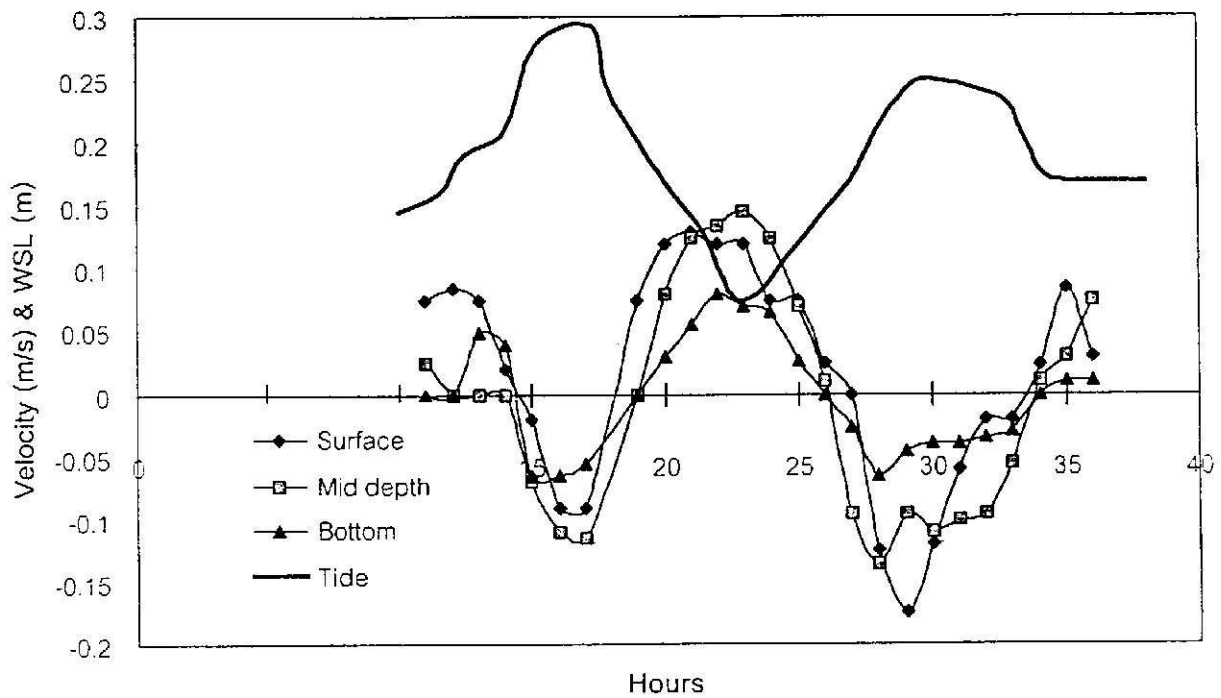
| Tidal constituents | Degree hr | Amplitude (cm) | Phase |
|--------------------|-----------|-------------------|----------|
| | | | (degree) |
| Q1 | 13.4 | 0.771 | 107 |
| O1 | 13.9 | 4.263 | 155.6 |
| K1 | 15 | 5.589 | 135.7 |
| OO1 | 16.1 | 0.841 | 252.5 |
| P1 | 15 | 1.379 | 18.6 |
| MU2 | 28 | 0.781 | 243 |
| N2 | 28.4 | 5.273 | 81.3 |
| M2 | 29 | 19.387 | 124.3 |
| S2 | 30 | 6.385 | 316.9 |
| MSN2 | 30.5 | 0.807 | 83.6 |
| NU2 | 28.5 | 1.063 | 288.7 |
| K2 | 30.1 | 1.623 | 219.7 |
| NO3 | 42.4 | 0.656 | 100.7 |
| MO3 | 42.9 | 1.801 | 117 |
| M3 | 43.5 | 0.622 | 203.6 |
| MK3 | 44 | 2.972 | 49 |
| SK3 | 45 | 1.267 | 291.7 |

คุณลักษณะของน้ำขึ้นน้ำลงที่เกาะหมู่



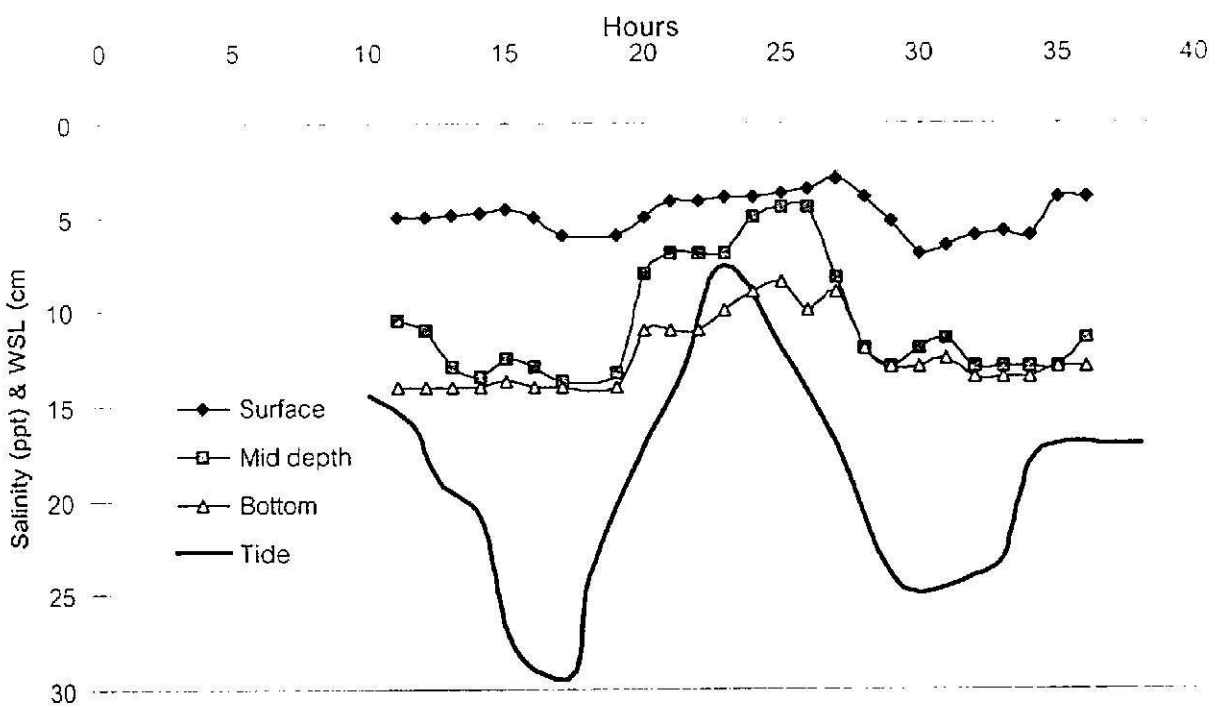
ความสัมพันธ์ระหว่างระดับน้ำและกระแสแน่น้ำที่บ้านเกาะนกวนที่ 21-22 เมษายน 2538

ที่มา: วินัย แสง สมบูรณ์ 2538



ความสัมพันธ์ระหว่างระดับน้ำและความเค็มที่บ้านเกาะนกวนที่ 21-22 เมษายน 2538

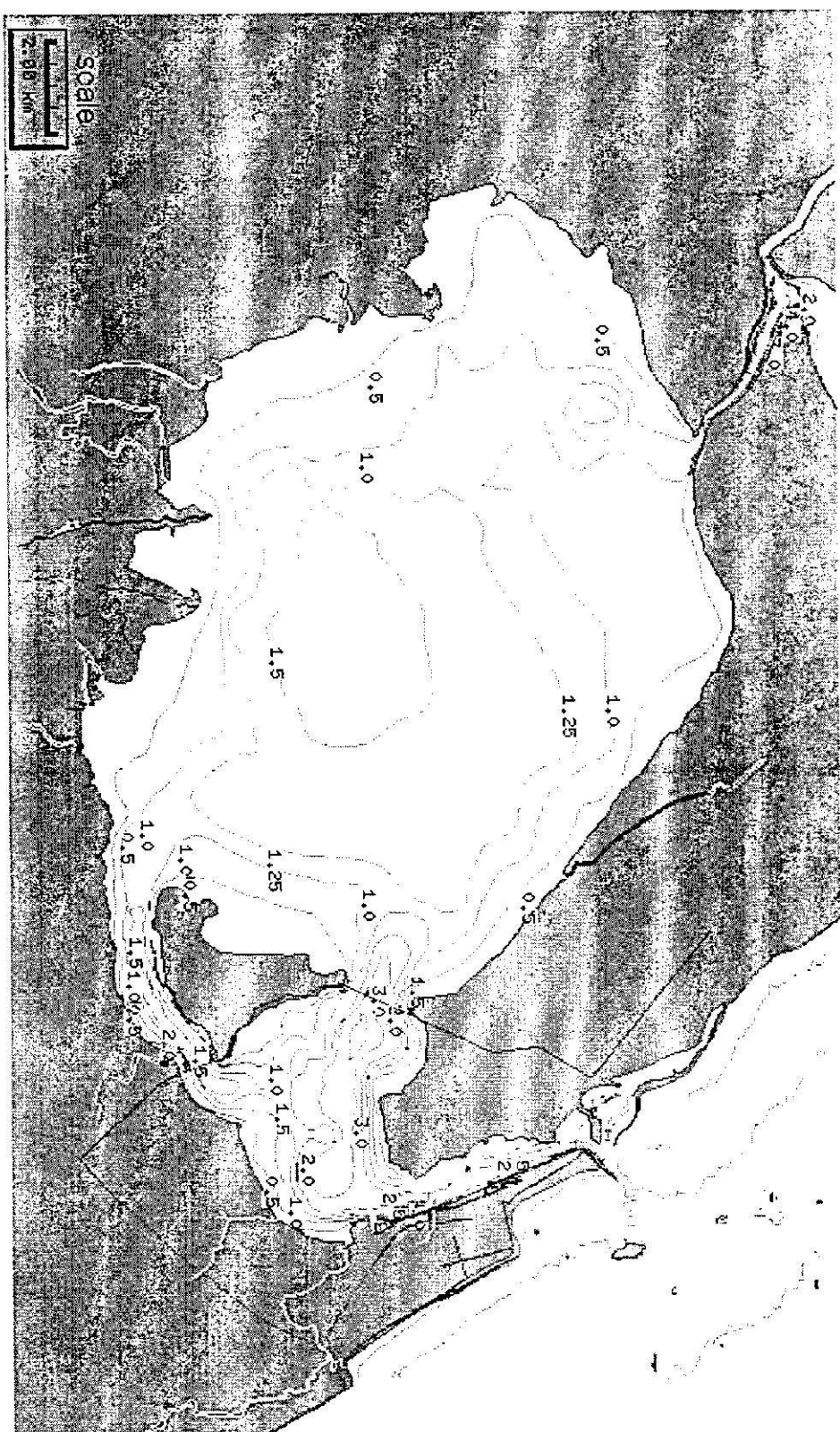
ที่มา: วินัย แสง สมบูรณ์ 2538



ภาคพนวก ค

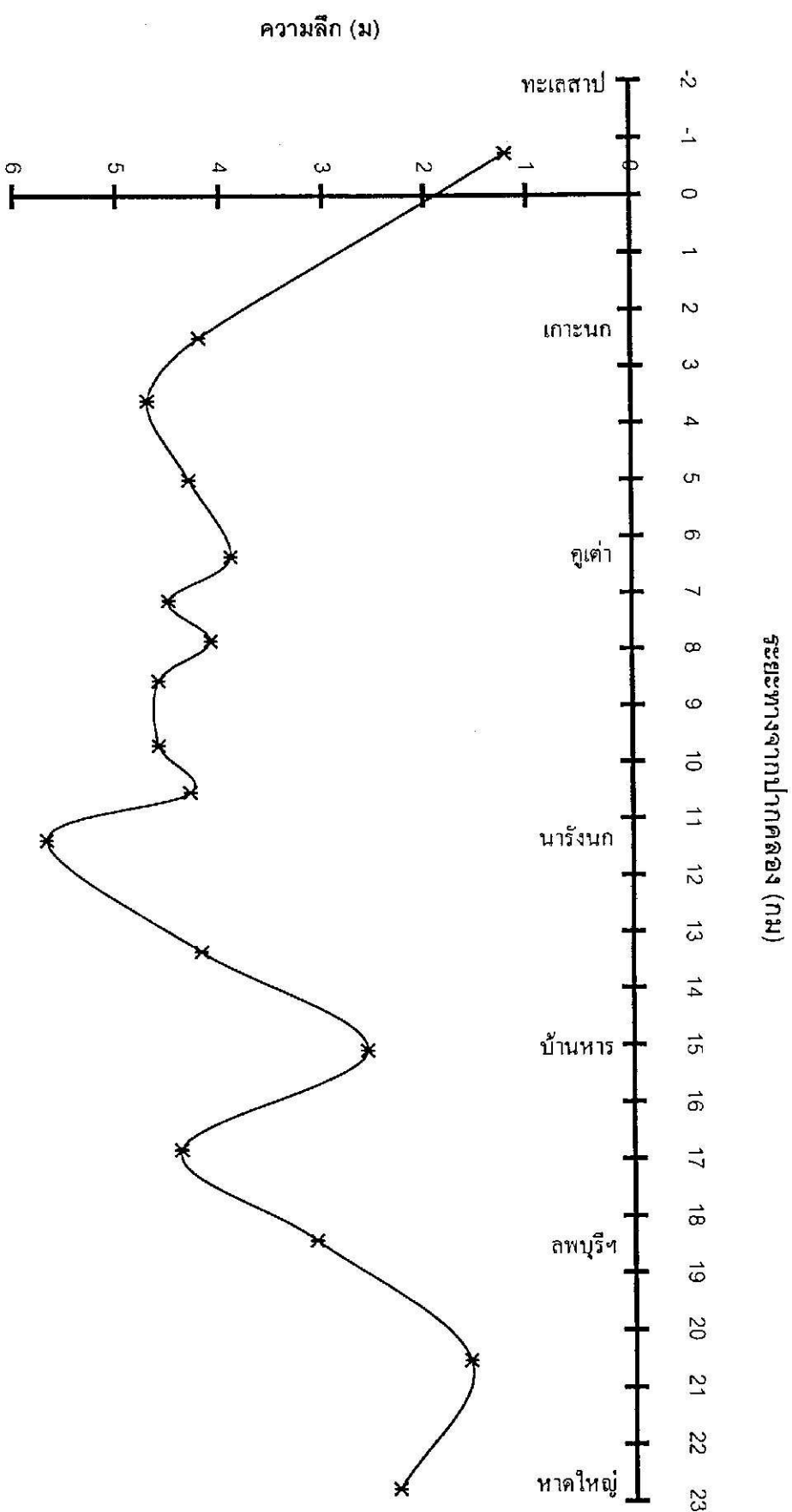
รูปทรงสัณฐานและความลึกของทะเลสาบสงขลา

ที่มา: สำราญโภค สมบูรณ์ พรพิเนศพงศ์ และทีมวิจัย 2541



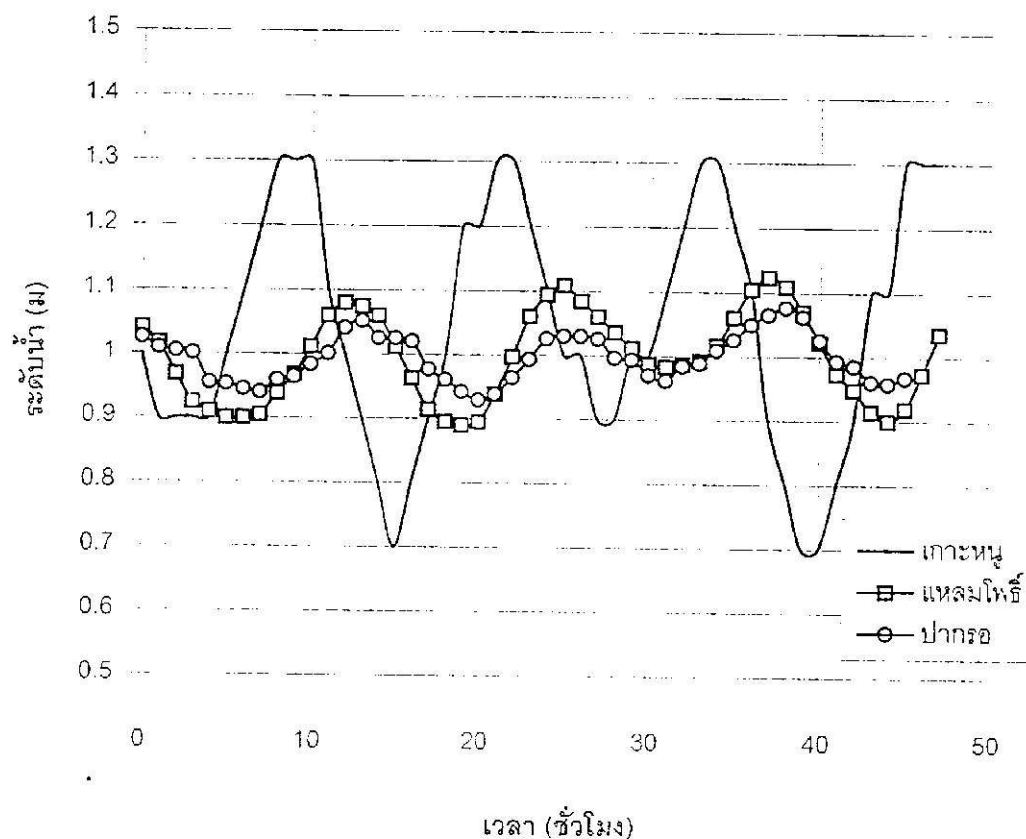
ความลึกตามแนวร่องน้ำจากปากคลองอู่ตະเกาถึงอ่าวน้ำหาดใหญ่

ที่มา: สำราญโดย สมบูรณ์ พรพินเดพวงศ์ และกมิลัง 2541



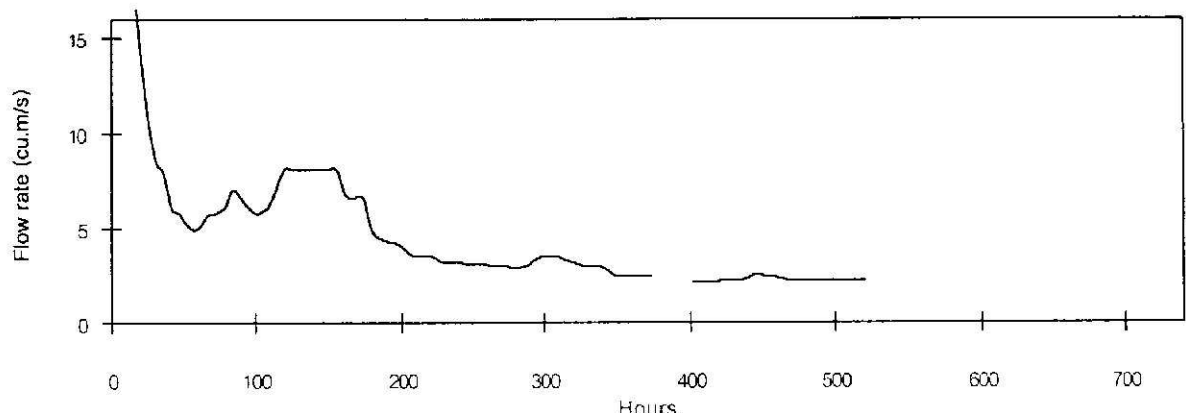
ภาคผนวก จ

ความสัมพันธ์ของน้ำชั้นน้ำลงวันที่ 4-5 มิถุนายน 2540
ที่เกาะหนู-แหลมโพธิ์-ปากกรอ

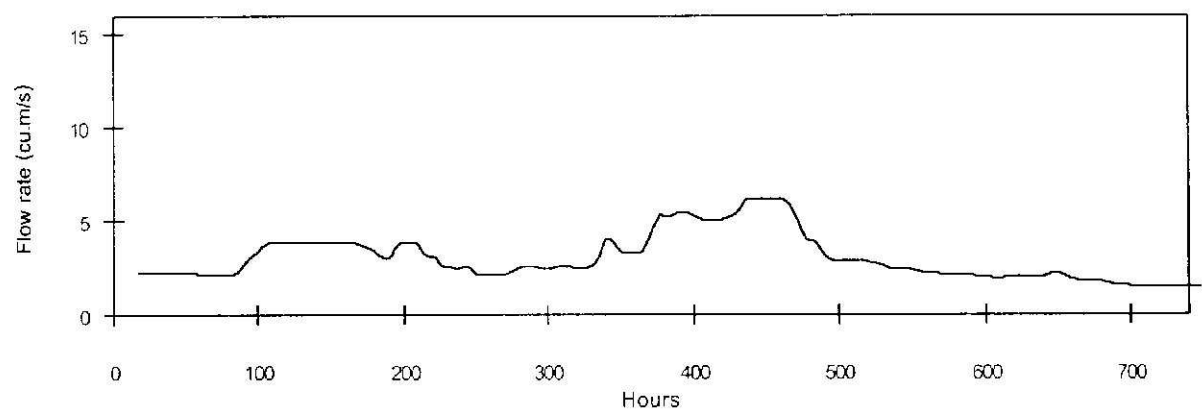


การไหลของน้ำท่าที่สถานี X90 ในฤดูแล้ง (เมษายน-สิงหาคม 2540)

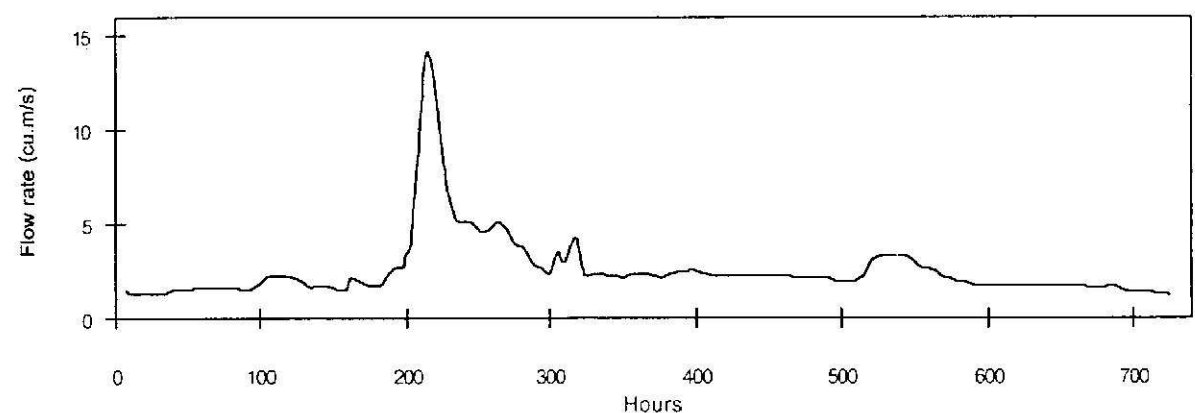
เมษายน



พฤษภาคม

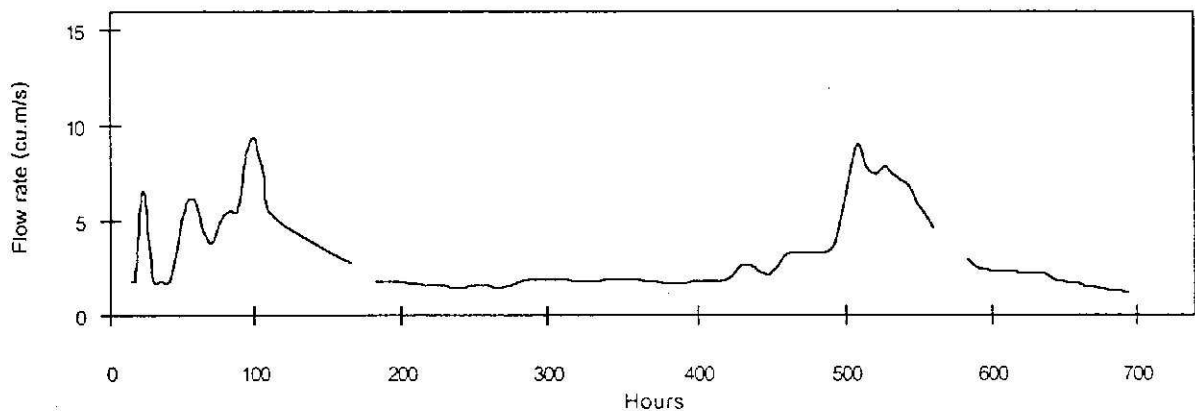


มิถุนายน

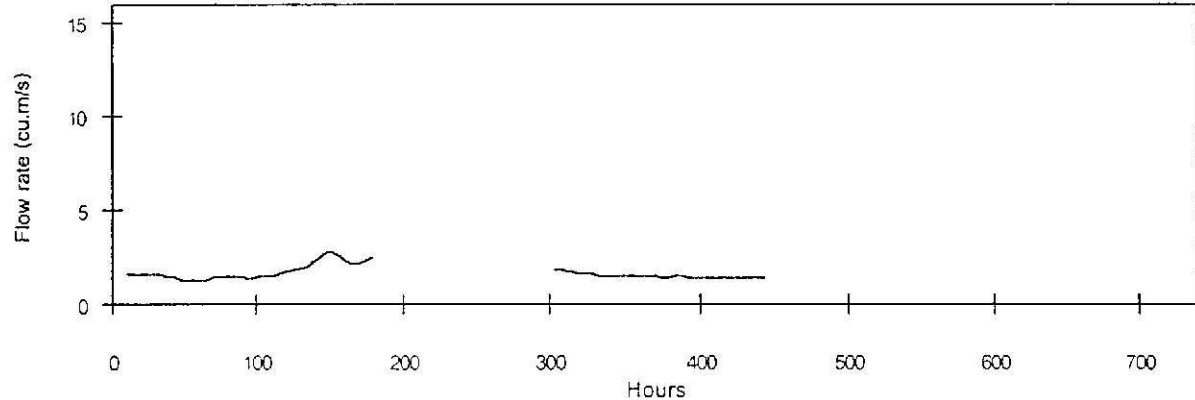


การไหลของน้ำท่าที่สถานี X90 ในฤดูแล้ง (เมษายน-สิงหาคม 2540)

กรกฎาคม

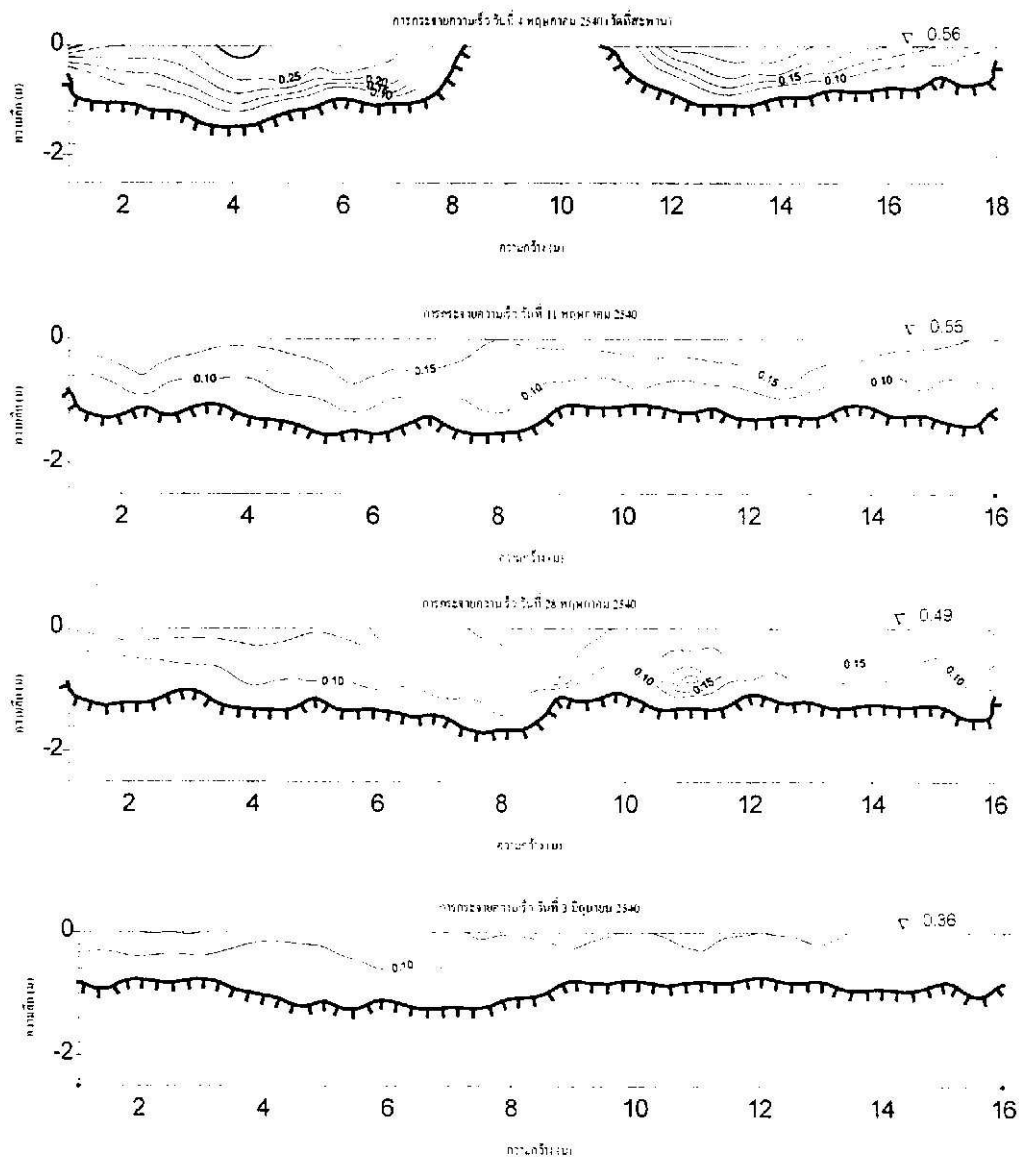


สิงหาคม

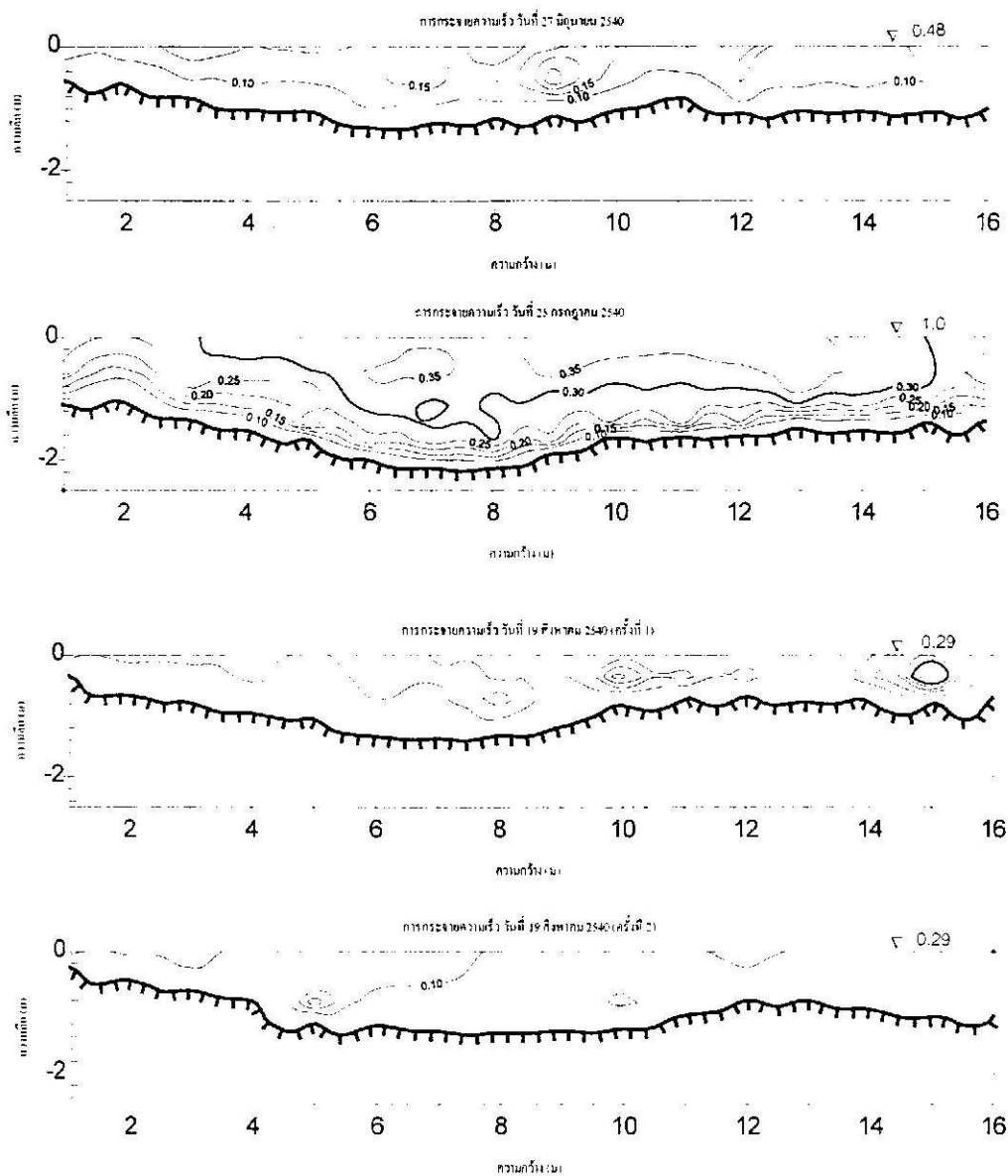


ภาคผนวก จ

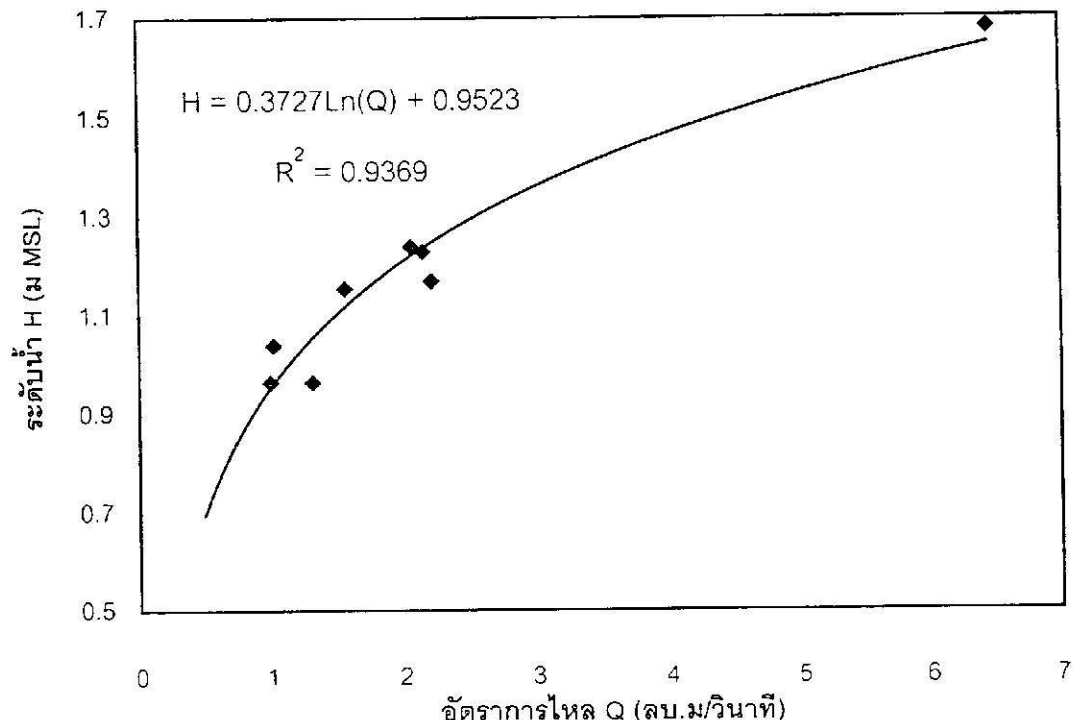
การกระจายความเร็วในคลองอู่ตะเภาที่สถานี X90 (บ้านบางค่าฯ)



การกระจายความเร็วในคลองอู่ตะเภาที่สถานี X90 (บ้านนางศาลา)

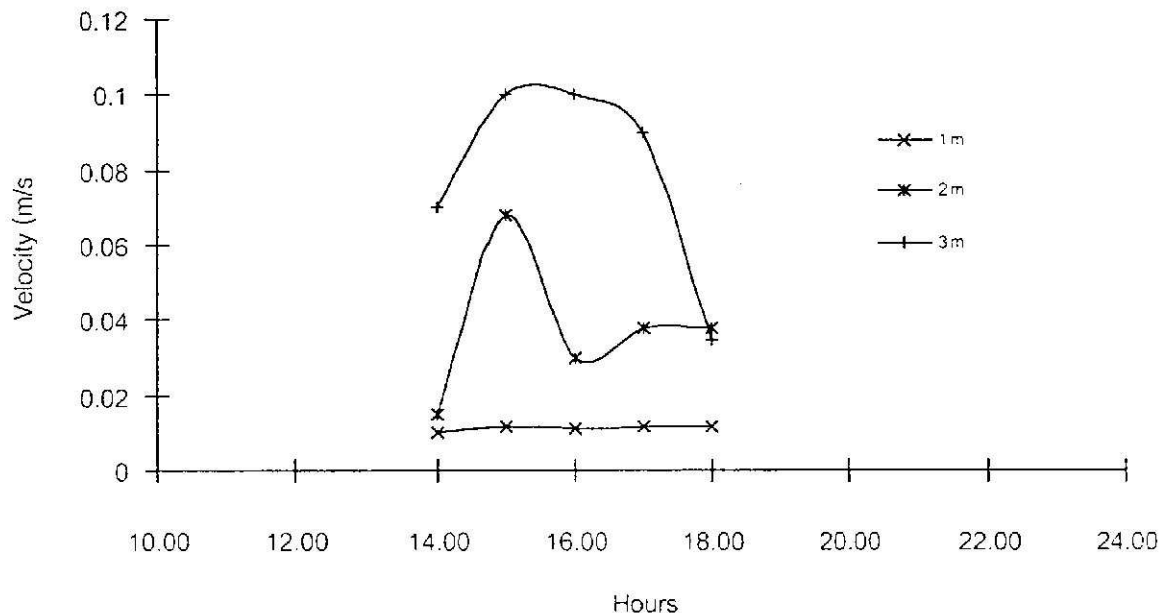


ความสัมพันธ์ระหว่างระดับน้ำและอัตราการไหลที่สถานี X90 (บ้านบางคลาน)

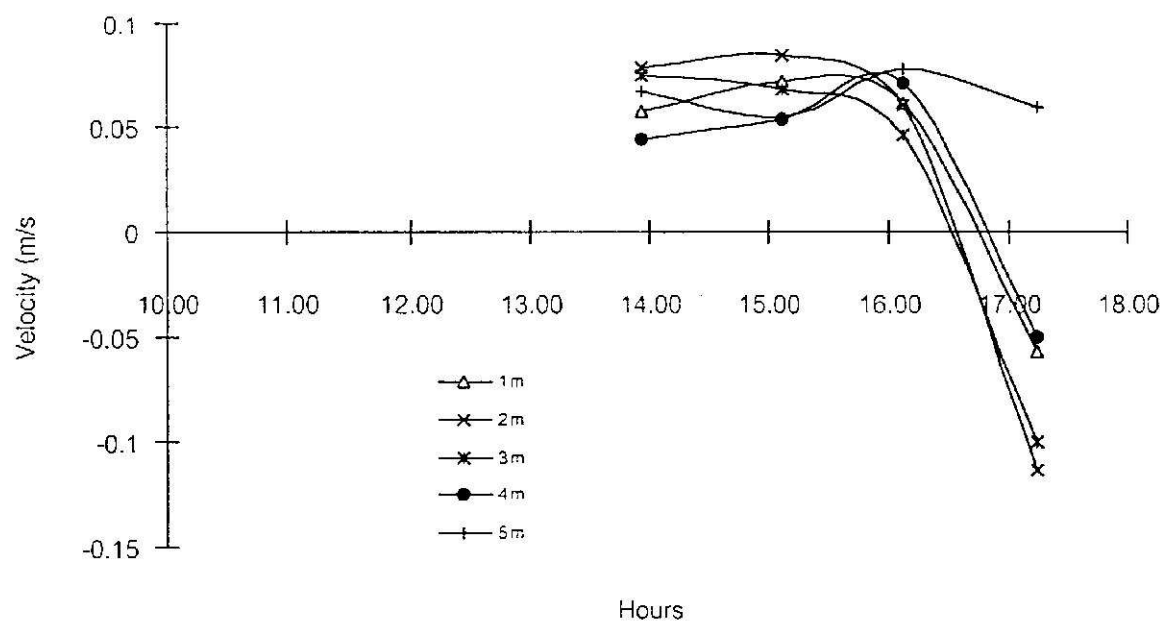


ภาคพนวก ณ

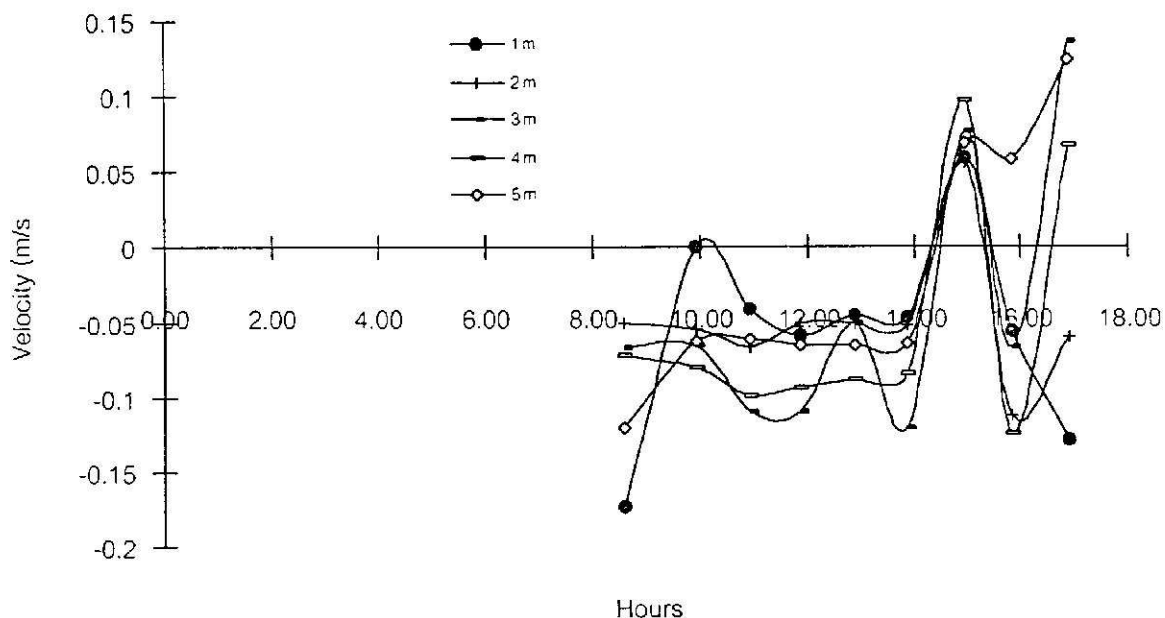
ความเร็วกระแสน้ำที่บ้านคุณ 11 พฤษภาคม 2540



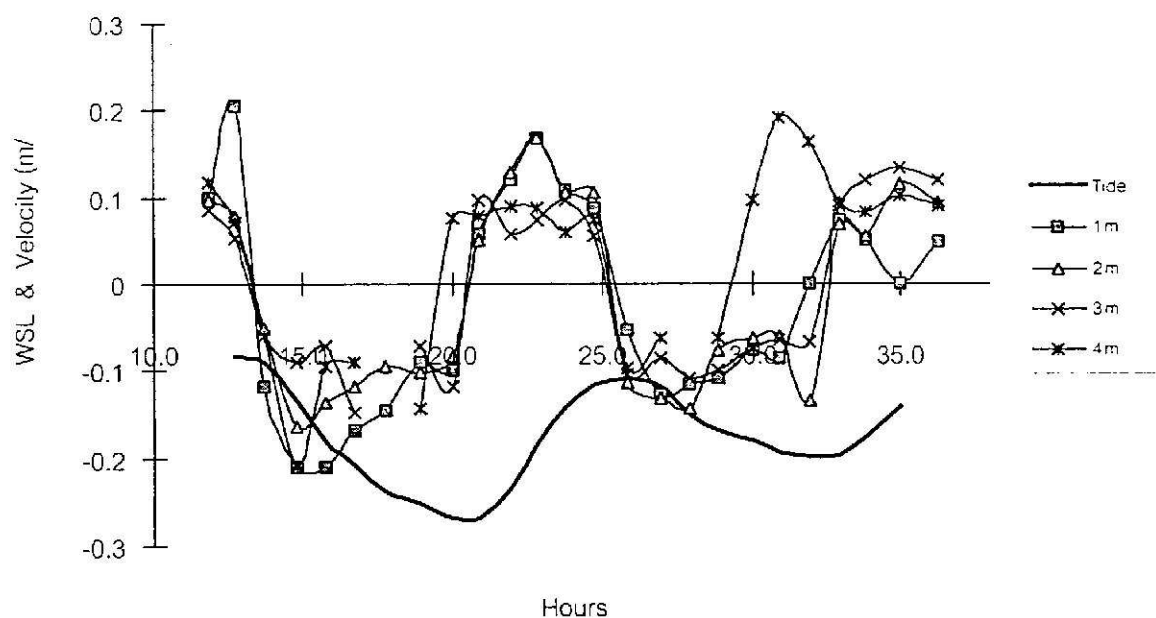
ความเร็วกระแสน้ำที่บ้านนารังนก 11 พฤษภาคม 2540



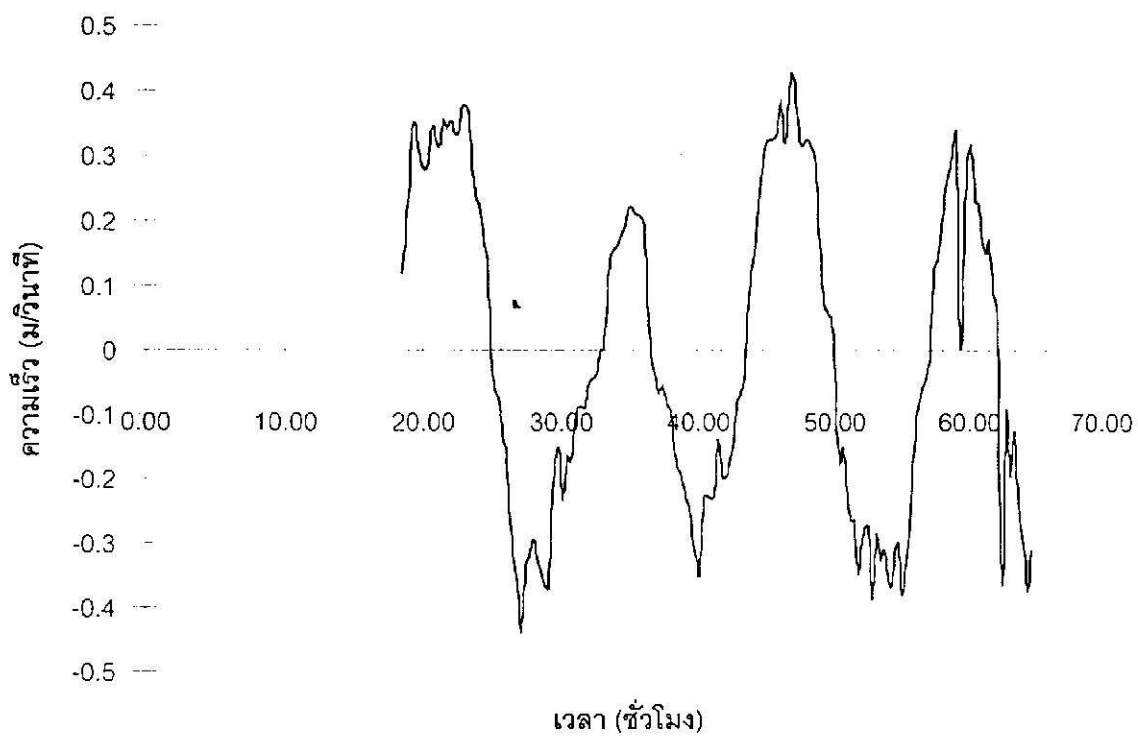
ความเร็วกระแสน้ำที่บ้านนารังนก 31 พฤษภาคม 2540



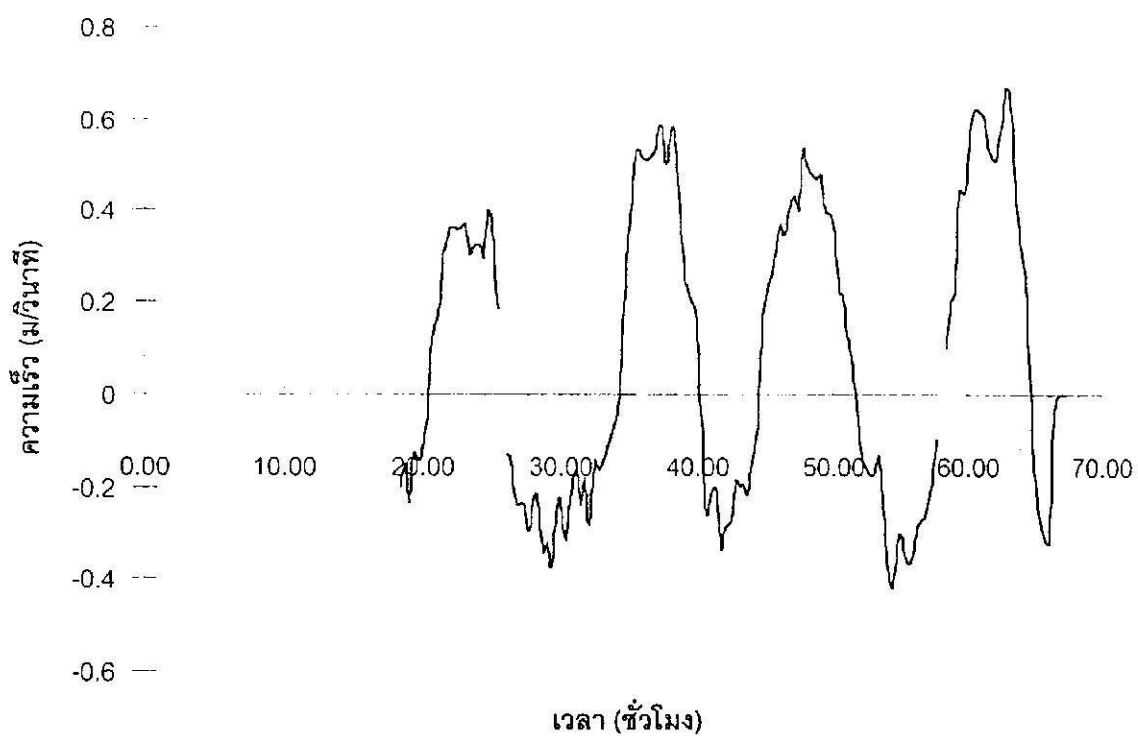
ความสัมพันธ์ระหว่างระดับน้ำและความเร็วกระแสน้ำที่บ้านนารังนก 17-18 สิงหาคม 2540



ความเร็วกระแสน้ำที่ความลึก 2 ม วันที่ 28-29 มิถุนายน 2540 ที่กีดกั้นของเกาะยอ



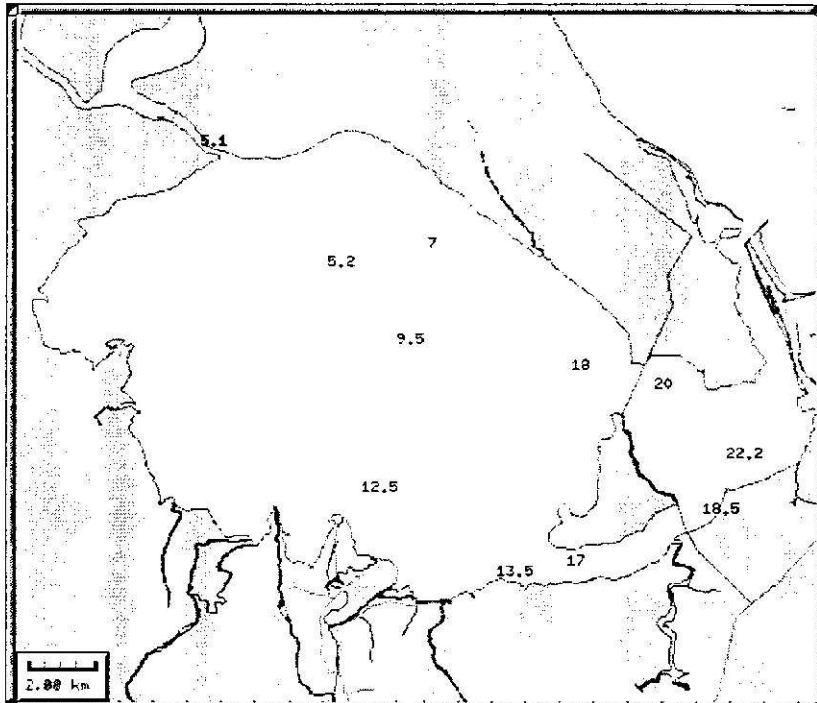
ความเร็วกระแสน้ำที่ความลึก 2 ม วันที่ 29-1 กรกฎาคม 2540 ที่กีดกั้นของเกาะยอ



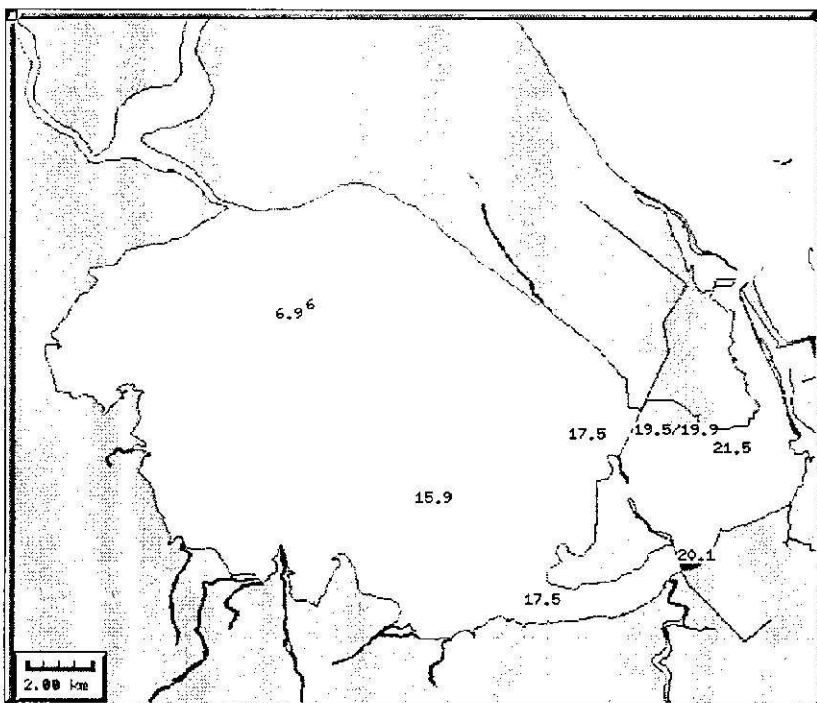
ภาคผนวก ช

การสำรวจความเค็มรายเดือนในทะเลสาบสงขลา

วันที่ 12 เมษายน 2540

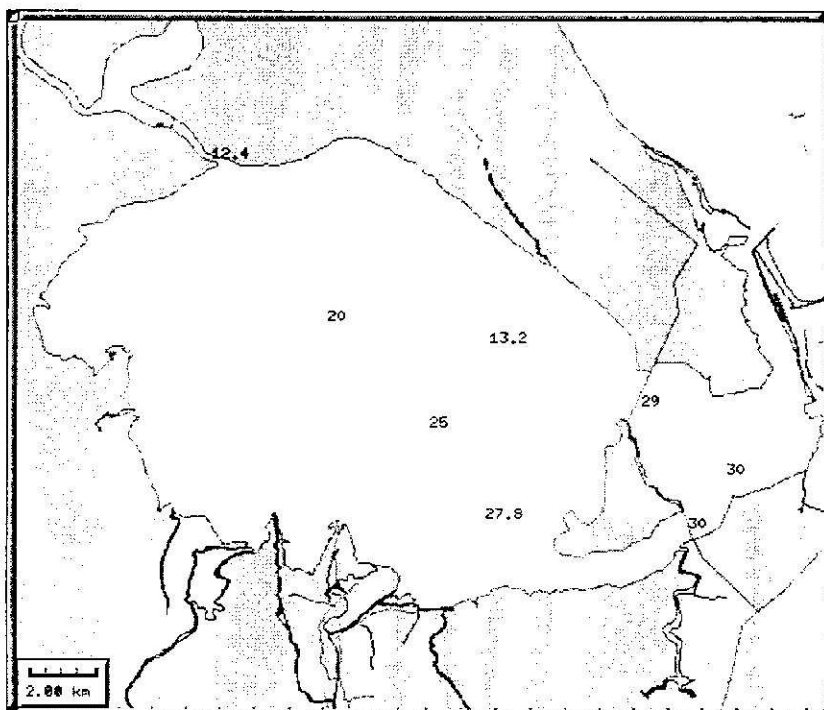


วันที่ 18 พฤษภาคม 2540

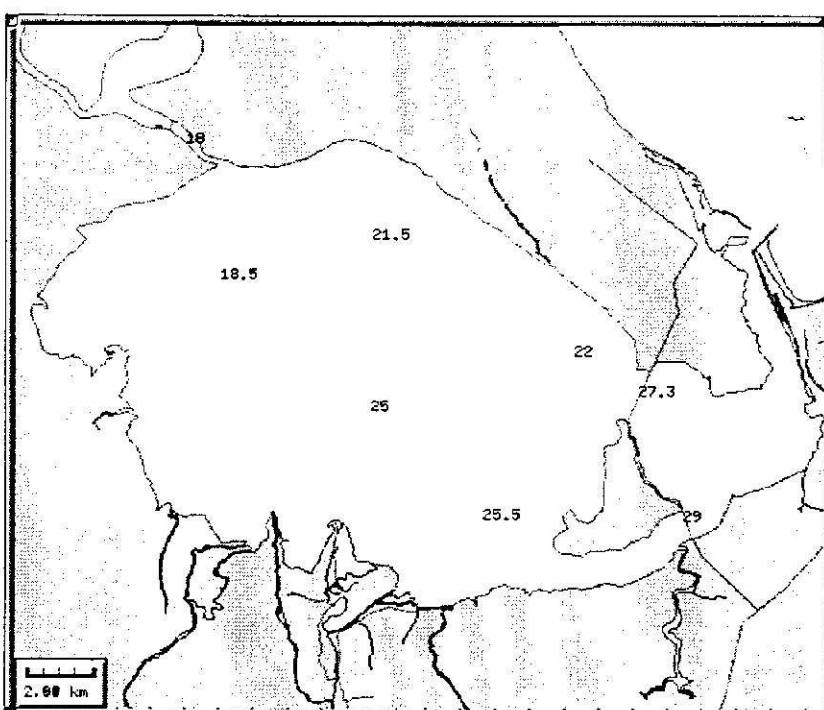


การสำรวจความเค็มรายเดือนในทะเลสาบสงขลา

วันที่ 14 มิถุนายน 2540

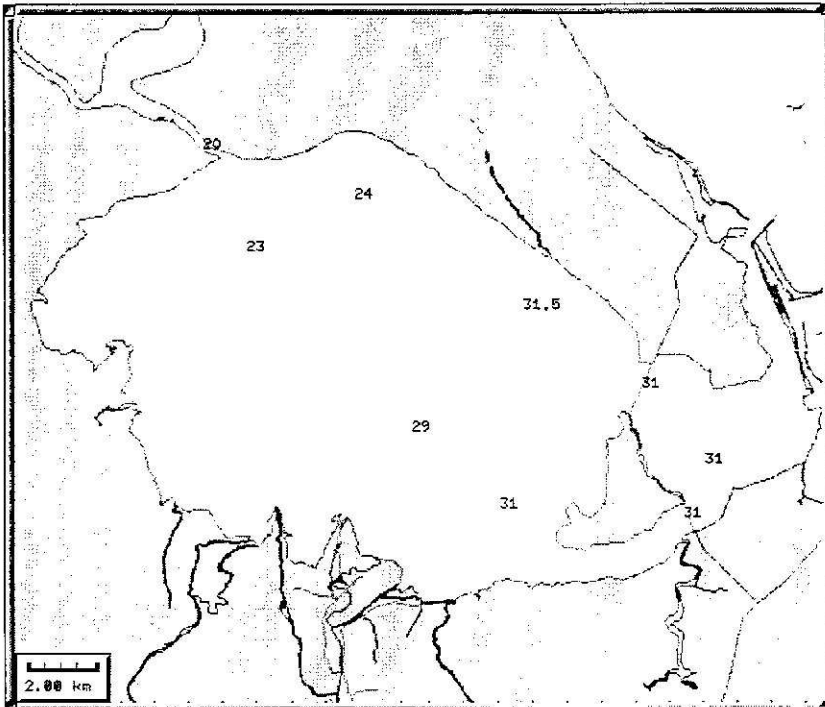


วันที่ 21 มิถุนายน 2540

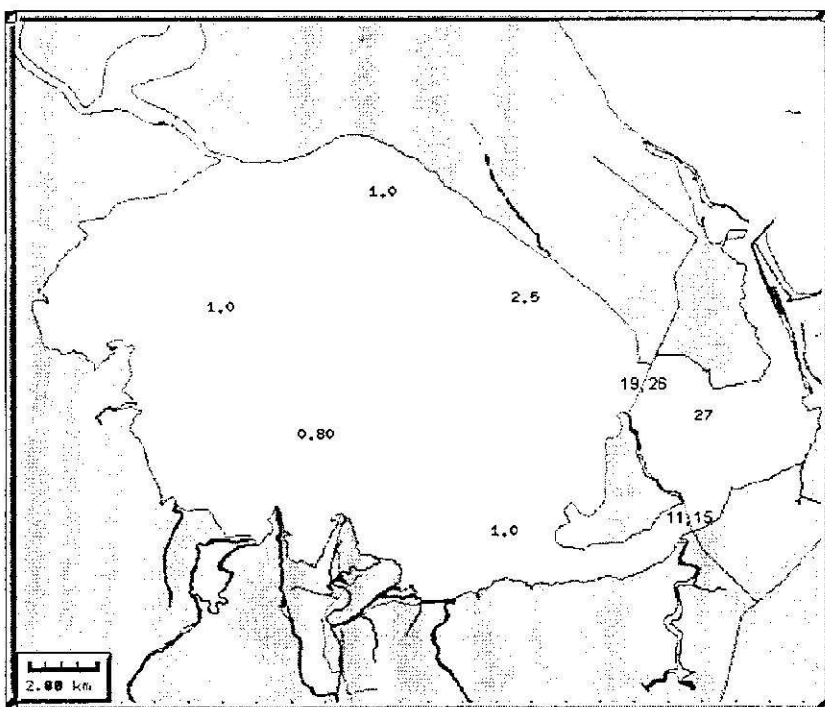


การสำรวจความเกี่ยวข้องเดือนในทะเบียนปางคลา

วันที่ 14 กรกฎาคม 2540

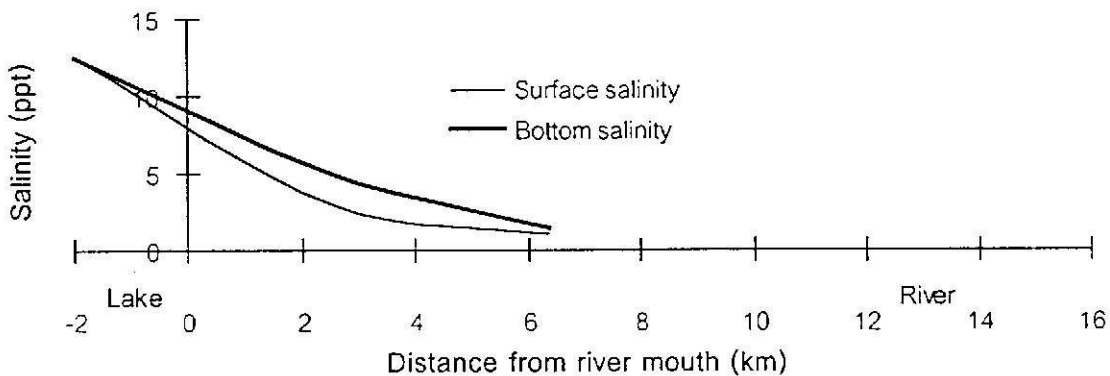


วันที่ 17 ตุลาคม 2540

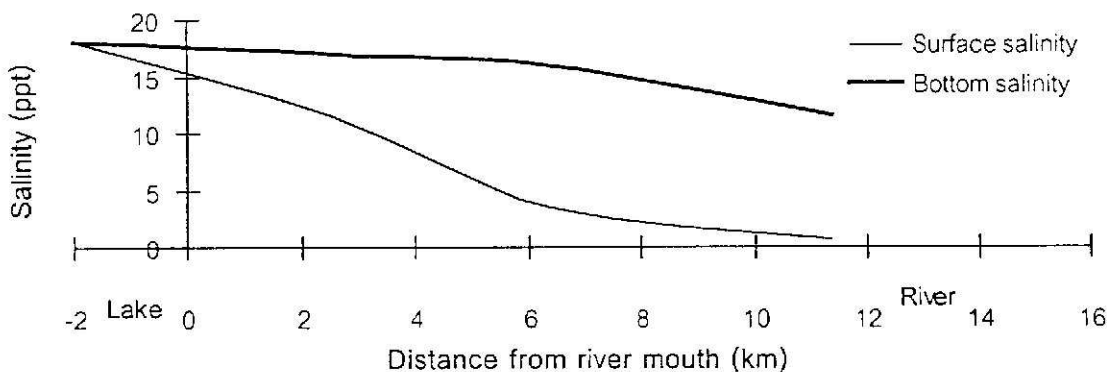


การรุกรานน้ำเค็มในคลองอุ่ตตะเภา

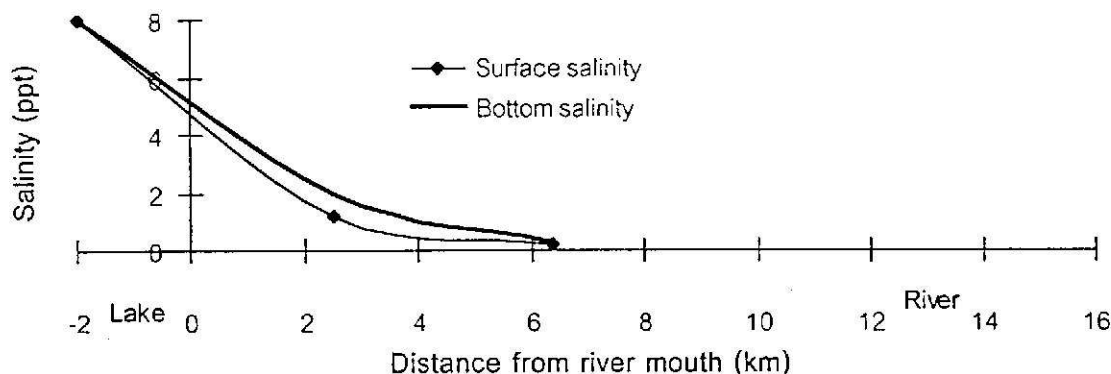
12 เมษายน 2540



4 พฤษภาคม 2540

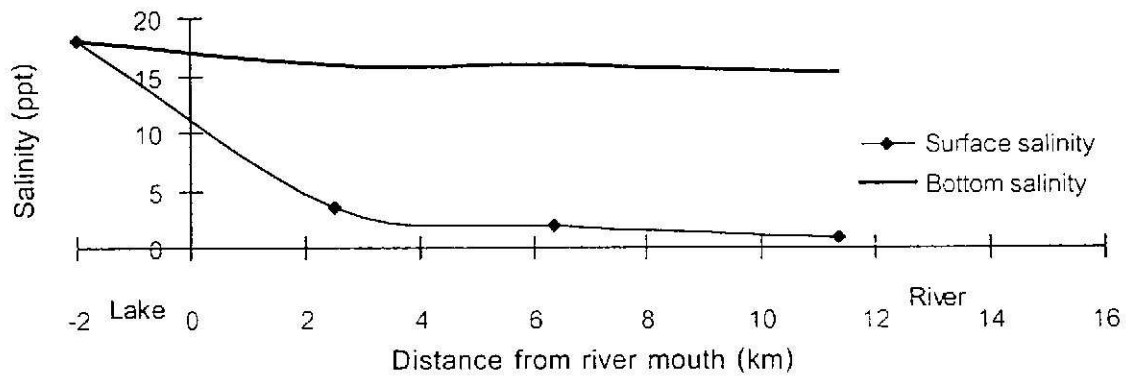


3 มิถุนายน 2540

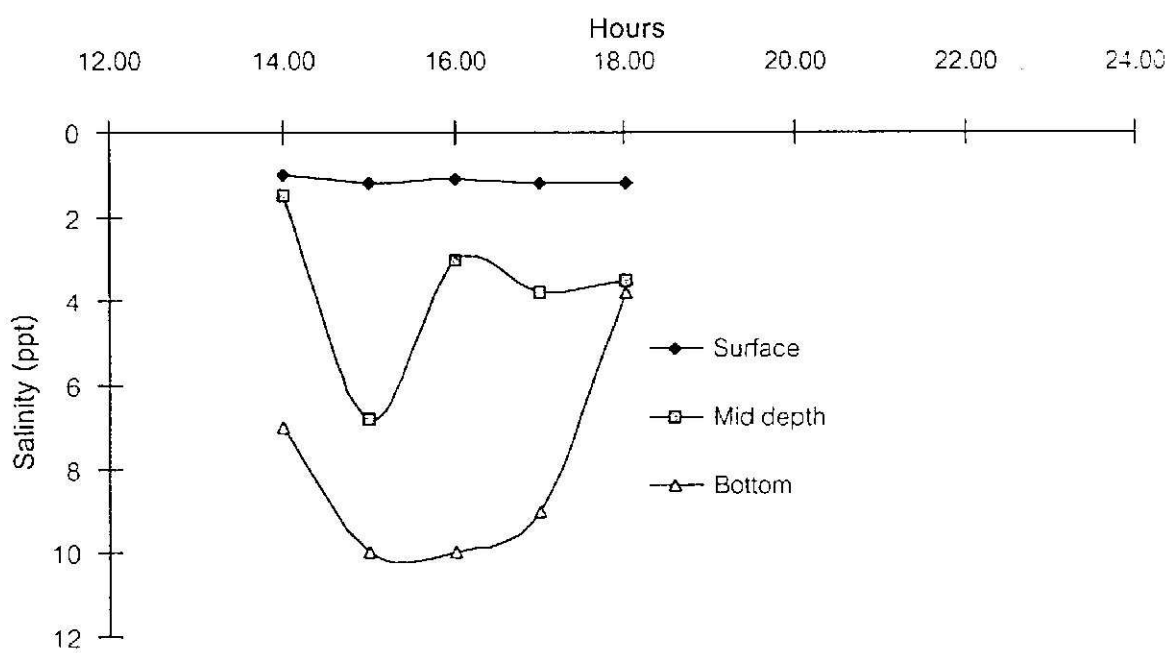


การรุกรานน้ำเค็มในคลองอู่ตะเภา

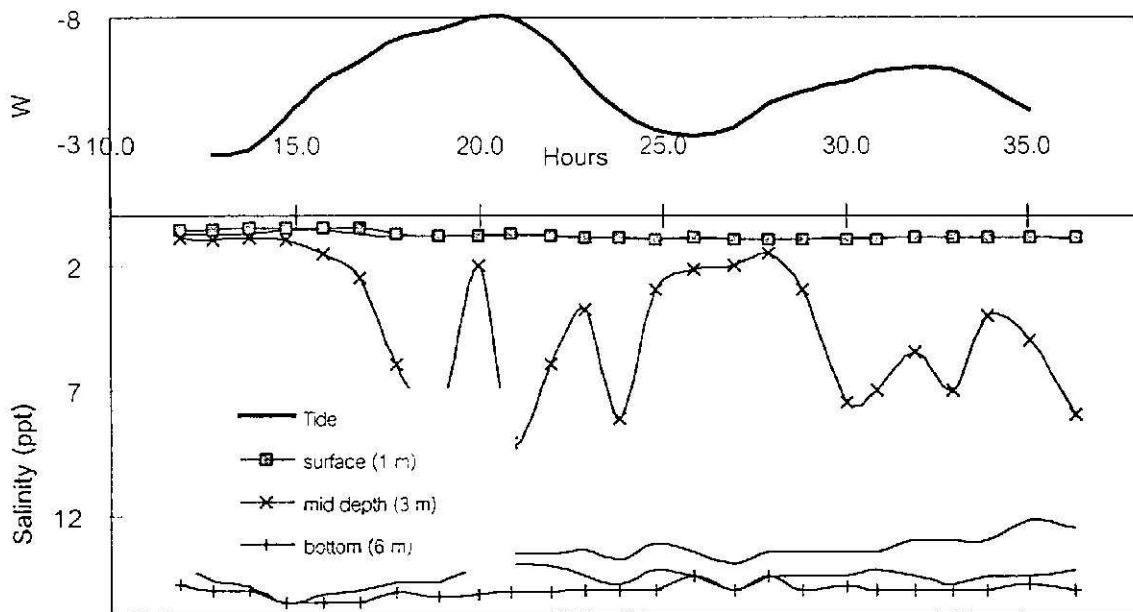
17 สิงหาคม 2540



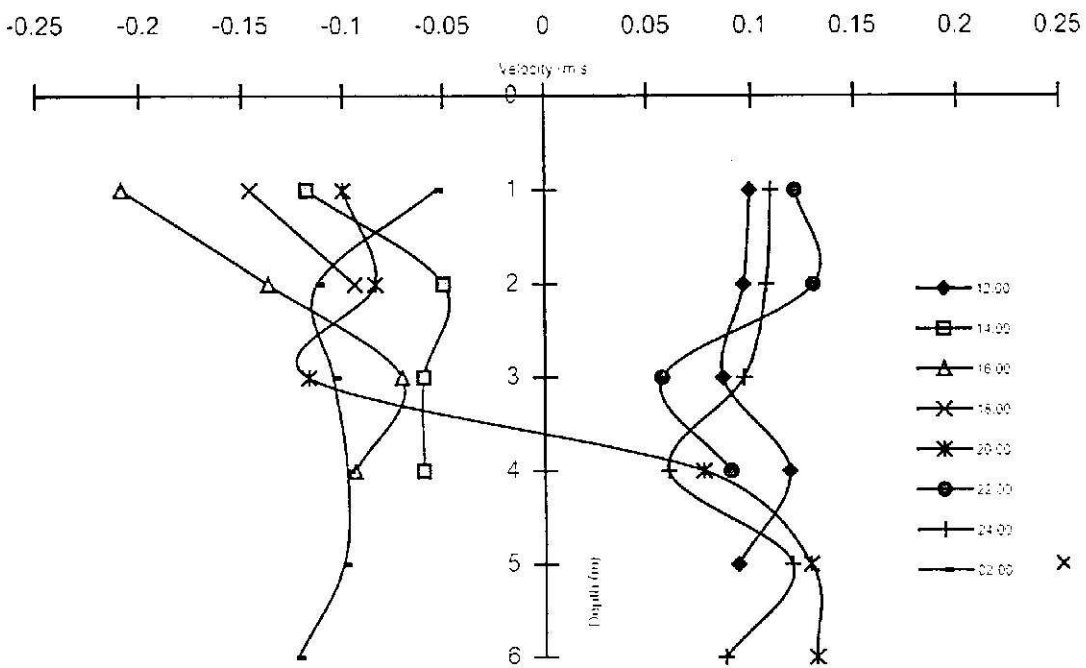
การผันแปรของความเค็มกับเวลาที่บ้านคู่ต่อ (กม +6) วันที่ 11 พฤษภาคม 2540



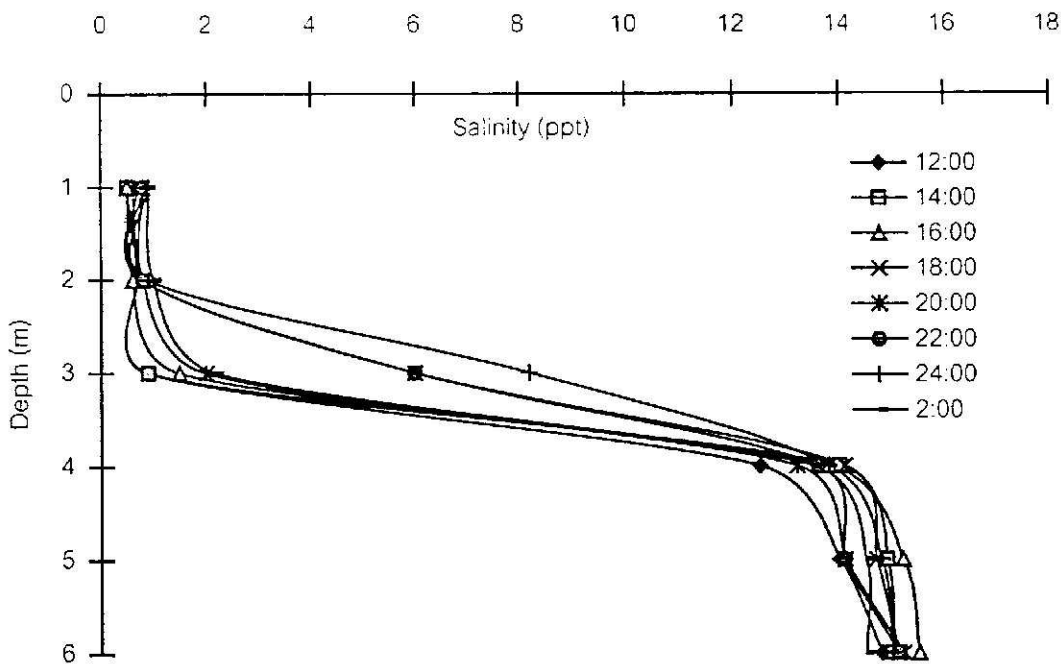
การผันแปรของความเค็มกับเวลาที่บ้านนารังนก (กม +11) วันที่ 17-18 สิงหาคม 2540



ลักษณะของความเร็วในแนวตั้งกับเวลาที่บ้านนารังนกวนที่ 17-18 สิงหาคม 2540



ลักษณะของความเก็บในแนวคิดกับเวลาที่บ้านนารังนกวันที่ 17-18 สิงหาคม 2540



ການພັນວັດ ດົມ

ESTUARINE LONGITUDINAL DISPERSION COEFFICIENTS

Dispersion coefficient

| Estuary | Flow (cfs) | (mi ² /day) | Reference |
|----------------------------------|--------------|--------------------------|--|
| Hudson River, NY | 5000 | 20 | Hydroscience (1971) |
| East River, NY | 0 | 10 | Hydroscience (1971) |
| Cooper River, SC | 10000 | 30 | Hydroscience (1971) |
| South River, NJ | 23 | 5 | Hydroscience (1971) |
| Houston Ship Channel, TX | 900 | 27 | Hydroscience (1971) |
| Cape Fear River, NC | 1000 | 2-10 | Hydroscience (1971) |
| Compton Creek, NJ | 10 | 1 | Hydroscience (1971) |
| Wappinger and Fishkill Creek, NY | 2 | 0.5-1 | Hydroscience (1971) |
| River Foyle, N. Ireland | 250 | 5 | Hydroscience (1971) |
| Delaware River, upper | | 2-7 | Thomann (1972) |
| Delaware River, lower | | 7-11 | Thomann (1972) |
| Potomac River, upper | | 0.6-6 | Thomann (1972) |
| Potomac River, lower | | 6-10 | Thomann (1972) |
| Narrows of Mercey | | 4.4-12 | Tetra-Tech (1978) |
| San Francisco Bay, southern | | 0.6-6 | Tetra-Tech (1978) |
| San Francisco Bay, northern | | 1.5-62 | Tetra-Tech (1978) |
| Rio Quayas, Ecuador | | 25 | Fischer et al. (1979) Thames River, England, low flow |
| Thames River, England, high flow | | 1.8-2.8 | Fischer et al. (1979) |
| Thames River, England, high flow | | 11 | Fischer et al. (1979) |

ຖົນ : Thomann, R.V and Mueller J.A., 19--

สมการแบบจำลองคณิตศาสตร์แบบ 2 มิติ ในรูปของ Curvilinear Coordinates

พิกัดในแนวนอนจาก physical coordinates สามารถแปลงให้อยู่ในรูปของ curvilinear coordinates (ξ, η) (Spaulding, 1984 และ Swanson, 1986) ได้ดังนี้

กฎทรงมวลของสาร

$$\frac{\partial \zeta}{\partial t} + \frac{1}{Jr \cos \theta} \frac{\partial (UH \cos \theta)}{\partial \xi} + \frac{1}{Jr \cos \theta} \frac{\partial (VH \cos \theta)}{\partial \eta} - VH \tan \theta = 0$$

สมการ โมเมนตัมในแนว ξ

$$\begin{aligned} \frac{\partial UH}{\partial t} + \frac{1}{J^2 r \cos^2 \theta} \theta_\eta [\frac{\partial (\cos^2 \theta (UH \phi_\xi + VH \phi_\eta))}{\partial \xi} + \frac{\partial (\cos^2 \theta (UH \phi_\xi + VH \phi_\eta))}{\partial \eta}] \\ - \frac{1}{J^2 r \cos^2 \theta} \phi_\eta [\frac{\partial (\cos^2 \theta (UH \theta_\xi + VH \theta_\eta))}{\partial \xi} + \frac{\partial (\cos^2 \theta (UH \theta_\xi + VH \theta_\eta))}{\partial \eta}] \\ = \frac{\tau_\xi}{\rho_0} \end{aligned}$$

สมการ โมเมนตัมในแนว η

$$\begin{aligned} \frac{\partial VH}{\partial t} - \frac{1}{J^2 r \cos^2 \theta} \theta_\xi [\frac{\partial (\cos^2 \theta (UH \phi_\xi + VH \phi_\eta))}{\partial \xi} + \frac{\partial (\cos^2 \theta (UH \phi_\xi + VH \phi_\eta))}{\partial \eta}] \\ - \frac{1}{J^2 r \cos^2 \theta} \phi_\xi [\frac{\partial (\cos^2 \theta (UH \theta_\xi + VH \theta_\eta))}{\partial \xi} + \frac{\partial (\cos^2 \theta (UH \theta_\xi + VH \theta_\eta))}{\partial \eta}] \\ = \frac{\tau_\eta}{\rho_0} \end{aligned}$$

เมื่อ U, V = contra-variance velocities in ξ and η -direction

$$J = \text{Jacobian} = \phi_\xi \theta_\eta - \phi_\eta \theta_\xi$$

สมการการเคลื่อนที่ของความเค็มแบบ 2 มิติ ในรูปของ curvilinear Coordinates

$$\frac{\partial s}{\partial t} + \frac{1}{Jr} \frac{U \partial s J}{\partial \xi} + \frac{1}{Jr} \frac{V \partial s J}{\partial \eta} = \frac{D_H}{J^2 r^2 \cos^2 \theta} (G_{22} s_{\xi\xi} - 2G_{12} s_{\xi\eta} + G_{11} s_{\eta\eta}) - D_H \tan \theta \frac{\partial s}{\partial \theta}$$

เมื่อ G_{ij} คือ metric coefficients

$$G_{11} = \theta_\xi^2 + \phi_\xi^2 \cos^2 \theta$$

$$G_{12} = \theta_\xi \theta_\eta + \phi_\xi \phi_\eta \cos^2 \theta$$

$$G_{22} = \theta_\eta^2 + \phi_\eta^2 \cos^2 \theta$$

แบบจำลองทางอุทกศาสตร์แบบ 3 มิติ (3-D curvilinear coordinate model of hydrodynamics)

สมการสมูกรศาสตร์แบบ 3 มิติ ในที่นี้ เลือกใช้ coordinates ใน 2 ลักษณะคือ ในแนวตั้งเป็น sigma coordinate (σ) และในแนวนอนเป็น curvilinear coordinates รายละเอียดของสมการที่ได้จาก transformation ดังนี้

กฎการมวลของสาร

$$\frac{\partial \zeta}{\partial t} + \frac{1}{Jr \cos \theta} \frac{\partial (uHJ \cos \theta)}{\partial \xi} + \frac{1}{Jr \cos \theta} \frac{\partial (vHJ \cos \theta)}{\partial \eta} - \frac{vH}{r} \tan \theta + \frac{\partial wH}{\partial \sigma} = 0$$

เมื่อ $\sigma = \frac{(z + \zeta)}{H}$

$$w = \frac{d\sigma}{dt} = \frac{1}{H} (w - \sigma \frac{dH}{dt} + \frac{d\zeta}{dt})$$

สมการโมเมนตัมในแนว ξ

$$\begin{aligned} \frac{\partial uH}{\partial t} &+ \frac{1}{Jr \cos^2 \theta} \theta_\eta [\frac{\partial (\cos^2 \theta (uuHJ \phi_\xi + uvHJ \phi_\eta))}{\partial \xi} + \frac{\partial (\cos^2 \theta (uvHJ \phi_\xi + vvHJ \phi_\eta))}{\partial \eta}] \\ &- \frac{1}{Jr \cos^2 \theta} \phi_\eta [\frac{\partial (\cos^2 \theta (uuHJ \theta_\xi + uvHJ \theta_\eta))}{\partial \xi} + \frac{\partial (\cos^2 \theta (uvHJ \theta_\xi + vvHJ \theta_\eta))}{\partial \eta}] \\ &= - \frac{H}{\rho_0 r \cos \theta} \frac{\partial p + 3\tau_r \xi}{\partial \xi} - \frac{1}{\rho_0} \frac{\partial \tau_r \xi}{\partial \sigma} \end{aligned}$$

สมการโมเมนตัมในแนว η

$$\begin{aligned} \frac{\partial vH}{\partial t} &+ \frac{1}{Jr \cos^2 \theta} \theta_\xi [\frac{\partial (\cos^2 \theta (uuHJ \phi_\xi + uvHJ \phi_\eta))}{\partial \xi} + \frac{\partial (\cos^2 \theta (uvHJ \phi_\xi + vvHJ \phi_\eta))}{\partial \eta}] \\ &- \frac{1}{Jr \cos^2 \theta} \phi_\xi [\frac{\partial (\cos^2 \theta (uuHJ \theta_\xi + uvHJ \theta_\eta))}{\partial \xi} + \frac{\partial (\cos^2 \theta (uvHJ \theta_\xi + vvHJ \theta_\eta))}{\partial \eta}] \\ &= - \frac{H}{\rho_0 r \cos \theta} \frac{\partial p + 3\tau_r \eta}{\partial \xi} - \frac{1}{\rho_0} \frac{\partial \tau_r \eta}{\partial \sigma} \end{aligned}$$

ตัวแปรในสมการมีความหมายดังต่อไปนี้

u, v = contra-variance velocities in ξ and η -direction

w = vertical velocity in σ -direction

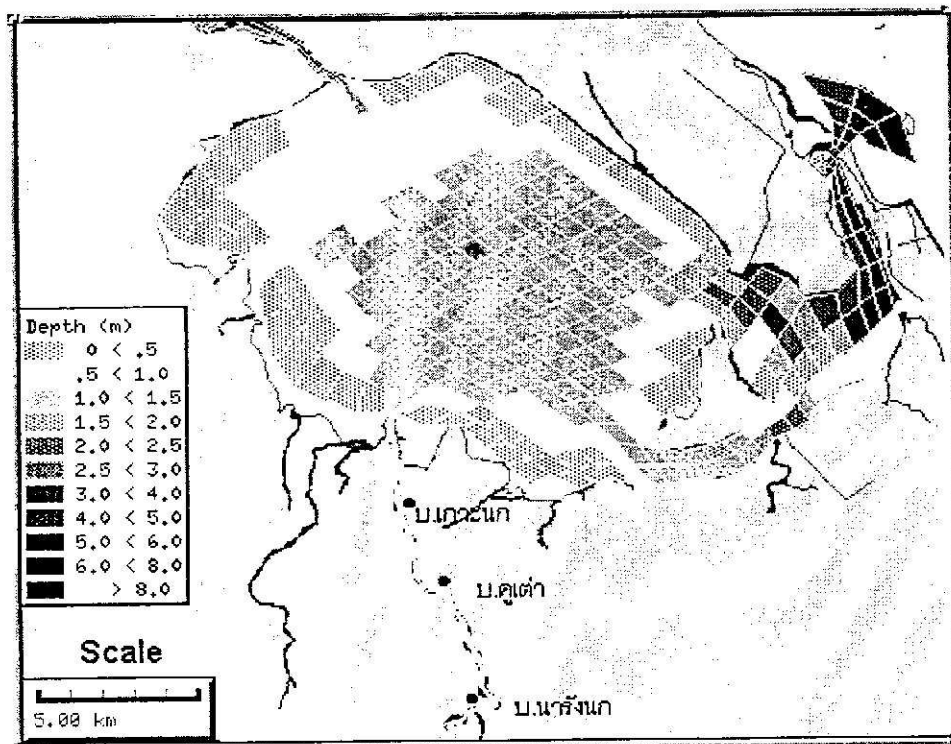
แบบจำลองการเคลื่อนที่ของความเค็มแบบ 3 มิติ (3-D model of salt transport)

ในรูปของ curvilinear coordinates คือ

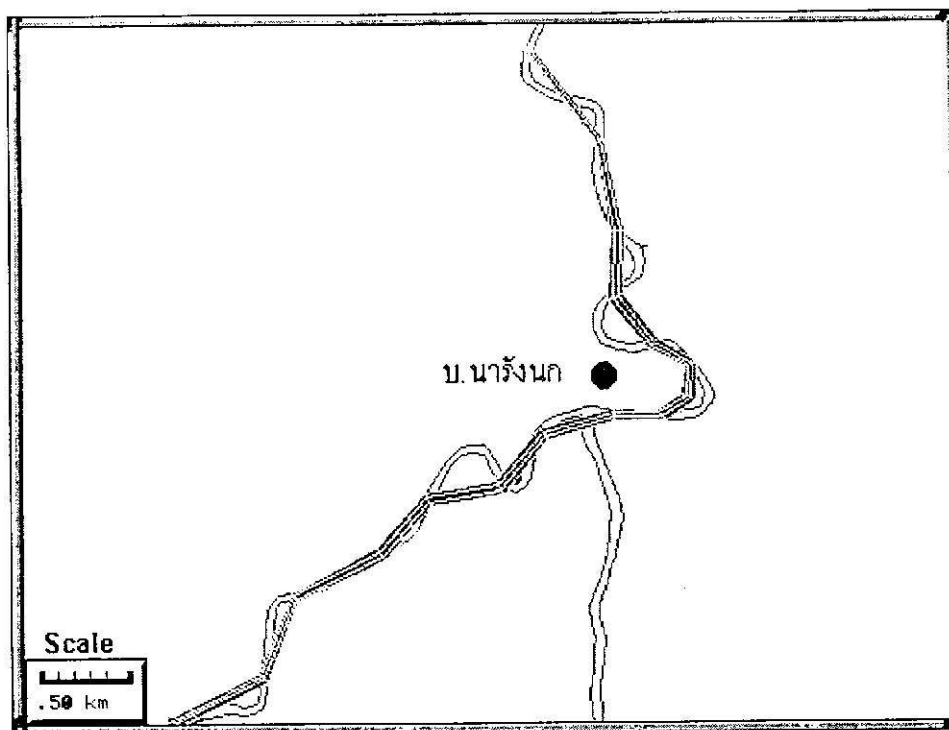
$$\frac{\partial s}{\partial t} + \frac{1}{J_r} \frac{u \partial s J}{\partial \xi} + \frac{1}{J_r} \frac{v \partial s J}{\partial \eta} + \frac{1}{H} \frac{w \partial s}{\partial \sigma} = \frac{D_H}{J_r^2 r \cos \theta} (G_{22} s_{\xi\xi} - 2G_{12} s_{\xi\eta} + G_{11} s_{\eta\eta}) + \frac{1}{H} \frac{\partial}{\partial \sigma} (D_s \frac{\partial s}{\partial \sigma}) \\ + \frac{2}{rH} \frac{\partial s}{\partial \sigma} - \frac{D_H}{r} \tan \theta \frac{\partial s}{\partial \theta}$$

ภาคพนวก ภู

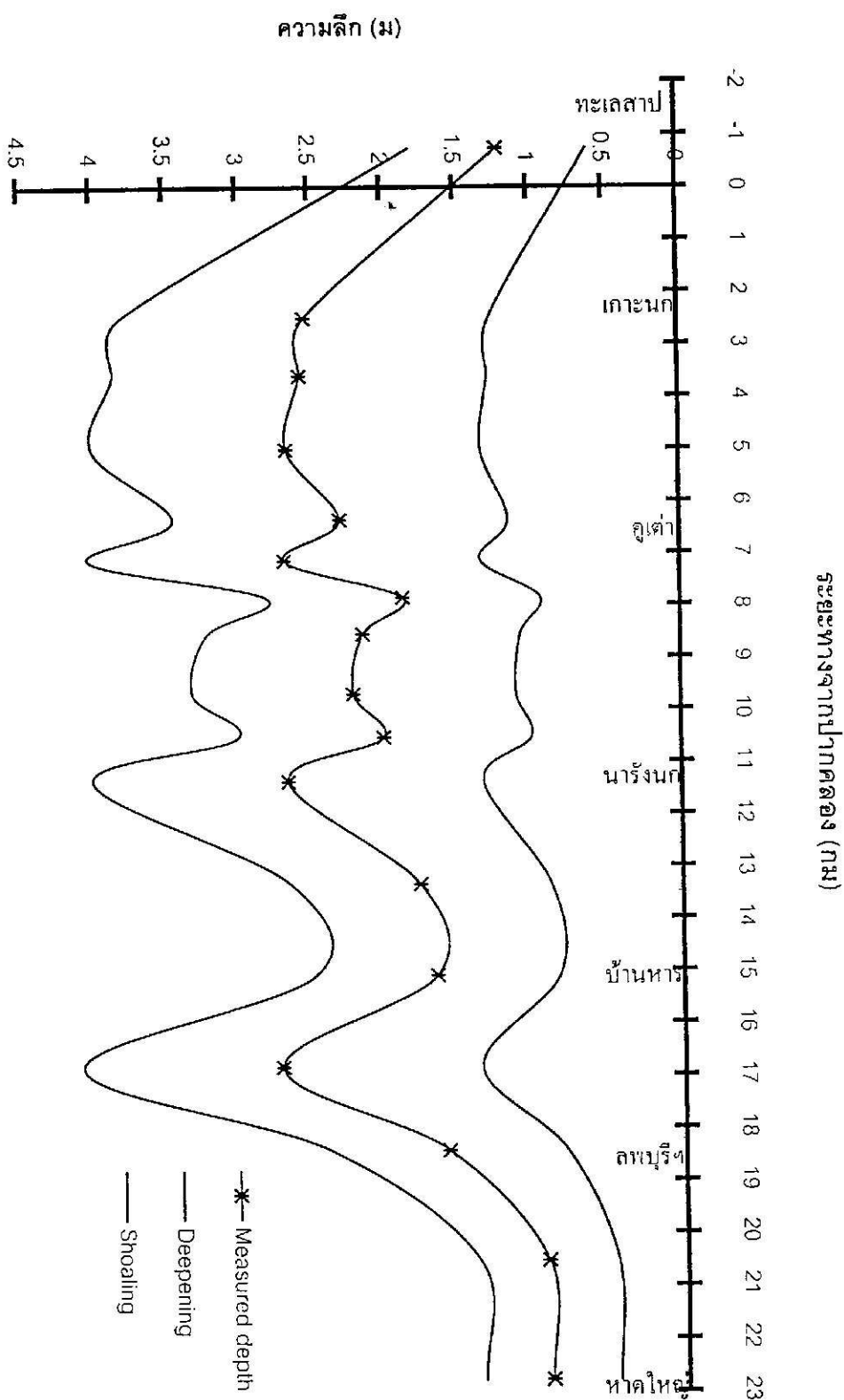
ขอบเขตของแบบจำลอง (Model domain)



แบบจำลองในส่วนของคลองอู่ตะเภา

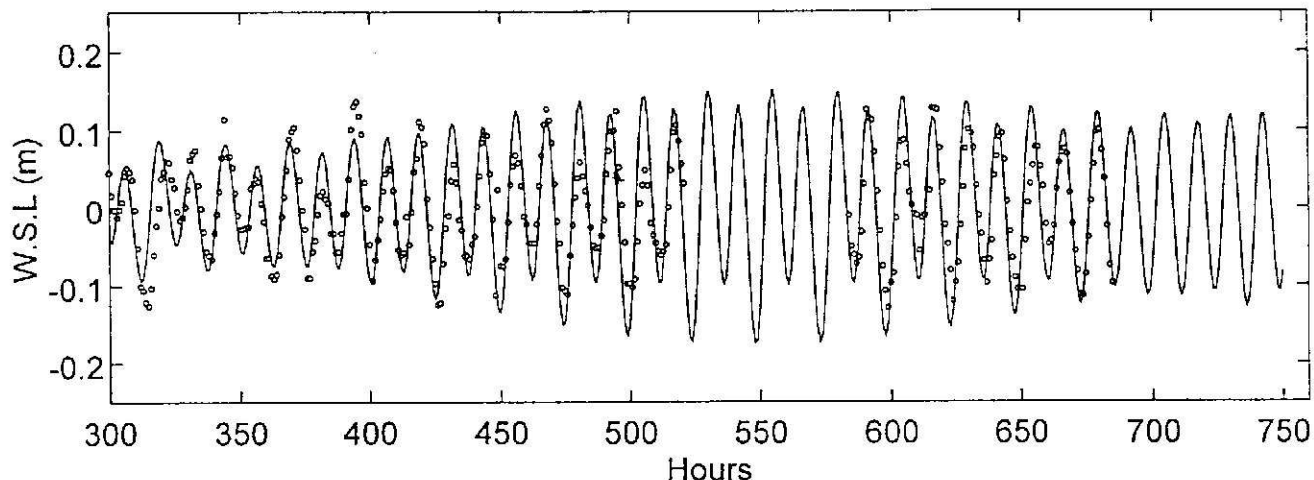


ความลึกที่ใช้ในแบบจำลองคอมพิวเตอร์



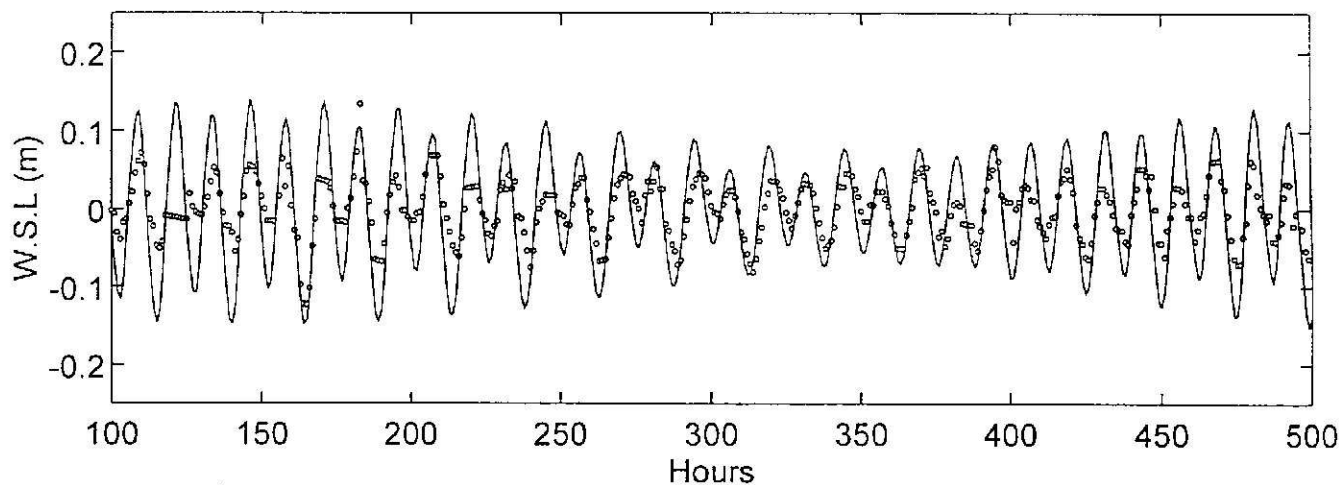
การเปรียบเทียบระดับน้ำระหว่างผลการคำนวณ (-) กับการวัด (.) ในทะเลสาบสงขลา
ที่แหลมโพธิ์ เดือนมิถุนายน 2540

Predicted (-) and observed (.) water surface elevation at Laem Po, June 15-31, 1997



ที่ช่องแคบปากอ่าว เดือนมิถุนายน 2540

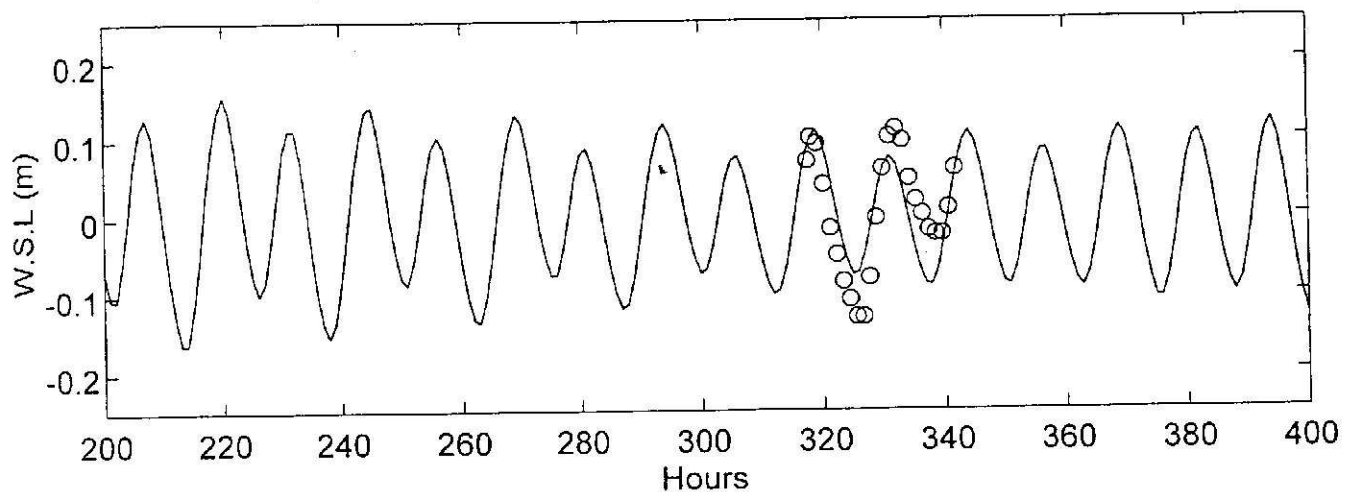
Predicted (-) and observed (.) water surface elevation at Pak Ro, June 5-20, 1997



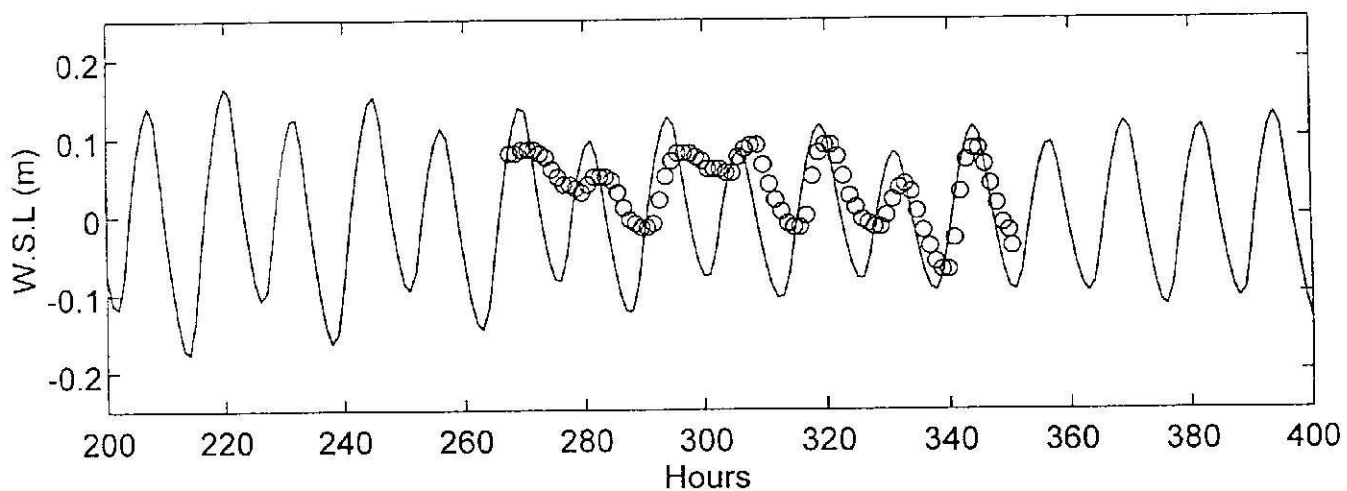
การเปรียบเทียบระดับน้ำระหว่างผลการคำนวณ (-) กับการวัด (.) ในคลองอู่ตะเภา

ที่บ้านหาร วันที่ 17 สิงหาคม 2540

Water surface elevation at Ban Harn, August 17, 1995

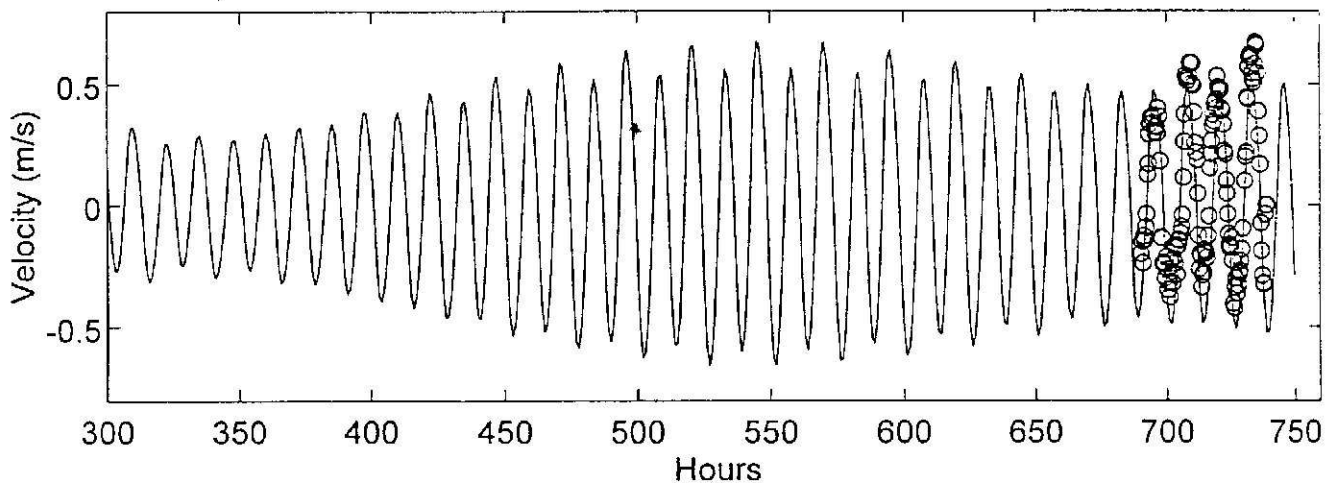


ที่จำเกอหาดใหญ่



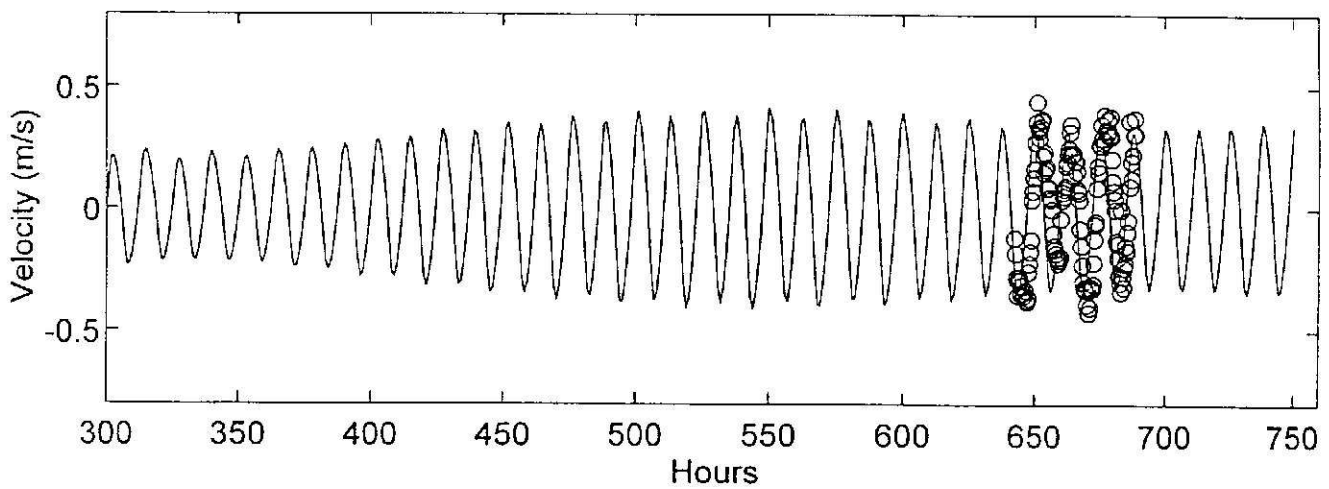
การเปรียบเทียบความเร็วกระแสน้ำระหว่างการคำนวณ (-) กับการวัด (.)
ที่ร่องน้ำทิศใต้ของเก้ายอ (27-29 มิถุนายน 2540)

Predicted (-) and observed (o) velocity at north channel of Koyo, June 29-July 1, 1997



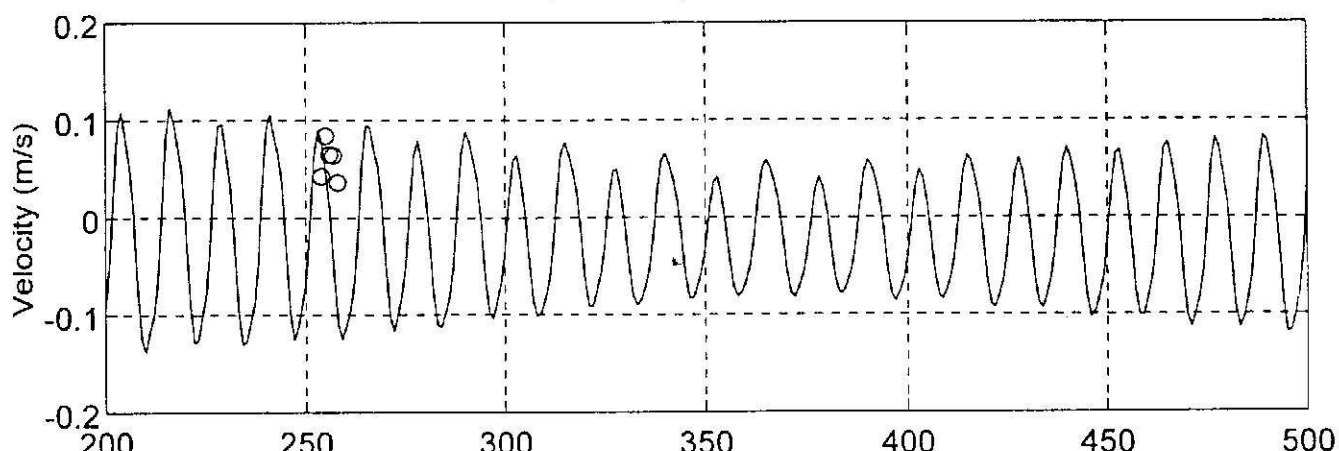
ที่ร่องน้ำทิศเหนือของเก้ายอ (29-30 มิถุนายน 2540)

Predicted (-) and observed (o) velocity at south channel of Koyo, June 27-29, 1997



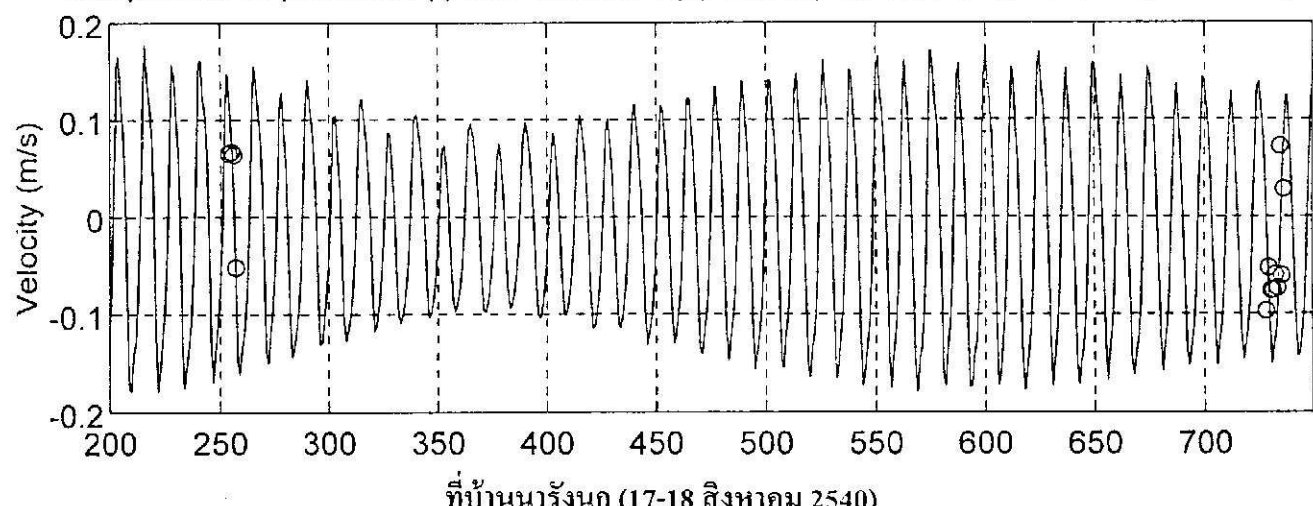
การเปรียบเทียบความเร็วกระแสน้ำระหว่างการคำนวณ (-) กับการวัด (.)

ที่น้ำันคูเด่า (11 พฤษภาคม 2540)



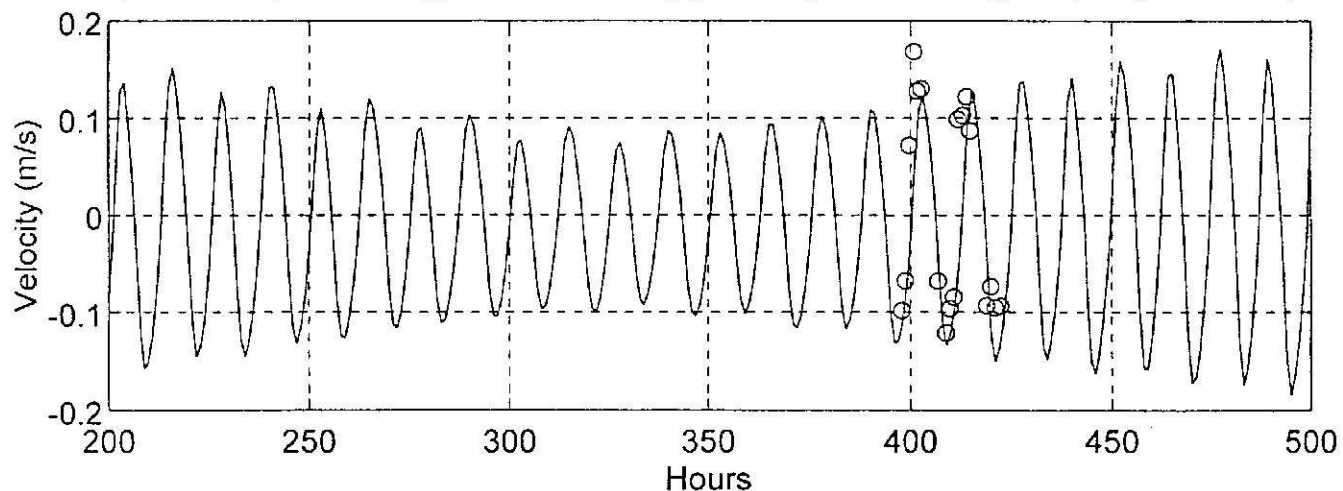
ที่น้ำันนารังนก (11 และ 31 พฤษภาคม 2540)

Comparison of predicted (-) and observed (o) velocity at Na Rang Nok, May 11 & 31, 1997

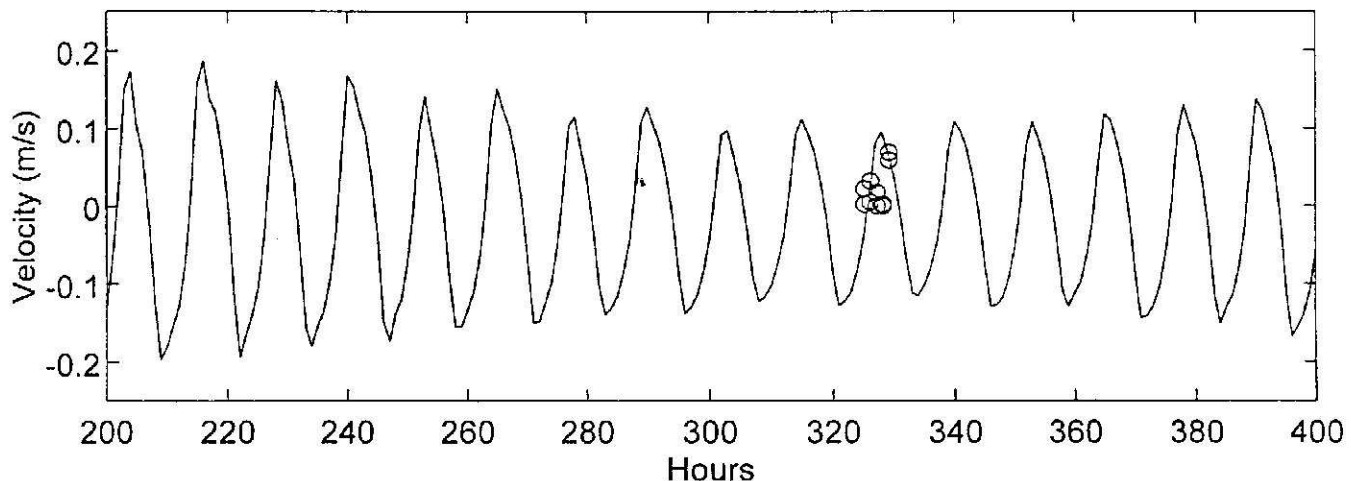


ที่น้ำันนารังนก (17-18 สิงหาคม 2540)

Comparison of predicted (-) and observed (o) velocity at Na Rang Nok, August 17-18, 1997

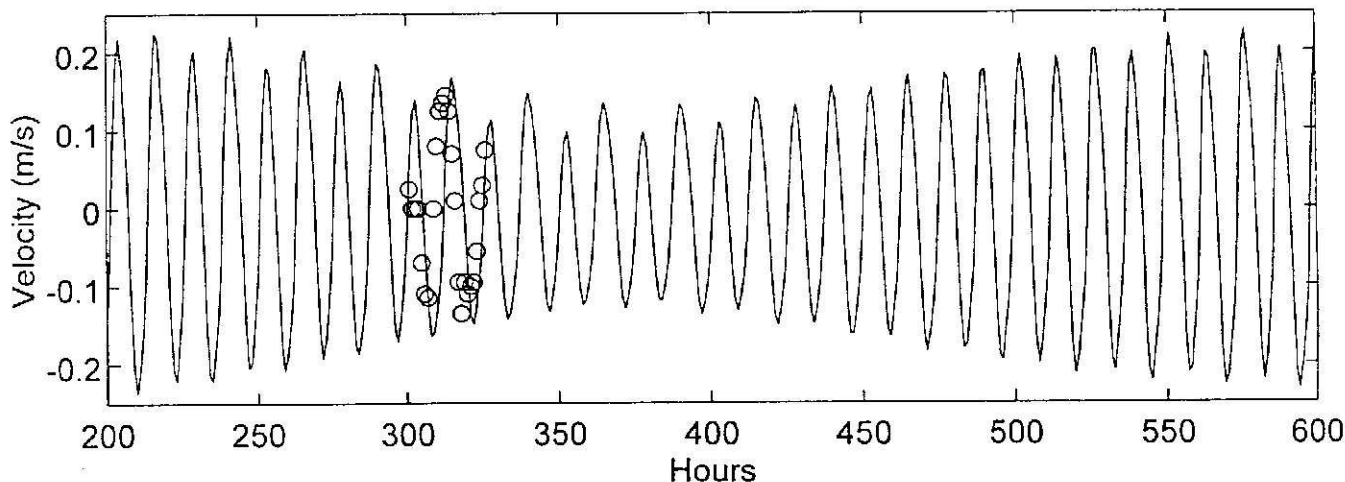


การเปรียบเทียบความเร็วกระแสน้ำระหว่างการคำนวณ (-) กับการวัด (o)
ที่บ้านหาด (17 สิงหาคม 2540)



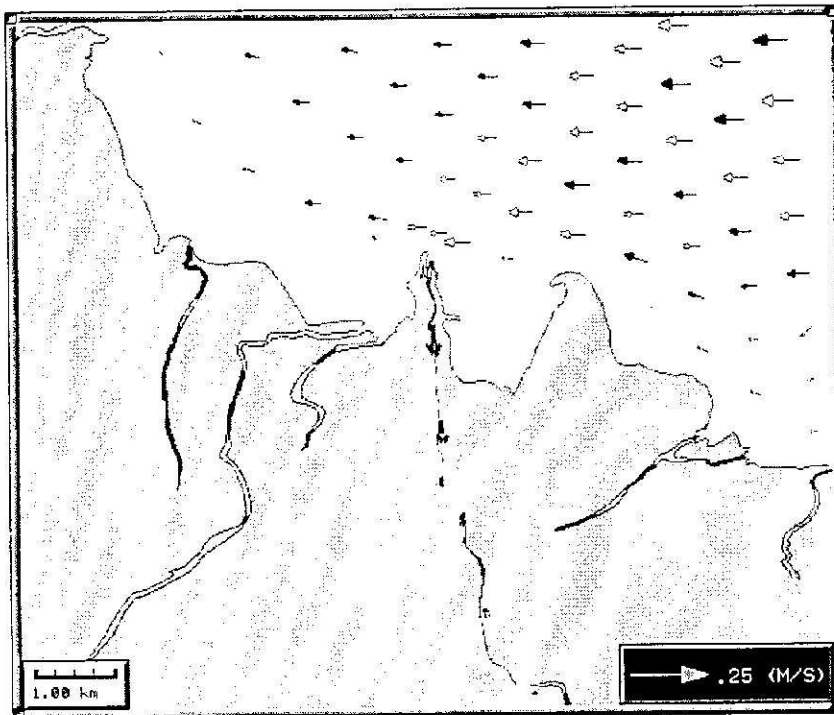
ที่บ้านเกะนก (21-22 เมษายน 2538)

Comparison of predicted (-) and observed (o) velocity at Ko Nok, April 21-22, 1995

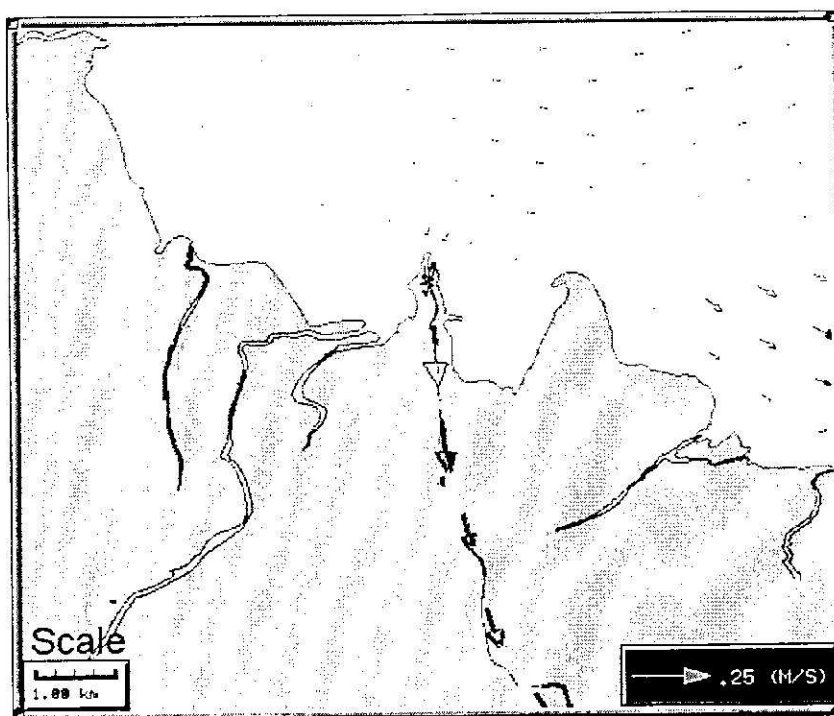


ตัวอย่างการจำลองรูปแบบการไหลในทรายเลาปัสดงคลาและคลองอู่ตะเภา

น้ำขึ้น

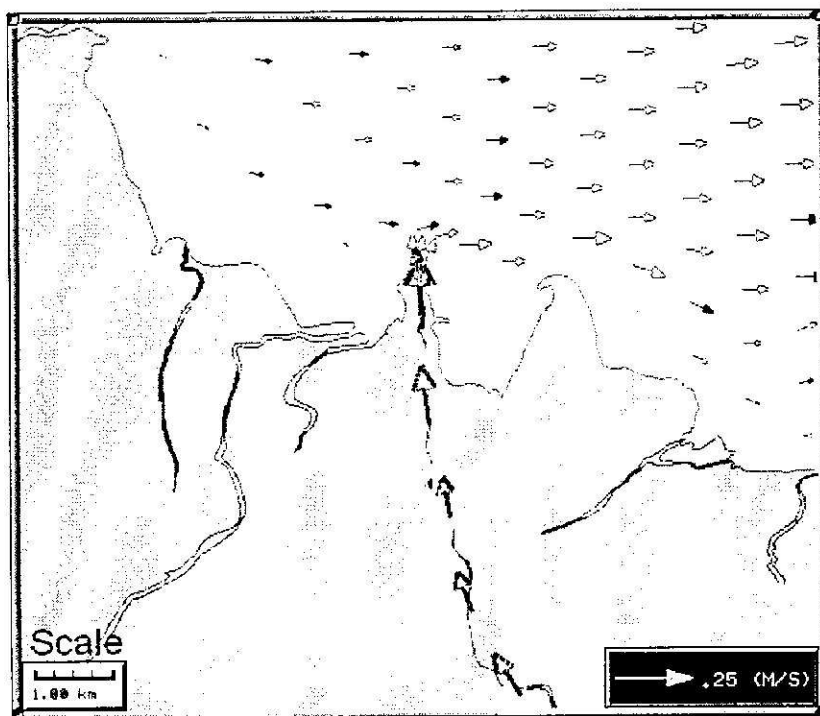


เมื่อเวลาผ่านไป 3 ชั่วโมง

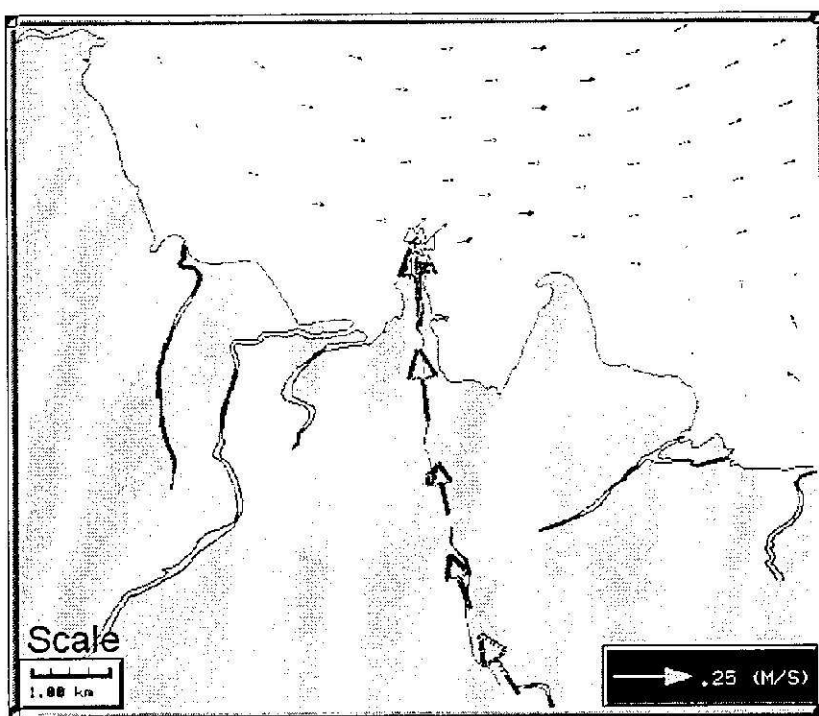


ตัวอย่างการจำลองรูปแบบการไหลในทะเลสาบสงขลาและคลองอู่ตะเภา

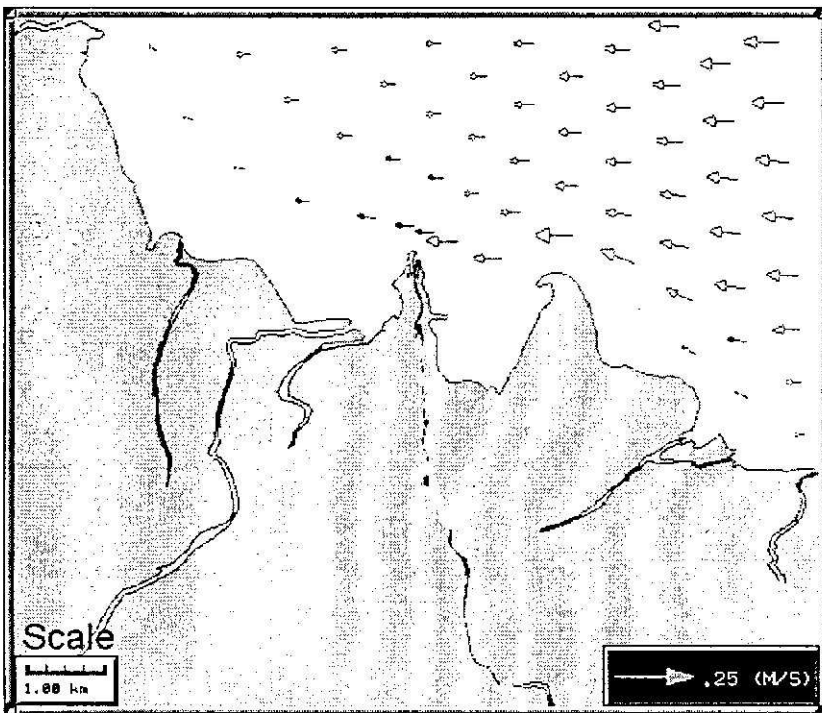
เมื่อเวลาผ่านไป 6 ชั่วโมง น้ำลง



เมื่อเวลาผ่านไป 9 ชั่วโมง



ตัวอย่างการจำลองรูปแบบการไหลในทะเลสาบสงขลาและคลองอู่ตะเภา
เมื่อเวลาผ่านไป 12 ชั่วโมง



เมื่อเวลาผ่านไป 15 ชั่วโมง

